

**STUDI IN SILICO AKTIVITAS SITOTOKSIK DAN TOKSISITAS
SENYAWA TURUNAN ZERUMBON HASIL SUBSTITUSI
EKSO-METILEN SEBAGAI KANDIDAT
ANTI-KANKER PAYUDARA**



SKRIPSI

Diajukan Untuk Memenuhi Salah Satu Syarat Meraih
Gelar Sarjana Farmasi Pada Jurusan Farmasi
Fakultas Kedokteran Dan Ilmu Kesehatan
UIN Alauddin Makassar

Oleh:

ANDI HARDIYANTI TAHIR

NIM: 70100116045

**JURUSAN FARMASI
FAKULTAS KEDOKTERAN DAN ILMU KESEHATAN
UIN ALAUDDIN MAKASSAR
2023**

HALAMAN PERNYATAAN KEASLIAN SKRIPSI

Mahasiswa yang bertandatangan di bawah ini:

Nama : Andi Hardiyanti Tahir
NIM : 70100116045
Tempat/tgl. Lahir : Bone, 19 Maret 1998
Jurusan : Farmasi
Fakultas : Kedokteran dan Ilmu Kesehatan
Alamat : Jl. Bitowa Baru Lorong 2 Nomor 7
Judul : Studi In Silico Aktivitas Sitotoksik dan Toksisitas Senyawa Turunan Zerumbon Hasil Substitusi Ekso-Metilen Sebagai Kandidat Antikanker Payudara

Menyatakan dengan sesungguhnya dan penuh kesadaran bahwa skripsi ini benar adalah hasil karya sendiri. Jika dikemudian hari terbukti bahwa ia merupakan duplikat, tiruan, plagiat, atau dibuat oleh orang lain, sebagian atau seluruhnya, maka skripsi dan gelar yang diperoleh karenanya batal demi hukum.

Gowa, Februari 2023

Peneliti,

ALA UDDIN
M A K A S S A R

Andi Hardiyanti Tahir
NIM. 70100116045

PENGESAHAN SKRIPSI

Skripsi yang berjudul “Studi In Silico Aktivitas Sitotoksik dan Toksisitas Senyawa Turunan Zerumbon Hasil Substitusi Ekso-Metilen Sebagai Kandidat Antikanker Payudara” yang disusun oleh **Andi Hardiyanti Tahir, NIM: 70100116045**, Mahasiswa Jurusan Farmasi pada Fakultas Kedokteran dan Ilmu Kesehatan Universitas Islam Negeri Alauddin Makassar, telah diuji dan dipertahankan dalam ujian sidang skripsi yang diselenggarakan pada hari Selasa, 21 Februari 2023 M dinyatakan telah dapat diterima sebagai salah satu syarat untuk memperoleh gelar Sarjana dalam Fakultas Kedokteran dan Ilmu Kesehatan, Jurusan Farmasi.

Gowa, 21 Februari 2022
1 Sha'ban 1444 H

DEWAN PENGUJI

Ketua	: Dr. dr. Syatirah Jalaludin, Sp.A., M.Kes	(.....)
Sekretaris	: Nur Syamsi Dhuha, S.Farm., M.Si	(.....)
Pembimbing I	: Haeria, S.Si., M.Si	(.....)
Pembimbing II	: Nur Syamsi Dhuha, S.Farm., M.Si	(.....)
Penguji I	: apt. Muh. Rusdi, S.Si., M.Si	(.....)
Penguji II	: Dr. Wahyuddin G, M.Ag	(.....)

Diketahui Oleh :

Dekan Fakultas Kedokteran dan Ilmu Kesehatan
Universitas Islam Negeri Alauddin Makassar,



Dr. dr. Syatirah Jalaludin, Sp.A., M.Kes
NIP. 19500701 200604 2 002

KATA PENGANTAR

Segala puji bagi Allah swt yang telah memberikan banyak rahmat, hidayah dan kesehatan kepada peneliti, sehingga akhirnya peneliti dapat menyelesaikan penulisan skripsi. Shalawat serta salam tidak lupa kita haturkan kepada Nabi besar Muhammad saw yang telah membawa kita dari zaman jahiliyah menuju zaman yang penuh dengan teknologi dan pengetahuan seperti saat ini.

Skripsi yang berjudul “Studi In Silico Aktivitas Sitotoksik dan Toksisitas Senyawa Turunan Zerumbon Hasil Substitusi Ekso-Metilen Sebagai Kandidat Antikanker Payudara” salah satu syarat untuk meraih gelar sarjana pada Jurusan Farmasi Fakultas Kedokteran dan Ilmu Kesehatan Universitas Islam Negeri Alauddin Makassar.

Peneliti menyadari dalam proses penyusunan skripsi ini, peneliti telah melewati banyak hambatan dan kesulitan, namun atas bantuan dan dukungan serta motivasi dari berbagai pihak sehingga membuat penulis merasa termotivasi dan kembali bersemangat untuk menyelesaikan skripsi ini.

Untuk itu peneliti menyampaikan ucapan terima kasih yang sebesar-besarnya kepada kedua orang tua tersayang, Ibunda Hasnawati dan Ayahanda Muh. Tahir yang telah mengingatkan dan terus memberi dukungan baik moril dan materi yang tak henti-hentinya. Beserta keluarga besar terima kasih atas doa-doa yang telah diberikan semoga Allah swt. senantiasa menjaga kita dimanapun kita berada.

Melalui kesempatan ini peneliti ingin menyampaikan ucapan terimakasih kepada:

1. Prof. H. Hamdan Juhannis, MA., PhD., selaku Rektor Universitas Islam Negeri Alauddin Makassar.
2. Prof. Dr. Mardan, M.Ag., selaku Wakil Rektor I Universitas Islam Negeri Alauddin Makassar.

3. Prof. Dr. Wahyuddin, M.Hum., selaku Wakil Rektor II Universitas Islam Negeri Alauddin Makassar.
4. Prof. Dr. Darussalam, M.Ag., selaku Wakil Rektor III Universitas Islam Negeri Alauddin Makassar.
5. Dr. H. Kamaluddin Abunawas, M.Ag., selaku Wakil Rektor IV Universitas Islam Negeri Alauddin Makassar.
6. Dr. dr. Syatirah Jalaluddin, M.Kes., Sp.A, selaku Dekan Fakultas Kedokteran dan Ilmu Kesehatan Universitas Islam Negeri Alauddin Makassar.
7. Dr. Apt. Hj. Gemy Nastity Handayani, S.Si., M.Si., selaku Wakil Dekan I Fakultas Kedokteran dan Ilmu Kesehatan Universitas Islam Negeri Alauddin Makassar.
8. Dr. H. M. Fais Satrianegara, S.KM., MARS., selaku Wakil Dekan II Fakultas Kedokteran dan Ilmu Kesehatan Universitas Islam Negeri Alauddin Makassar.
9. Prof. Dr. Mukhtar Lutfi, M.Pd., selaku Wakil Dekan III Fakultas Kedokteran dan Ilmu Kesehatan Universitas Islam Negeri Alauddin Makassar.
10. Apt. Surya Ningsi, S.Si., M.Si., selaku Ketua Jurusan Farmasi Fakultas Kedokteran dan Ilmu Kesehatan Universitas Islam Negeri Alauddin Makassar sekaligus pembimbing akademik (PA) yang senantiasa memberikan semangat untuk menyelesaikan skripsi.
11. Haeria, S.Si., M.Si., selaku Pembimbing I yang senantiasa membimbing, memberikan kata-kata positif penyemangat dan meluangkan waktunya demi terselesaikan skripsi ini.

12. Nur Syamsi Dhuha, S.Farm., M.Si., selaku Pembimbing II sekaligus Sekretaris Jurusan Farmasi Fakultas Kedokteran dan Ilmu Kesehatan Universitas Islam Negeri Alauddin Makassar yang senantiasa memberikan bimbingan, arahan, dan meluangkan waktu untuk menyelesaikan skripsi.
13. Apt. Muh. Rusdi, S.Si., M.Si selaku Penguji Kompetensi yang telah memberikan kritik dan sarannya demi kesempurnaan skripsi ini.
14. Dr. Wahyuddin G, M.Ag., selaku Penguji Agama yang telah memberikan kritik dan saran khususnya pada integrasi keislaman terkait skripsi ini.
15. Apt. Khaerani, S.Farm., M.Farm.Klin selaku pendamping hafalan Al-quran yang meluangkan waktunya setelah shalat subuh untuk mengoreksi hapalan sekaligus syarat kelulusan.
16. Seluruh Dosen dan Staf Jurusan Farmasi, atas ilmu pengetahuan, arahan, bimbingan dan segala bantuan yang telah diberikan hingga saat ini.
17. Kepada teman-teman DI60XIN Farmasi 2016 yang selalu menyemangati, mendoakan, serta membantu selama ini.

Peneliti menyadari masih ada kekurangan dalam skripsi ini. Namun besar harapan peneliti sekiranya skripsi ini dapat bermanfaat bagi penelitian-penelitian selanjutnya terkhusus di bidang farmasi. Semoga bernilai ibadah di sisi Allah swt.

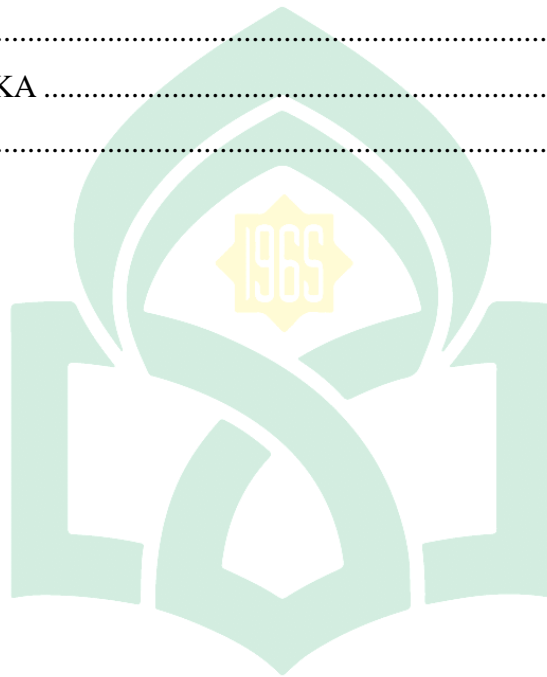
Gowa, 21 Februari 2023
Peneliti

Andi Hardiyanti Tahir
NIM. 70100116045

DAFTAR ISI

HALAMAN JUDUL.....	i
PERNYATAAN KEASLIAN SKRIPSI.....	ii
PENGESAHAN SKRIPSI	iii
KATA PENGANTAR	iv
DAFTAR ISI.....	vii
DAFTAR TABEL.....	ix
DAFTAR GAMBAR	x
ABSTRAK (BAHASA INDONESIA)	xi
ABSTRACT (ENGLISH).....	xii
BAB I PENDAHULUAN	1
A. Latar Belakang	1
B. Rumusan Masalah	4
C. Tujuan penelitian.....	5
D. Definisi Operasional dan Ruang Lingkup Penelitian.....	5
E. Manfaat Penelitian.....	6
F. Kajian Pustaka.....	6
BAB II TINJAUAN PUSTAKA	9
A. Kanker Payudara	9
B. Reseptor Estrogen Alfa	12
C. Studi In Silico.....	14
D. Hubungan Kuantitatif Struktur Aktivitas (HKSA).....	15
E. <i>Docking</i> Molekul.....	21
F. Zerumbon	22
G. Tinjauan Islam.....	25
BAB III METODOLOGI PENELITIAN.....	29
A. Jenis dan Lokasi Penelitian	29
B. Pendekatan Penelitian	29
C. Sumber Data.....	29

D. Instrumen Penelitian.....	30
E. Prosedur Pengolahan dan Analisis Data.....	30
BAB IV HASIL DAN PEMBAHASAN.....	35
A. Hasil Penelitian	35
B. Pembahasan.....	52
BAB V PENUTUP.....	63
A. Kesimpulan.....	63
B. Saran.....	63
DAFTAR PUSTAKA	65
LAMPIRAN	71



UNIVERSITAS ISLAM NEGERI
ALAUDDIN
M A K A S S A R

DAFTAR TABEL

Tabel 1 Rancangan Ligan dengan Aplikasi <i>Hyperchem</i>	35
Tabel 2 Kombinasi deskriptor dan validasi <i>Leave One Out</i> (q^2)	38
Tabel 3 Hasil Korelasi Pearson.....	39
Tabel 4 Hubungan aktivitas IC50 eksperimen dan IC50 prediksi	40
Tabel 5 Hasil <i>docking</i> senyawa turunan zerumbon dengan protein 2JF9.....	48
Tabel 6 Aturan Lipinski dari 3 Senyawa Terbaik.....	49
Tabel 7 Hasil Prediksi Toksisitas Menggunakan Toxtree dan AdmetSAR	50
Tabel 8 Hasil Prediksi Farmakokinetik Menggunakan PreADMET	51



UNIVERSITAS ISLAM NEGERI
ALAUDDIN
M A K A S S A R

DAFTAR GAMBAR

Gambar 1	Mekanisme kerja ER α	14
Gambar 2	Pembentukan gugus ekso-metilen dengan NBS sebagai sumber ion	24
Gambar 3	Proses sintesis singkat turunan zerumbon-liontin	24
Gambar 4	Kurva hubungan aktivitas IC50 eksperimen dan IC50 prediksi	40
Gambar 5	Posisi ligan dan <i>molecular surface</i> asli protein 2JF9	41
Gambar 6	Interaksi <i>native ligand</i> (4-hydroxytamoxifen) dengan 2JF9	41
Gambar 7	Interaksi senyawa 1 dengan protein pdb 2JF9	42
Gambar 8	Interaksi senyawa 2 dengan protein pdb 2JF9	42
Gambar 9	Interaksi senyawa 3 dengan protein pdb 2JF9	43
Gambar 10	Interaksi senyawa 4 dengan protein pdb 2JF9	43
Gambar 11	Interaksi senyawa 5 dengan protein pdb 2JF9	44
Gambar 12	Interaksi senyawa 6 dengan protein pdb 2JF9	44
Gambar 13	Interaksi senyawa 7 dengan protein pdb 2JF9	45
Gambar 14	Interaksi senyawa 8 dengan protein pdb 2JF9	45
Gambar 15	Interaksi senyawa 10 dengan protein pdb 2JF9	46
Gambar 16	Interaksi senyawa 11 dengan protein pdb 2JF9	46
Gambar 17	Interaksi senyawa 12 dengan protein pdb 2JF9	47
Gambar 18	Interaksi senyawa 13 dengan protein pdb 2JF9	47

ABSTRAK

Nama : ANDI HARDIYANTI TAHIR

NIM : 70100116045

Jurusan : FARMASI

Judul Skripsi : Studi In Silico Aktivitas Sitotoksik dan Toksisitas Senyawa Turunan Zerumbon Hasil Substitusi Ekso-Metilen Sebagai Kandidat Antikanker Payudara

Kanker payudara adalah penyakit tumor ganas pada jaringan payudara yang dialami banyak wanita. Penyebabnya pertumbuhan sel abnormal di jaringan payudara yang diakibatkan oleh ekspresi hormon estrogen berlebih. Salah satu reseptor yang meningkat ketika terjadi kanker payudara dan digunakan sebagai target obat yaitu reseptor estrogen alfa. Zerumbon merupakan senyawa yang terkandung di *Zingiber zerumbet* yang menunjukkan aktivitas antikanker payudara dengan mempercepat proses apoptosis. Penelitian bertujuan untuk mendapatkan persamaan HKSA senyawa, mengetahui model interaksi senyawa serta mengetahui prediksi toksisitas dan profil farmakokinetik pada senyawa turunan zerumbon tersubstitusi ekso-metilen sebagai kandidat antikanker payudara. Penelitian didasari dengan pendekatan pra eksperimen dengan sistem komputasi menggunakan perangkat *Hyperchem®* release 8.0.8, *Molecular Operating Environment (MOE)* release 2015.10, dan *Toxtree* 2.6.0. Hasil persamaan HKSA yaitu $\text{LogIC}_{50} = -9,450 - 0,043\text{AM1_dipole} + 0,016\text{ASA_H} + 17,917\text{Mr} - 0,691\text{Vol} + 0,207\text{VSA}$ dengan nilai $q^2 = 0,525$. Diperoleh 3 senyawa turunan zerumbon hasil substitusi eksometilen yang memiliki interaksi dengan residu asam amino yang berpengaruh adalah Glu353 dan Arg394. Senyawa 13 (*6-Methylmalonyloxymethyl-2,9,9-trimethylcycloundeca-2,6,10-trienone*) pada beberapa parameter pengujian toksisitas, bioavailabilitas dan farmakokinetik menunjukkan hasil relatif baik.

Kata kunci : Zerumbon, Reseptor estrogen alfa, Kanker Payudara, *In Silico*

ABSTRACT

Name : ANDI HARDIYANTI TAHIR
NIM : 70100116045
Department : PHARMACEUTICAL
Thesis Title : **In Silico Study of Cytotoxic Activity and Toxicity of Zerumbon Derivative Compounds Resulting from Exo-Methylene Substitution as Anticancer Candidate for Breast**

Breast cancer is a disease of malignant tumors in the breast tissue that is experienced by many women. The cause is abnormal cell growth in the breast tissue caused by excess expression of the hormone estrogen. One of the receptors that increases when breast cancer occurs and is used as a drug target is the alpha estrogen receptor. Zerumbon is a compound contained in *Zingiber zerumbet* which showed anticancer activity of the breast by accelerating the process of apoptosis. The aims of the study were to obtain the HKSA equations of the compounds, to determine the interaction models of the compounds and to determine the toxicity predictions and pharmacokinetic profiles of exo-methylene substituted zerumbon derivatives as breast anticancer candidates. The research is based on a pre-experimental approach with a computing system using Hyperchem® release 8.0.8, Molecular Operating Environment (MOE) release 2015.10, and Toxtree 2.6.0. The results of the HKSA equation is $\text{LogIC}_{50} = -9.450 - 0.043\text{AM1_dipole} + 0.016\text{ASA_H} + 17.917\text{Mr} - 0.691\text{Vol} + 0.207\text{VSA}$ with a value of $q^2 = 0.525$. Three zerumbon derivatives obtained as a result of exomethylene substitution which have interactions with influential amino acid residues are Glu353 and Arg394. Compound 13 (6-Methylmalonyloxymethyl-2,9,9-trimethylcycloundeca-2,6,10-trienone) on several parameters of toxicity test, bioavailability and pharmacokinetics showed relatively good results.

Key words : Zerumbon, alpha estrogen receptor, Breast Cancer, In Silico

BAB I

PENDAHULUAN

A. Latar Belakang

Kanker merupakan penyakit yang ditandai oleh pertumbuhan yang tidak terkendali dan penyebaran sel-sel abnormal, jika penyebaran tidak terkontrol maka dapat mengakibatkan kematian. Salah satu jenis kanker yang paling sering terjadi pada perempuan yaitu kanker payudara. Kanker payudara merupakan tumor ganas yang tumbuh di dalam jaringan payudara dan dapat mulai tumbuh di dalam kelenjar susu, saluran susu, jaringan lemak maupun jaringan ikat pada payudara. Sekitar 1,5 juta wanita didiagnosis kanker payudara setiap tahun diseluruh dunia. Ditahun 2020, diagnosis kanker diperkirakan lebih dari 1,8 juta kasus. Sekitar 606.520 orang Amerika diperkirakan meninggal karena kanker pada tahun 2020, yang berarti sekitar 1.660 kematian per hari. Kanker adalah penyebab kematian paling umum kedua di Amerika Serikat, hanya dilampaui oleh penyakit jantung (Siegel et al., 2020).

Berdasarkan data GLOBOCAN, *International Agency for Research on Cancer* (IARC), pada tahun 2018 di Indonesia terdapat 348.809 kasus kanker. Kasus kanker yang paling sering terjadi yaitu kanker payudara 58.256 kasus (16,7%) dari total keseluruhan kasus (World Health Organization, 2019). Sebab banyaknya kasus ini karena adanya keterlambatan pengobatan baik dari segi pengetahuan maupun rasa sakit yang dialami. Menurut Yuswar (2018) pasien yang tidak memiliki pengetahuan memiliki risiko 3 kali, sedangkan pasien yang tidak mengalami rasa sakit memiliki risiko 2 kali terkena penyakit kanker payudara karena terlambat melakukan pemeriksaan (Yuswar, 2018). Kanker payudara terjadi karena adanya pertumbuhan sel abnormal di jaringan payudara yang tidak terkontrol. Pasien dengan riwayat keluarga memiliki kanker payudara atau ovarium

memungkinkan menderita kanker serta perubahan atau mutasi pada DNA dapat menyebabkan sel-sel normal menjadi sel kanker yang terjadi karena paparan estrogen. Ekspresi hormon berlebihan di jaringan adiposa payudara dapat meningkatkan proliferasi sel kanker (Akram et al., 2017).

Estrogen merupakan hormon seks wanita yang fungsi fisiologis ditunjukkan oleh sebagian besar sub tipe reseptor estrogen alfa dan beta. Reseptor estrogen alfa memiliki peran utama dalam uterus dan kelenjar susu (Sharma et al., 2018). Dalam kelenjar susu normal, sel-sel yang berproliferasi akan mengekspresikan ER alfa dengan kadar rendah, sebaliknya pada sekitar 70% kasus kanker payudara ER alfa mudah dideteksi karena terjadi ekspresi berlebihan dan aktivitas yang tinggi. Ekspresi ER alfa yang berlebihan merupakan faktor risiko terjadinya kanker payudara dan terapi hormonal diberikan untuk menghambat aktivasinya (Cirillo et al., 2013).

Perkembangan genetika molekuler menjadikan reseptor estrogen alfa sebagai target yang potensial untuk terapi kanker payudara. Reseptor estrogen alfa merupakan anggota super family steroid atau *nuclear receptor* dari reseptor estrogen yang memediasi aksi genomik estrogen dengan bertindak sebagai ligan untuk faktor transkripsi (Eid et al., 2018). Reseptor estrogen alfa yang disintesis berikatan dengan reseptor estrogen disitoplasma membentuk ikatan kompleks kemudian bergerak ke nukleus. Ikatan kompleks ini akan berikatan dengan *estrogen response element* (ERE) terletak didekat gen yang akan dikontrol transkripsinya. Kemudian kompleks tersebut mengaktifkan kerja protein koaktivator SRC-3 yang akan memicu replikasi sel kanker sehingga proliferasinya tidak terkontrol (Sharma et al., 2018). Adapun contoh obat yang mampu menghambat ekspresi berlebihan reseptor estrogen alfa adalah *Selective Estrogen Receptor Modulator* (SERM) seperti raloxifen, tamoxifen, toremifon dan lain-lain. Namun yang sering

digunakan pada penderita kanker payudara adalah tamoxifen tapi 30-50% penderita kanker payudara ER+ menjadi resisten terhadap pengobatan SERM/AI setelah 3-5 tahun. Fulvestran termasuk obat golongan *Selective Estrogen receptor Degreder* (SERD) merupakan terapi penting untuk penderita kanker payudara yang resisten terhadap obat SERM dan fulvestran memiliki farmakokinetik yang buruk (Lu & Liu, 2020).

Pengembangan obat baru merupakan salah satu cara yang efektif dengan menggunakan bahan alam. Bahan alam kaya akan agen terapi baru dengan keragaman struktur kimia yang memiliki afinitas dan spesifitas tinggi sehingga dapat dijadikan sebagai target farmakologis. Sekitar 34% dari semua obat yang telah disetujui oleh FDA selama 3 dekade terakhir adalah bahan alam karena sifat farmakologisnya dan sedikit efek samping (Dhanya et al., 2018).

Senyawa tanaman yang telah diteliti terkait potensinya sebagai kandidat antikanker payudara yaitu zerumbon dari keluarga Zingiberaceae yang terdapat sekitar 161 spesies yang banyak ditemukan di daerah tropis dan subtropis (Rahman et al., 2014). Zerumbon (2,6,9,9-tetramethylcycloundeca-2,6,10-trien-1-one) memiliki dua ikatan rangkap terkonjugasi, satu ikatan rangkap terisolasi, dan gugus karbonil terkonjugasi ganda dalam struktur cincin beranggota 11 (Kitayama et al., 2013) adalah seskuiterpen monosiklik yang diisolasi dari rimpang tanaman jahe (Zingiber zerumbet). Selain sangat reaktif zerumbon juga memiliki beragam aktivitas biologis seperti anti-HIV, anti-inflamasi, antioksidan, serta antikanker yang melibatkan jalur pensinyalan berbeda diberbagai sel (Utaka et al., 2019).

Rancangan obat baru yang berasal dari tanaman menjadi dasar dilakukan penelitian lebih lanjut. Untuk mengetahui aktivitas dari suatu tanaman membutuhkan waktu penelitaian yang lama, biaya mahal, dan energi manusia yang cukup besar sehingga diperlukan metode lain yang lebih efektif dan efisien

(Yusransyah, 2016). Pemanfaatan komputer beberapa dekade terakhir menjadi tawaran yang sangat menarik sebagai alat bantu dalam penemuan obat. Kemampuan komputasi meningkat untuk mengembangkan simulasi dan kalkulasi dalam merancang obat (Geldenhuis et al., 2006). Rancangan obat baru bertujuan untuk mendapatkan obat baru dengan aktivitas yang lebih baik dan toksisitas lebih rendah melalui modifikasi struktur dengan mensintesis sejumlah turunan induk dan melakukan identifikasi struktur. Sebelum tahapan modifikasi struktur perlu dilakukan tahapan prediksi sifat fisikokimia, aktivitas biologis, dan toksisitas yang akan disintesis. Pemodelan molekul (*in silico*) sedang dikembangkan karena memiliki peran penting dalam kimia medisinal yang berfokus pada desain atau penemuan senyawa obat baru, optimasi serta pengembangannya sehingga diperoleh molekul obat yang berguna dalam proses pengobatan penyakit (Purwanto & Siswodihardjo, 2018).

Berdasarkan uraian tersebut perlu dilakukan penelitian untuk mengetahui aktivitas sitotoksik dan toksisitas senyawa turunan zerumbon substitusi eksometilen sebagai kandidat antikanker payudara dalam rangka penemuan dan pengembangan kandidat anti kanker dengan aktivitas sitotoksik dan toksisitas yang lebih baik.

B. Rumusan Masalah

1. Bagaimana model persamaan HKSA senyawa turunan zerumbon sebagai inhibitor reseptor estrogen alfa?
2. Bagaimana model interaksi senyawa turunan zerumbon hasil substitusi eksometilen sebagai kandidat antikanker payudara?
3. Bagaimanakah prediksi toksisitas dan farmakokinetik senyawa hasil substitusi ekso-metilen terpilih secara *in silico*?

C. Tujuan Penelitian

1. Mendapatkan model persamaan HKSA senyawa turunan zerumbon sebagai inhibitor reseptor estrogen alfa.
2. Mengetahui model interaksi senyawa turunan zerumbon hasil substitusi ekso-metilen sebagai kandidat antikanker payudara.
3. Mengetahui prediksi toksisitas dan farmakokinetik senyawa hasil substitusi ekso-metilen terpilih secara *in silico*.

D. Definisi Operasional dan Ruang Lingkup Penelitian

1. Definisi Operasional
 - a. Kanker adalah penyakit yang disebabkan oleh pertumbuhan sel abnormal yang tidak terkendali dalam tubuh. Pertumbuhan sel abnormal ini dapat merusak sel normal disekitarnya dan bagian tubuh yang lain.
 - b. Kanker payudara adalah penyakit yang disebabkan oleh sel-sel normal jaringan payudara berubah dan membelah tanpa terkendali, biasanya menyebabkan benjolan.
 - c. Reseptor estrogen alfa (ESR1) merupakan salah satu jenis dari reseptor estrogen yang diaktifkan oleh hormon seks.
 - d. Hubungan Kuantitatif Struktur-Aktifitas (HKSA) merupakan pendekatan yang bertujuan untuk melihat parameter sifat fisika-kimia dalam menentukan sebuah senyawa organik berinteraksi dengan makromolekul (protein target) dan menetapkan parameter tersebut dalam skala berdasarkan senyawa organik tersebut. .
 - e. *Docking* molekul adalah suatu teknik yang digunakan untuk memodelkan interaksi yang terjadi dari suatu kompleks molekul. *Docking* molekul dapat memprediksi orientasi dari suatu molekul ketika berikatan sehingga membentuk kompleks yang stabil.

- f. Farmakokinetik adalah ilmu yang khusus mempelajari perubahan-perubahan konsentrasi dari obat dan metabolitnya didalam darah dan jaringan sebagai fungsi dari waktu sebagai hasil dari proses yang dilakukan tubuh terhadap obat, yaitu absorpsi biotransformasi (metabolisme), distribusi dan ekskresi.
- g. Toksisitas adalah kemampuan suatu bahan atau senyawa kimia untuk menimbulkan kerusakan pada saat mengenai bagian dalam atau permukaan tubuh yang peka. Uji toksisitas digunakan untuk mempelajari pengaruh suatu bahan kimia toksik atau bahan pencemar terhadap organisme tertentu.
- h. Sitotoksik adalah kemampuan untuk merusak sel, baik itu sel normal atau sel kanker. Senyawa sititoksik berpotensi sebagai obat anti kanker dengan cara menghambat pertumbuhan sel kanker.

2. Ruang lingkup penelitian.

Ruang lingkup penelitian ini yaitu penentuan sifat fisika-kimia berdasarkan model HKSA, menentukan interaksi turunan senyawa zerumbon substitusi ekso-metilen dan perannya sebagai inhibitor ER-alfa dan menentukan prediksi aktivitas sitotoksik dan toksisitas senyawa turunan zerumbon substitusi eksometilen.

E. Manfaat Penelitian

Penelitian ini dapat dijadikan sebagai dasar teori dalam penemuan dan pengembangan obat baru anti kanker dan juga dapat memprediksi aktivitas dan efektivitas senyawa turunan zerumbon sebelum menuju ke tahap penelitian in vitro dan in vivo

F. Kajian Pustaka

- ^{1.} (Kitayama et al., 2013) dengan judul “*Novel synthesis of zerumbone-pendant derivatives and their biological activity*” didapati, hampir semua

turunan zerumbon menunjukkan nilai IC50 yang baik terhadap efek supresi dari generasi NO.

2. (Girisa et al., 2019) dengan judul penelitian “*Potential of Zerumbon as an Anti-Cancer Agent*” didapati hasil sitotoksisitas yang telah dianalisis untuk penelitian in vitro dan in vivo dan Pengobatan zerumbone pada berbagai kanker dilaporkan efektif dalam berbagai penelitian in vitro.
3. (Sandeep & Ritam, 2017) dengan judul penelitian “*Metabolic Screening in Drug Development: In-Vivo to In-Silico*” menjelaskan bahwa efek samping dan mekanisme aksi obat yang terjadi didalam tubuh manusia berbeda sehingga memunculkan berbagai jenis pengembangan obat salah satunya yaitu in silico. Metode in silico dapat memprediksi farmakokinetik dan toksisitas senyawa baru sehingga proses praklinis menjadi lebih sederhana dan tidak lagi membutuhkan waktu yang lama.
4. (Feng et al., 2018) “*Breast cancer development and progression: Risk factors, cancer stem cells, signaling pathways, genomics, and molecular pathogenesis*” menjelaskan bahwa kanker payudara merupakan kanker paling umum terjadi pada wanita diseluruh dunia. Faktor risiko penyebab terjadinya kanker yaitu mutase gen BRCA1 dan BRCA2 serta genetic. Perkembangan sel payudara normal diatur oleh beberapa jalur pensinyalan seperti reseptor estrogen, HER2, Wnt/beta-catenin yang dapat mengendalikan proliferasi sel induk, kematian sel, diferensiasi sel, dan motilitas sel.
5. (Saha et al., 2019) menjelaskan bahwa mayoritas terjadinya kanker payudara pasca menopause bergantung pada estrogen, sehingga banyaknya estrogen yang dihasilkan dapat mengatur dan membantu diferensiasi dan proliferasi sel-sel epitel payudara normal dan menjadikan sel tersebut

menjadi sel kanker. Pada kanker payudara aktivasi ERalfa oleh estrogen pemicu peningkatan poliferasi, namun dapat dibantah dengan adanya ERbeta. Namun secara teoretis sekitar 60% wanita premenopause dan 75% wanita pasca menopause menunjukkan ERalfa berperan dalam patogenesis kanker payudara. ERalfa dan ERbeta berikatan dengan estrogen akan menghasilkan heterodimer atau homodimer kemudian mengarah ke daerah ERE, dan transkripsi gen terjadi dengan mengikat koaktivator (CoA) untuk membentuk unit transkripsi.



BAB II

TINJAUAN PUSTAKA

A. Kanker Payudara

Kanker payudara adalah kanker metastatik yang dapat berpindah ke organ tubuh lain seperti tulang, hati, paru-paru, dan otak. Gejala kanker payudara sering tidak disadari atau dirasakan dengan jelas oleh penderita, sehingga banyak penderita yang datang ketika pemeriksaan keadaannya sudah stadium lanjut. Diagnosis dini terhadap penyakit tersebut dapat meningkatkan kelangsungan hidup penderita serta termasuk pendekatan terbaik untuk mencegah terjadinya kanker payudara. Dibeberapa negara maju sekitar 80% penderita kanker payudara meningkat kelangsungan hidupnya 5 tahun karena adanya pencegahan dini (Sun et al., 2017).

Kanker payudara memiliki prevalensi diseluruh dunia terhitung sekitar 570.000 kematian pada tahun 2015. Sekitar 1,5 juta wanita didiagnosis kanker payudara setiap tahun diseluruh dunia. Di Amerika, pada tahun 2017 diperkirakan bahwa 30% dari semua kasus kanker baru (252.710) yang dialami wanita adalah kanker payudara. Kanker payudara dapat menyebar ke organ lain seperti tulang, hati, paru-paru dan otak. Diagnosis dini dapat meningkatkan kelangsungan hidup bagi penderita. Di Amerika Utara, tingkat kelangsungan hidup relatif 5 tahun pada pasien kanker payudara diatas 80% karena deteksi tepat waktu (Sun et al., 2017). Sedangkan di Indonesia menurut *International Agency for Research on Cancer* (IARC), pada tahun 2018 di Indonesia terdapat 348.809 kasus kanker. Kasus kanker yang paling sering terjadi yaitu kanker payudara 58.256 kasus (16,7%) dari total keseluruhan kasus (World Health Organization, 2019).

1. Etiologi Kanker payudara

Faktor risiko penyebab kanker payudara yang pertama adalah mutasi gen. Sekitar 5-10% penyebab kanker payudara diakibatkan karena mutasi gen yang

diwariskan oleh orang tua sehingga menyebabkan perkembangan sindrom herediter yang disebut HBC-SS (*Hereditary Breast Cancer Site specific*) sehingga mengganggu fungsi gen BRAC1 atau BRAC2. Secara statistik perempuan dengan mutasi gen BRAC1 memiliki risiko mengidap kanker payudara adalah 55-65%. Sedangkan perempuan dengan mutasi gen BRAC2 memiliki risiko 45% mengidap kanker payudara. Sehingga rata-rata wanita dengan mutasi gen BRAC1 atau BRAC2 memiliki kemungkinan 70% mengidap kanker payudara pada usia 80 tahun (Feng et al., 2018).

Kedua yaitu usia, karena kanker payudara sangat berkaitan dengan bertambahnya usia. Penderita kanker payudara umumnya berusia 40-59 tahun dan jarang terjadi pada wanita dibawah 40 tahun. Kanker payudara paling sering ditemukan pada wanita menopause. Ketiga yaitu jenis kelamin, dari semua penderita kanker payudara pria memiliki diagnosis kurang dari 1% sedangkan keseluruhan kasus lebih banyak dialami oleh wanita (Kamińska et al., 2015).

Keempat yaitu meningkatnya kadar estrogen karena disebabkan beberapa factor yaitu penggunaan kontrasepsi. Perempuan yang menggunakan kontrasepsi oral memiliki risiko mengidap kanker payudara dari pada yang tidak menggunakannya. Implant KB maupun alat kontrasepsi dalam rahim (IUD) biasanya menggunakan hormon dan secara teori dapat meningkatkan risiko kanker payudara. Selain itu, terapi penggantian hormon untuk meredakan gejala menopause dan mencegah osteoporosis digunakan hormon estrogen yang dikombinasikan dengan progesterone, karena jika hanya penggunaan estrogen saja dapat meningkatkan risiko terjadinya kanker payudara dan kanker rahim. Faktor risiko yang kelima adalah kelebihan berat badan dan konsumsi alkohol secara berlebihan. Sebelum terjadi menopause ovarium akan menghasilkan estrogen di dalam tubuh dan jaringan lemak hanya sedikit. Namun apabila terjadi menopause

maka ovarium akan berhenti menghasilkan estrogen sehingga jaringan lemak yang akan menghasilkan estrogen lebih banyak. Dengan demikian jika semakin banyak jaringan lemak di dalam tubuh setelah menopause akan meningkatkan kadar estrogen dan juga meningkatkan risiko kanker payudara. Sedangkan konsumsi alkohol dapat mempengaruhi metabolisme estrogen dihati (Feng et al., 2018).

2. Patofisiologi kanker payudara

Kanker payudara terjadi karena hilangnya kontrol sel payudara dan apoptosis sehingga sel payudara berproliferasi secara terus-menerus. Hilangnya fungsi apoptosis dapat menyebabkan ketidakmampuan dalam mendeteksi kerusakan sel yang disebabkan kerusakan DNA. Jika terjadi mutasi gen p53 maka fungsi dari p53 sebagai pendeteksi kerusakan DNA akan hilang, sehingga sel-sel abnormal akan berproliferasi secara terus-menerus. Peningkatan jumlah sel abnormal akan membentuk benjolan biasa disebut dengan tumor atau kanker. Pertumbuhan sel kanker membutuhkan waktu sekitar 7 tahun dengan ukuran awal benjolan berdiameter 1 cm. Gejala lain terjadi yaitu adanya cairan yang keluar dari muara duktus satu payudara (Price, 2006).

Kanker payudara terjadi karena hilangnya kontrol proliferasi sel payudara dan apoptosis sehingga sel payudara berproliferasi secara terus-menerus. Hilangnya fungsi apoptosis menyebabkan ketidakmampuan mendeteksi kerusakan sel. Peningkatan jumlah sel tidak normal ini umumnya membentuk benjolan yang disebut tumor atau kanker. Pertumbuhan kanker payudara berawal dari dalam duktus atau kelenjar lobulus atau disebut karsinoma non invasif. Kemudian sel kanker keluar ke dinding duktus atau kelenjar di daerah lobulus dan invasi ke dalam stroma atau karsinoma invasif. Penyebaran sel kanker bisa terjadi melalui pembuluh getah bening dan tumbuh di kelenjar getah bening sehingga menyebabkan kelenjar getah bening aksiler membesar. Proses metastasis paling jauh antara lain tulang,

hati, paru, pleura dan otak. Namun, kanker payudara tidak memiliki gejala ketika tumornya kecil sehingga mudah untuk diobati (Chopra & Davies, 2020).

3. Jenis kanker payudara

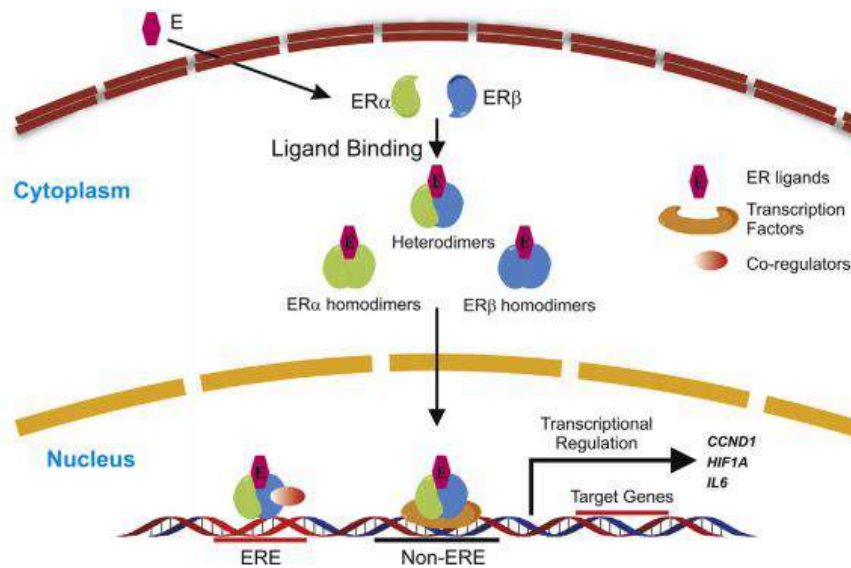
Jenis kanker payudara berdasarkan pemeriksaan *Immunohistochemie* (IHC) yaitu luminal A (HR/PR+, HER2-, Ki-67 rendah) jenis kanker yang paling umum dan cenderung tumbuh lebih lambat dan kurang agresif dari pada subtype lainnya, prognosis yang menguntungkan karena dapat diatasi dengan terapi hormonal. Luminal B (HR/PR+, HER2+, Ki-67 tinggi) memiliki prognosis yang lebih buruk dari luminal A, tingkat proliferasi lebih tinggi dan menunjukkan Ki-67 yang lebih tinggi dari luminal A, tumbuh lebih cepat disbanding dengan luminal A serta menyumbang sekitar 15% dari semua kanker payudara terapinya menggunakan antibody monoklonal, basal-like (HR/PR-, HER2-) disebut sebagai *triple negative*, kanker ini terjadi dua kali lipat pada wanita berkulit hitam, juga lebih umum pada wanita pramenopause dan yang memiliki mutasi gen BRCA1. HER2 (HR/PR-, HER2+) subtype ini ada sekitar 10-15% kasus kanker payudara, tumbuh lebih cepat dan memiliki prognosis yang buruk. Terapi yang digunakan adalah terapi bertarget yang ditujukan untuk protein HER2. Kanker payudara normal (*Normal-like*) (HR/PR+, HER2-, Ki-67 rendah) yaitu subtype ini mirip dengan luminal A namun prognosis untuk subtype ini lebih buruk dari luminal A (Feng et al., 2018).

B. Reseptor estrogen alfa

Estrogen memiliki peranan penting dalam perkembangan, diferensiasi, dan fungsi dari sistem reproduksi. Estrogen akan masuk ke dalam sel, tetapi hanya sel yang mengandung reseptor estrogen yang akan merespon. Di dalam tubuh ada dua bentuk reseptor estrogen yang dibedakan berdasarkan kode genetiknya yaitu reseptor estrogen alfa (ER α) dan reseptor estrogen beta (ER β). Cabang dari kromosom ke-6 merupakan gen pada manusia yang mengkodekan ER α dan utaiannya

q22-24 kromosom ke 14 merupakan gen yang mengkodekan ER β . ER α dan ER β mempunyai kemiripan karakteristik, 95% domain ikatan DNA dan 55% domain ikatan ligan kedua jenis ER tersebut sama. ER α bertanggung jawab pada proses *estrogen-induced mitogenic signaling* sel epitel pada payudara, uterus dan ovarium. Selain itu juga berperan dalam inisiasi dan progresi kanker payudara (Tokunaga et al., 2014). ER α dan ER β keduanya mengandung enam domain fungsional dengan berbagai tingkat kesamaan dan mempertahankan kemampuan untuk membentuk heterodimer. Wilayah dengan identitas tertinggi 96% adalah DNA binding domain (DBD) yang memediasi interaksi dimer ER dan estrogen elemen respons (EREs) dari gen target (Feng et al., 2018).

ER α merupakan reseptor estrogen yang tersekspresi banyak di jaringan payudara dan mampu berikatan dengan hormon estrogen. Terjadinya ikatan antara reseptor estrogen dan ER α menjadi penyebab hampir 70% kanker payudara karena dapat menstimulasi pertumbuhan dan replikasi sel kanker payudara. Enzim aromatase mensintesis estrogen dari andostenindion. Hormon estrogen yang disintesis berikatan dengan reseptor estrogen yang terletak di sitoplasma mengalami dimerisasi sehingga membentuk kompleks. Kemudian kompleks tersebut ditranslokasikan ke dalam nukleus lalu mengikat *estrogen response element* (ERE) dalam promotor gen target dan menarik kofaktor untuk aktivitas transkripsi (Feng et al., 2018). Setelah terjadi transkripsi maka akan terjadi proliferasi dari sel payudara sehingga menyebabkan peningkatan pembelahan sel dan replikasi DNA. Laju replikasi sangat cepat akan menyebabkan sel menjadi rentan terhadap kesalahan penyandian genetic sehingga memicu mutasi. Hal tersebut mengganggu daur sel, apoptosis, dan perbaikan DNA yang berujung terbentuknya tumor.



Gambar 1 Mekanisme kerja ER α (Feng et al., 2018)

C. *Studi In Silico*

Penemuan dan pengembangan obat merupakan proses yang sangat kompleks dan besarnya kegagalan molekul menjadi kandidat yang diinginkan karena beberapa faktor seperti farmakokinetik yang buruk, kurangnya efektivitas, efek samping dan alasan komersial. Sebagian besar obat ditemukan dengan mengembangkan protein sebagai agen terapi dengan bantuan alat komputasi yang dapat menganalisis sisi aktif dan menyarankan molekul obat potensial yang dapat mengikat ke sisi aktif protein (Bharath et al., 2011). Wawasan tentang interaksi protein target dengan berbagai molekul dapat menghasilkan informasi tentang spesifitas dan afinitas interaksi. Pendekatan desain obat ini bertujuan untuk mencapai identifikasi senyawa serta optimasi kimia obat yang disebut studi *in silico* (Makrynitsa, 2018).

Teknik *in silico* ini sangat penting dalam bidang ilmu kimia medisinal untuk merancang, menemukan dan optimasi senyawa bioaktif dalam proses pengembangan obat. Rancangan obat dengan bantuan komputer terutama berhubungan dengan parameter kimia fisika (deskriptor) yang terlibat dalam

aktivitas obat, model kimia kuantum atau perhitungan orbital molekul, farmakologi kuantum, simulasi interaksi obat-reseptor dan ikatan kimia yang terlibat, dan HKSA turunan obat. Perkembangan lebih lanjut menjadi lebih luas antara lain untuk skrining calon obat dan kimia kombinatorial secara virtual, identifikasi farmakofor, prediksi jalur kimia sintesis dan memprediksi ADMET (absorpsi, distribusi, metabolisme, ekskresi dan toksikologi) senyawa calon obat. Selain itu juga dapat digunakan untuk memprediksi aktivitas (LD50), efek tetragenik dan mutagenik dari calon senyawa obat (Siswandono, 2016).

Pemodelan molekul dapat digunakan untuk mempelajari berbagai senyawa kimia yang diduga bisa berinteraksi dengan target obat. Struktur senyawa dapat dibandingkan dan identifikasi farmakofor memungkinkan didapatkan desain struktur baru yang mengandung farmakofor yang sama. Sehingga di bank data yang terdapat senyawa dapat dicari untuk farmakofor tersebut yang digunakan untuk mengidentifikasi sintesis senyawa penuntun. Dengan teknik komputasi dapat menambahkan atom atau fitur lain yang dapat menghasilkan interaksi antara target obat dan obat sehingga didapatkan aktivitas dari senyawa tersebut (Patrick, 2013).

D. Hubungan Kuantitatif Struktur Aktivitas (HKSA)

Nilai aktivitas menjadi parameter yang penting dalam perancangan senyawa obat. Aktivitas dapat diukur secara eksperimental maupun teoritik. Pada satu sisi, pengukuran teoritik memiliki nilai lebih dibanding pengukuran eksperimental, antara lain dengan menghemat waktu dan biaya serta menghilangkan risiko toksisitas. Salah satu riset untuk desain obat yang banyak dikembangkan para peneliti saat ini adalah teknik analisis Hubungan Kuantitatif Struktur – Aktivitas (HKSA) atau *Quantitative Structure-Activity Relationship* (QSAR). Analisis QSAR ini membahas struktur suatu senyawa tersebut dapat direpresentasikan sebagai parameter fisik dan kimiawi (analisis Hansch), variabel indikator (analisis Free-

Wilson) atau dengan peninjauan profil sifat molekular secara tiga dimensi (analisis HKSA-3D). Perkembangan kimia komputasi memungkinkan untuk perhitungan kuantum suatu senyawa sehingga dapat diperoleh struktur elektronik senyawa tersebut, yang dapat dinyatakan dengan parameter muatan atom, momen dwikutub, kerapatan elektron dan lain-lain (Iswanto et al., 2008).

1. Model Pendekatan HKSA Free-Wilson

Free dan Wilson (1964) mengembangkan suatu konsep hubungan struktur dan aktivitas biologis obat yang dinamakan model *de novo* atau model matematik Free-Wilson. Bahwa respon biologis merupakan sumbangan aktivitas dari gugus-gugus substituen terhadap aktivitas senyawa induk.

Kekurangan model Free-Wilson antara lain:

- a. Tidak dapat digunakan bila efek substituen bersifat tidak linier atau bila ada interaksi antar substituen
- b. Memerlukan banyak senyawa dengan kombinasi substituen bervariasi untuk dapat menarik kesimpulan yang benar

Kelebihan model Free-Wilson antara lain :

- a. Dapat menghubungkan secara kuantitatif antara struktur kimia dan aktivitas biologis dari turunan senyawa dengan bermacam-macam gugus substitusi pada berbagai zona
- b. Model ini digunakan bila tidak ada data tetapan kimia fisika dari senyawa-senyawa yang diteliti dan uji aktivitas lebih lambat dibanding dengan sintesis turunan senyawa

2. Model Pendekatan HKSA Hansch

Hansch (1963) mengemukakan konsep bahwa hubungan struktur kimia dengan aktivitas biologis ($\log 1/IC_{50}$) suatu turunan senyawa dapat dinyatakan secara kuantitatif melalui parameter-parameter sifat kimia fisika dari substituen

yaitu parameter hidrofobik (π), elektronik dan sterik. Model ini disebut model hubungan energi bebas linier atau penekatan ekstra termodinamik.

a. Deskriptor elektronik

1) Parameter elektronik Hammet (σ , σ^+ , dan σ^-)

Parameter elektronik Hammet, σ , σ^+ , dan σ^- , digunakan untuk menentukan efek substituen pada sistem aromatik. σ normal digunakan untuk substituen pada sistem aromatik yang tidak terjadi interaksi resonansi kuat antara substituen dan reaksi pusat. Sebaliknya, σ^+ , dan σ^- digunakan ketika terdapat interaksi resonansi yang kuat antara substituen dan reaksi pusat (Verma & Hansch, 2011: 2865-2899).

Persamaan Hammet, yang berhubungan dengan laju atau konstanta keseimbangan reaksi rantai samping senyawa aromatik tersubstitusi pada daerah meta dan para- merupakan salah satu hubungan energi bebas linear yang paling khas dan berguna hingga saat ini. Seperti yang disajikan pada persamaan umum berikut ini :

$$\log KX - \log KH = \rho\sigma$$

Dimana KH merupakan konstanta laju untuk senyawa aromatik yang tak tersubstitusi, KX untuk turunan aromatik tersubstitusi di daerah meta- dan para-, σ merupakan konstanta substituen untuk substituen yang dicari, dan ρ merupakan konstanta reaksi. Nilai kesatuan untuk konstanta ρ pada keseimbangan ionisasi asam benzoate tersubstitusi pada air suhu 25°C dipastikan dengan dasar pada hasil eksperimen. Istilah σ umumnya didefinisikan sebagai pengukuran ukuran efek elektronik untuk substituen yang diberikan yang mewakili pengukuran distribusi muatan elektronik pada inti benzene. Nilai positif dari σ berarti penarikan elektron oleh substituen dari cincin aromatik sementara nilai negative dari σ berarti pelepasan elektron (relatif terhadap H) terhadap cincin. Oleh

karena itu, nilai positif ρ menandakan laju percepatan reaksi dengan penarikan elektron pada daerah reaksi. Sementara nilai negative dari ρ menandakan bahwa reaksi dibantu oleh substituen pelepas elektron. Untuk mengetahui pengaruh resonansi pada laju reaksi, dua konstanta lainnya, σ^+ (substituen elektrofilik) dan σ^- (substituen nukleofilik), mulai diperkenalkan dan hubungan bebas energi linear kemudian diubah menjadi (Verma & Hansch, 2011: 2865-2899) :

$$\log KX - \log KH = \rho^+ \sigma^+ \text{ atau } \rho^- \sigma^-$$

2) Konstanta Swain – Lupton (F dan R)

F dan R, konstanta field dan resonansi, diusulkan oleh Swain dan Lupton sebagai variabel independen untuk korelasi atau memprediksi efek substituen. Mereka mengevaluasi efek field substituen, F, menggunakan parameter Hammett (σ_m dan σ_p) berdasarkan pada persamaan:

$$F = a\sigma_m + b\sigma_p$$

Pada persamaan ini, koefisien a dan b dievaluasi dengan metode leastsquare. σ_m dan σ_p merupakan konstanta Hammett untuk substituen meta- dan para secara berurutan. Untuk menghitung nilai R, Swain dan Lupton mengusulkan persamaan dengan asumsi bahwa $R = 0$ untuk $N^+(CH_3)_3$

$$\sigma_p = \alpha F + R$$

Dengan mensubstitusi persamaan diatas dengan nilai $F = 0.89$, $\sigma_p = 0.82$, dan $R = 0$ untuk $N^+(CH_3)_3$, maka ditemukan nilai α adalah 0.921. F dan R kemudian dihitung untuk substituen apa saja yang nilai σ_m dan σ_p telah diketahui (Verma & Hansch, 2011: 2865-2899).

3) Muatan atom (q)

Efek substituen baik pada muatan atom dan pergeseran kimia mencerminkan efek substituen elektronik (Verma & Hansch, 2011: 2865-2899).

4) Energi Disosiasi Ikatan (*Bond Dissociation Energy*)

Energi ikatan disosiasi, pengukuran kekuatan ikatan pada ikatan kimia, didefinisikan sebagai perubahan entalpi standar ketika ikatan dipotong dengan homolisis pada suhu spesifik. Hal tersebut diamati pada penelitian sebelumnya yang menghitung energi disosiasi ikatan homolisis OH dapat disajikan sebagai parameter elektronik untuk fenol, yang kemudian selanjutnya didukung dengan korelasi yang baik antara energi disosiasi ikatan dan σ^+ substituen X ($n = 19$, $r = 0.982$) untuk seri 4-X-fenol (Verma & Hansch, 2011: 2865-2899).

5) EHOMO, ELUMO, dan EHOMO – ELUMO (Celah H – L)

Berdasarkan teori orbital terdepan, energi dari *the highest occupied molecular orbital* (EHOMO) dan *the lowest unoccupied molecular orbital* (ELUMO) dapat menentukan kinetika reaksi kimia. Pada beberapa tahun belakangan ini, EHOMO, ELUMO, dan EHOMO – ELUMO (Celah H – L) telah berhasil digunakan sebagai deskriptor elektronik pada berbagai model HKSA. EHOMO berhubungan dengan kapasitas molekul untuk mendonasikan elektron kepada aseptor dengan orbital molekul yang kosong. Oleh karena itu, molekul dengan EHOMO yang tinggi akan memiliki kemampuan mendonorkan elektron yang lebih tinggi dan akan lebih reaktif. Sebaliknya, ELUMO menunjukkan kemampuan molekul untuk menerima elektron. Oleh karena itu, molekul yang berhubungan dengan nilai ELUMO rendah akan menjadi akseptor elektron yang kuat dibandingkan dengan molekul yang memiliki nilai yang tinggi. Hal inilah yang menjadi alasan nilai ELUMO meningkat dengan adanya pengaruh EDG (*Electron Donating Groups*) (Verma & Hansch, 2011: 2865-2899).

6) Deskriptor Hidrofobik

Parameter hidrofobik merupakan salah satu deskriptor molekul yang paling penting dan sering digunakan pada studi HKSA karena kegunaannya pada prediksi farmakokinetik obat dan oleh karena itu, sangat berpengaruh pada nasib molekul obat baru. Hidrofobisitas molekul secara tradisional diekspresikan sebagai logaritma koefisien partisi ($\log P$) untuk partisi molekul antara fase organik dan fase air. Fase organik meniru interaksi fosfolipid membran sel. Semenjak Hansch et al. memelopori logaritma koefisien partisi antara n-oktanol dan air ($\log P_{oct}$ atau $\log P$) telah digunakan secara luas sebagai deskriptor hidrofobik pada analisis HKSA (Verma & Hansch, 2011: 2865-2899).

7) Deskriptor Sterik

Parameter *ES Taft* merupakan parameter yang pertama yang berhasil untuk menghitung fitur sterik berbagai gugus fungsi pada analisis HKSA, yang ditunjukkan dalam persamaan:

$$ES = \log(kX/kH)_{\text{asam}}$$

Dimana kX dan kH merupakan konstanta laju untuk hidrolisis asam dari ester, XCH_2COOR dan CH_3COOR berurutan. Parameter sterik lain yang umum digunakan pada pengembangan model HKSA adalah refraktivitas molar (m_r), volume molar ($MgVol$), berat molekul (BM), dan parameter strimol Verloop seperti panjang (L), luas minimum ($B1$) dan luas maksimum ($B5$) (Verma & Hansch, 2011: 2865-2899).

8) *Leave One Out Cross Validation* (LOOCV)

Partial least square (PLS) adalah teknik regresi yang mengaplikasikan metode PCA. Di bidang seperti kimia yang melibatkan sangat sedikit data observasi karena eksperimen yang mahal, time consuming, dll, PLS sangat

sering digunakan. Perbedaan yg mencolok antara PLS dan regresi linear biasa yang juga melibatkan banyak variabel (*multiple linear regression*, MLR) adalah PLS dapat terhindar dari jebakan co-linearity antara variabel. Selain itu, PLS juga dapat menghasilkan model yang cukup akurat dengan data yang sedikit dan variabel yg banyak. PLS juga dapat memprediksi banyak variabel dependen secara sekaligus (Dehmer dkk, 2008: 1-5).

Prinsip kerja PLS sama dengan PCA. Beberapa variabel independen merangkum sebagian besar variasi di dalam data. Variabel-variabel ini disebut sebagai *latent factors*. Inilah yang akan diambil pada PLS. Hal yang serupa juga dilakukan untuk variabel dependen. Variabel yang terpilih dari variabel dependen disebut *latent responses*. Model PLS juga diturunkan dengan metode *least squares*, sama seperti MLR. Hanya saja karena model ini hanya mengikutkan *latent factors* atau hanya sebagian (*partial*) dari seluruh variabel yang ada, sehingga disebut *Partial Least Squares* (PLS) (Dehmer dkk, 2008: 1-5).

E. Docking Molekul

Docking molekul dapat digunakan untuk membuat model interaksi antara molekul kecil dan protein pada tingkat atom yang dapat mengkarakterisasi perilaku molekul kecil disisi pengikatan protein target (Meng et al., 2011). *Docking* molekul adalah metode komputasi yang bertujuan untuk memprediksi pengikatan suatu senyawa dengan reseptor, memprediksi afinitas (energi bebas pengikatan) menggunakan fungsi penilaian, serta memberikan peringkat sesuai dengan afinitas yang diprediksi karena banyaknya senyawa sehingga senyawa dengan skor tertinggi ditentukan tidak aktif sedangkan senyawa peringkat rendah memiliki afinitas yang lebih besar (Qing et al., 2014).

Docking molekul dilakukan dalam dua langkah dasar pertama yaitu penentuan luas area konformasi sehingga ligan dapat menempati target dengan orientasi yang berbeda dan yang kedua yaitu perhitungan energi yang terkait dengan masing-masing konformasi. Pada langkah pertama algoritma konformasi menyediakan ruang potensial untuk reseptor dengan memodifikasi parameter struktural ligan yang ditandai dengan dihasilkannya energi tertentu dan menghasilkan fungsi penilaian yang akan digunakan pada langkah kedua. Menurut fungsi penilaian berdasarkan medan gaya yang khas, energi pengikatan dihitung melalui jumlah interaksi yang tidak terikat seperti ikatan van der Waals dan elektrostatis, sementara perluasan fungsi juga mencakup ikatan hidrogen serta entropi yang dihasilkan. Fungsi penilaian berbasis pengetahuan diketahui dengan adanya struktur kompleks dan analisis statistik untuk memperoleh jarak antarmolekul, maka skor akhir dapat diketahui (Makrynitsa, 2018).

Metode *docking* molekuler dibagi menjadi tiga kategori berdasarkan sifat dinamis dari kompleks reseptor-ligan. Pertama, *rigid body docking* yaitu reseptor dan ligan keduanya kaku. Kedua yaitu *flexible ligand docking* yang reseptor kaku sedangkan ligan fleksibel. Ketiga *flexible docking* reseptor dan ligan keduanya fleksibel dan metode ini yang sering digunakan (Tripathi et al., 2016).

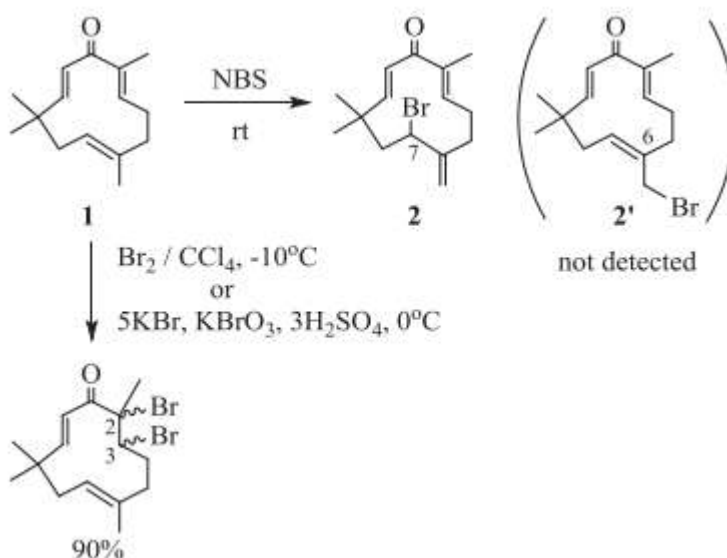
F. Zerumbon

Zerumbon merupakan keluarga Zingiberaceae yang ditemukan di daerah tropis dan subtropis, sekitar 161 spesies dari 18 generasi ini ditemukan di semenanjung Malaysia dan di Indonesia dikenal dengan sebutan lempuyang. Tanaman *Zingiber zerumbet* L yang berasal dari famili Zingiberaceae yang dimaksud adalah jahe yang dapat dikonsumsi telah banyak dibudidayakan selama ribuan tahun serta dapat dijadikan sebagai bahan obat untuk pengobatan. Saat ini, ekstrak rimpang diteliti lebih lanjut untuk mengetahui efek biologisnya seperti

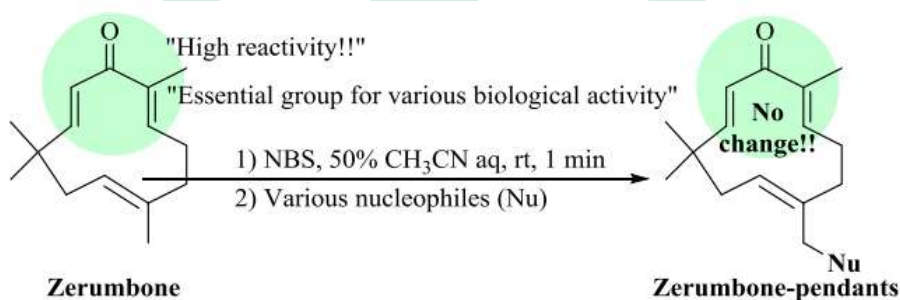
antimikroba, antipiretik, antiplasmodik, antikonvulsan, antoksidan, antikanker, antiinflamasi, antikoagulan, serta efek hepatoprotektif. Studi lain juga menunjukkan bahwa dengan mengonsumsi rimpang dapat menghasilkan efek hipolipidemik dengan mengurangi penyerapan kolesterol usus yang berguna untuk penyakit mengobati penyakit jantung (Rahman et al., 2014).

Zerumbon pertama kali diisolasi dari minyak atsiri rimpang Zingiber zerumbet pada tahun 1956, sementara struktur kimia dan karakteristik kimia didapatkan pada tahun 1960 dengan bantuan NMR dan X-ray (Rahman et al., 2014). Titik didih zerumbon adalah 321-322°C pada 760 mmHg dan titik lelehnya yaitu 65,3°C. Zerumbon merupakan zat utama (59%) dalam minyak atsiri yang diekstraksi dari Zingiber zerumbet dan beberapa penelitian menunjukkan kemampuan zerumbon untuk meningkatkan apoptosis sebagai penyebab utama anti poliperatif yang telah diamati pada beberapa sel tumor (Kalantari et al., 2017).

Zerumbon memiliki dua ikatan rangkap terkonjugasi, satu ikatan rangkap terisolasi, gugus karbonil terkonjugasi ganda, serta reaktivitas yang kuat. Sistem terkonjugasi berperan dalam ekspresi aktivitas biologis. Untuk memperoleh turunan eksometilen salah satunya dengan memberikan perlakuan bromin pada karbon tetraklorida sehingga zerumbon akan dikonversi menjadi 2,3 dibromozerumbon. Hasilnya menunjukkan bahwa ion bromonium dibentuk pada C2 dan C3. Karena NBS (N-bromosuksinimida) sebagai sumber ion bromonium, 17-bromohidroksilasi pada C2 dan C3 harus terjadi dengan reaksi NBS serta zerumbon pada sistem cair. Namun ketika perlakuan NBS pada suhu ruang zerumbon diubah menjadi bentuk ke 2' bromin pada C7 dan gugus ekso-metilen pada C6 setelah penataan ulang alilik. Selain itu, senyawa 2' tidak dapat diproduksi pada kondisi ini. Meskipun perbedaan dalam reaktivitas antara 6-metil karbon dan C7 hampir tidak diamati dalam perhitungannya. (Kitayama et al., 2013).



Gambar 2. Pembentukan gugus ekso-metilen dengan NBS sebagai sumber ion



Gambar 3. Proses sintesis singkat turunan zerumbon-liontin

Seperti ditunjukkan dengan gambar 2.3, dengan sintesis berbagai turunan liontin zerumbon, dengan reaktivitas tinggi, mempertahankan sistem konjugasi telah tercapai dan potensi turunan liontin-zerumbon untuk berbagai aktivitas biologis disarankan. Diharapkan bahwa turunan zerumbone-pendant yang mempertahankan sistem konjugasi dapat mengekspresikan aktivitas biologis baru selain generasi NO (Kitayama et al., 2013).

G. Tinjauan Islam

Pada tinjauan islam mengenai penelitian yang dilakukan adalah dijelaskan melalui surah Al-alaq ayat 1, 3-5 sebagai berikut :

اقْرَأْ بِاسْمِ رَبِّكَ الَّذِي خَلَقَ

Terjemahnya :

Bacalah dengan (menyebut) nama Tuhanmu yang menciptakan!
(Kementrian Agama. 2019)

Pengertian ayat pertama dalam penafsiran M. Quraish Shhibah bahwa bacalah agar engkau membekali dirimu dengan kekuatan pengetahuan. Bacalah semua itu dengan syarat hal tersebut engkau lakukan dengan atau demi nama Allah SWT. Kata *iqra'* berasal dari kata *qara'a* yang berarti menghimpun. Dalam kamus ditemukan beraneka ragam arti dari kata tersebut yaitu menyampaikan, menelaah, meneliti, mengetahui ciri-ciri sesuatu. Karena banyak pendapat yang berbeda alhasil *iqra'* mencakup telaah terhadap alam raya, masyarakat, dan diri sendiri serta bacaan tertulis. Sehingga jika dikontekstualisasikan dalam pendidikan dalam hal ini penelitian al-quran selaku menganjurkan manusia untuk belajar dalam arti seluas-luasnya tidak hanya dengan membaca tapi juga mampu merealisasikannya (Dozan, 2020).

اقْرَأْ وَرَبُّكَ الْأَكْرَمُ ۝ الَّذِي عَلَّمَ بِالْقَلَمِ ۝ عَلَّمَ الْإِنْسَانَ مَا لَمْ يَعْلَمْ ۝

Terjemahnya :

3. Bacalah! Tuhanmulah Yang Mahamulia, 4. Yang mengajar (manusia) dengan pena. 5. Dia mengajarkan manusia apa yang tidak diketahuinya
(Kementrian Agama, 2019).

Selanjutnya pada ayat ketiga perintah membaca kembali diulangi, membaca dengan disertai dengan motivasi yang berlandaskan dengan Allah SWT, kemudian beberapa ulama pendapat bahwa perintah belajar, mengajar orang lain, menanamkan rasa percaya diri. Selanjutnya pada ayat keempat dan kelima yaitu kata *qalam* berarti hasil dari penggunaan alat. Allah SWT mengajar kepada manusia

melalui pena yang hasilnya adalah tulisan-tulisan. Allah SWT juga mengajarkan ilmu kepada manusia baik melalui wahyu (pada nabi) maupun ilmu dengan usaha dari manusia sendiri, bahwa Allah mengajarkan ilmu sehingga kita dapat mengetahui sesuatu yang tidak diketahui, seperti pada penelitian yang dilakukan guna untuk mencari ilmu ('Afiifah & Yahya, 2020).

Dari makna tersebut surah al-alaq dijadikan sebagai landasan penelitian, dalam artian sebagai peneliti haruslah menghimpun atau membaca literatur-literatur terkait yang sehubungan dengan penelitian dan mengulang kembali membaca ketika terdapat hal yang tidak dimengerti untuk menambah ilmu serta wawasan tentang hal yang diteliti dengan selalu menyebut nama Allah SWT. Kemudian pena al-qalam mengandung arti segala hal yang berfungsi untuk mendokumentasikan hasil pengetahuan dari membaca sehingga dapat menjadi informasi dari satu generasi ke generasi lainnya. Pada penelitian ini didokumentasikan dalam bentuk skripsi (Dozan, 2020).

Kemudian dalam hadist riwayat Sunan Abu Dawud No. 3376 Allah memberikan obat apapun jenis penyakitnya Nabi Muhammad SAW bersabda:

قَالَ رَسُولُ اللَّهِ صَلَّى اللَّهُ عَلَيْهِ وَسَلَّمَ إِنَّ اللَّهَ أَنْزَلَ الدَّاءَ وَالِدَوَاءَ وَجَعَلَ لِكُلِّ دَاءٍ دَوَاءً فَتَدَاوَوْا وَلَا تَدَاوَوْا بِحَرَامٍ

Artinya :

Rasulullah shallallahu 'alaihi wasallam bersabda: "Sesungguhnya Allah telah menurunkan penyakit dan obat, dan menjadikan bagi setiap penyakit terdapat obatnya, maka berobatlah dan jangan berobat dengan sesuatu yang haram! (Sulaiman, t.th: 7).

Dari pernyataan tersebut terlihat jelas bahwa, kita sebagai manusia kita tidak boleh merasa putus asa ketika dihadapkan suatu penyakit dan haruslah tetap berusaha untuk menemukan obat-obat dari segala jenis penyakit, karena Allah akan selalu menurunkan obat dari jenis penyakit yang Allah turunkan pula. Selain itu kita juga diharuskan untuk berobat dengan sesuatu yang halal.

Usaha yang dilakukan manusia salah satunya dengan memanfaatkan perkembangan teknologi. Metode *in silico* merupakan metode yang sering digunakan untuk penemuan serta pengembangan obat baru. Dengan metode ini dapat menghemat waktu dan biaya dalam mengidentifikasi senyawa. Metode *in silico* diintegrasikan ke dalam penemuan obat yang moderen karena penggunaan teknologi komputer (Purwanto & Siswodihardjo, 2018). Penemuan maupun pengembangan obat baru merupakan landasan untuk mengobati penyakit. Beberapa langkah yang baik dalam menemukan obat ialah dengan menemukan obat dari segi molekuler yang nantinya dapat dikembangkan dan dapat memberikan tingkat penyembuhan yang tinggi, meminimalisir efek samping, dan sumber obat dari tumbuhan dan hewan yang halal.

Seiring dengan berkembangnya zaman, telah ditemukan beberapa metode untuk pengembangan obat baru. Sebagai contoh, penemuan obat berdasarkan molekulernya. Meskipun saat ini, pada tingkatan molekuler tidak dapat dilihat secara kasat mata, kita sebagai Manusia haruslah tetap terus belajar untuk mengetahui pengetahuan Allah baik itu sekecil apapun objek yang akan dipelajari tersebut, sesuai dengan ayat QS. Yunus/10 : 61, Allah swt, berfirman :

وَمَا تَكُونُ فِي شَأْنٍ وَمَا تَتْلُوا مِنْهُ مِنْ قُرْآنٍ وَلَا تَعْمَلُونَ مِنْ عَمَلٍ إِلَّا كُنَّا عَلَيْكُمْ شُهُودًا إِذْ تُفِيضُونَ فِيهِ وَمَا يَعْزُبُ عَنْ رَبِّكَ مِنْ مِثْقَالِ ذَرَّةٍ فِي الْأَرْضِ وَلَا فِي السَّمَاءِ وَلَا أَصْغَرَ مِنْ ذَلِكَ وَلَا أَكْبَرَ إِلَّا فِي كِتَابٍ مُبِينٍ ۝

Terjemahnya:

Kamu tidak berada dalam suatu keadaan dan tidak membaca suatu ayat dari al-Quran dan kamu tidak mengerjakan suatu pekerjaan, melainkan Kami menjadi saksi atasmu di waktu kamu melakukannya. Tidak luput dari pengetahuan Tuhanmu biarpun sebesar zarah (atom) di bumi ataupun di langit. Tidak ada yang lebih kecil dan tidak (pula) yang lebih besar dari itu, melainkan (semua tercatat) dalam kitab yang nyata (Lauh Mahfuzh) (Kementrian Agama, Al-Qur'an dan Terjemahnya. 2018).

Tafsir Al-Azhar menjelaskan tafsir zarrah adalah benda kecil yang tidak dapat dibagi lagi. Atom saja masih bisa dipecah menjadi neutron, proton dan elektron. Zarah sudah yang paling kecil, tidak ada yang lebih kecil daripada zarah. Zarah yang sangat kecil tidak luput dari perhatian Allah swt baik yang ada di bumi maupun yang ada di langit (Hidayat, 2020).

Pada ayat tersebut, terlihat dengan jelas bahwa sekecil apapun benda tersebut tidak luput dari kuasa Allah. Maka dengan melakukan penelitian secara molekuler ini diharapkan dapat ditemukan obat baru untuk mengobati berbagai macam penyakit salah satunya penyakit kanker payudara. Karena kita sebagai manusia haruslah tetap terus belajar akan pengetahuannya sebagai bentuk amalan kita.



BAB III

METODOLOGI PENELITIAN

A. Jenis dan Lokasi Penelitian

1. Jenis Penelitian

Jenis penelitian ini adalah kuantitatif eksperimental. yaitu Hubungan Kuantitatif Struktur-Aktifitas (HKSA) senyawa turunan zerumbon sebagai agen antikanker pada penyakit kanker payudara. Dan menemukan senyawa ligan aktif yang memiliki aktivitas antikanker berdasarkan fitur farmakofor dan interaksi ligan dari protein target reseptor estrogen alfa ($ER\alpha$).

2. Lokasi Penelitian

Penelitian ini dilakukan di Laboratorium Komputer Fakultas Kedokteran dan Ilmu Kesehatan Universitas Islam Negeri Alauddin Makassar.

B. Pendekatan Penelitian

Penelitian ini didasari dengan pendekatan pra eksperimen dengan sistem komputasi, yaitu penelitian eksperimen yang hanya menggunakan kelompok studi tanpa menggunakan kelompok kontrol serta pengambilan responden tidak dilakukan randomisasi, variabel-variabel terkait secara otomatis akan ditentukan dengan *software* program komputer yang telah berkembang saat ini.

C. Sumber Data

1. Data Primer

Pada penelitian ini digunakan data primer yaitu struktur molekul dan aktivitas biologis hasil eksperimen secara *in vitro* 13 senyawa zerumbon turunan ekso-metilen dari penelitian Kitayama *et. al* pada tahun 2013 yang berjudul “*Novel synthesis of zerumbone-pendant derivatives and their biological activity*”.

2. Data Sekunder

Pada penelitian ini digunakan data sekunder yaitu protein 2JF9 yang diunduh dari situs protein Data Bank/RCSB PDB (<https://www.rscb.org>) dan ribuan senyawa alami dari situs Zinc Database (<https://www.zinc.docking.org>).

D. Instrumen Penelitian

Instrumen yang digunakan dalam penelitian ini adalah perangkat keras berupa laptop yang mampu melakukan perhitungan kimia komputasi dengan spesifikasi : Processor AMD® A9-9400 RADEON R5, 5 COMPUTE CORES 2C+3G 2.40 GHz, RAM 4,00 GB, *harddisk* 1 TB dan SSD 128 GB dengan perangkat lunak berupa sistem operasi Windows™ 10 Home, Hyperchem® release 8.0.8, Molecular Operating Environment (MOE) release 2015.10, Combination generator dan Toxtree 3.10.1851.

E. Prosedur pengolahan dan analisis data

1. Hubungan Kuantitatif Struktur-Aktivitas

a. Pemodelan Struktur Molekul

Pemodelan struktur senyawa turunan zerumbon yang disubstitusi ekso-metilen dibuat dengan menggunakan program *HyperChem*. Pembuatan model molekul terdiri atas pemilihan atom, jenis ikatan dan muatan total dari molekul uji. Struktur tiga dimensi (3D) setiap senyawa disimpan dalam format ekstensi*.hin.

b. Optimasi ligan

Struktur senyawa dioptimasi dengan perangkat lunak *HyperChem* menggunakan metode *Ab initio* menggunakan parameter *basis set small*. Optimasi struktur geometri bertujuan untuk memperoleh konformasi struktur yang lebih stabil. Urutan perintah pada program *HyperChem* yaitu *Setup > Ab initio*. Selanjutnya, pilih *Compute > Geometry optimization* untuk memulai perhitungan optimasi geometri dengan parameter default. Hasil perhitungan *Ab initio* akan lebih

akurat bila dibandingkan dengan metode optimasi metode semiempirik, sebab *Ab initio* menyelesaikan semua persamaan mekanika kuantum secara eksak dan semua elektron yang ada diperhitungkan. File yang telah dioptimasi disimpan dalam format ekstensi *.mol.

c. Kalkulasi deskriptor

Nilai deskriptor dikalkulasi menggunakan program MOE. Namun sebelum dikalkulasi, dioptimasi lagi menggunakan program MOE. Optimasi dimulai dengan pembuatan database senyawa turunan zerumbon, dengan menginput struktur senyawa yang telah dioptimasi di *Hyperchem* ke file database. Urutan perintah optimasi di MOE yaitu klik nomor molekul yang akan dioptimasi > *Compute* > *Molecule* > *Energy Minimize* > *RMS Gradient: 0.001* > *OK*. Optimasi dilakukan pada ke 13 senyawa turunan zerumbon sebelum melakukan perhitungan deskriptor.

Deskriptor yang dihitung adalah AM1_Dipole, AM1_E, AM1_HF, AM_Eele, AM1_HOMO, AM1_LUMO, AM1_IP, ASA_H, ASA_P, log P (o/w), log S, Mr, vdw_vol, Vol, VSA. Urutan perintah untuk kalkulasi deskriptor adalah *Compute>Deskriptor>calculate*, kemudian pilih deskriptor yang akan dihitung, lalu tekan OK.

d. Perhitungan statistik.

Variabel tak bebas dalam penelitian ini adalah aktivitas antikanker hasil eksperimen, sedangkan variable bebas yang digunakan adalah berupa: AM1_Dipole, AM1_E, AM1_HF, AM1_Eele, AM1_HOMO, AM1_LUMO, AM1_IP, ASA_H, ASA_P, log P (o/w), log S, Mr, vdw_vol, Vol, VSA. Semua variable dianalisis menggunakan regresi multilinier metode *backward* untuk mengetahui urutan variable bebas mana yang berpengaruh terhadap aktivitas senyawa. Hasil yang diperoleh berupa persamaan HKSA beserta nilai parameter statistik seperti nilai R, R², dan F. Nilai F menunjukkan kemaknaan hubungan bila

dibandingkan dengan F tabel. Nilai F adalah indikator bilangan untuk menunjukkan bahwa hubungan yang dinyatakan oleh persamaan yang didapat, adalah benar atau merupakan kejadian kebetulan. Nilai r (koefisien korelasi) menunjukkan tingkat hubungan antara data aktivitas biologis pengamatan percobaan dengan data hasil perhitungan berdasarkan persamaan yang diperoleh dari hasil analisis regresi. Koefisien korelasi adalah angka yang bervariasi mulai dari 0 sampai 1. Semakin tinggi nilainya maka semakin baik hubungannya. Untuk mendapatkan nilai koefisien korelasi yang dapat diterima tergantung pada jumlah data penelitian. Semakin banyak jumlah data penelitian maka semakin rendah koefisien korelasi atau nilai r yang dapat diterima (Siswandono, 2001).

e. Validasi dan Penetapan model HKSA

Selanjutnya model-model yang terpilih divalidasi silang dengan metode *Leave One Out cross validation (LOOCV)*, yaitu dengan cara setiap senyawa terprediksi dihilangkan dalam perhitungan analisis regresi linear. Persamaan HKSA yang terpilih adalah persamaan dengan nilai kriteria statistic terbaik dan memenuhi kriteria validasi yaitu $q^2 \geq 0.5$. Nilai q^2 di hitung menurut persamaan :

$$q^2 = 1 - \frac{\sum(y_i - \hat{y}_i)^2}{\sum(y_i - \bar{y}_i)^2}$$

y_i = aktivitas eksperimen senyawa ke-i

\hat{y} = aktivitas eksperimen rata-rata

\bar{y}_i = aktivitas prediksi validasi

2. Docking Molekul

a. Preparasi ligan

Ligan dalam bentuk struktur tiga dimensi dioptimasi dengan metode *Abinitio* menggunakan program *Hyperchem*. Struktur kemudian disimpan dalam format *.mol. File dibuka pada jendela MOE. Struktur diprotonisasi untuk

menambahkan hidrogen dan muatan parsial, dengan Protonisasi tiga dimensi. Urutan perintah *MOE > Compute > Protonate 3D*. File kemudian disimpan dalam *database*.mdb*.

b. Preparasi Protein

Reseptor diunduh dari situs *RSCB.PDB* dalam format **.pdb/*.ent*. Molekul air kemudian dihapus dari struktur. Protein kemudian diprotonisasi dengan langkah yang sama pada preparasi ligan. Untuk memastikan telah dilakukan protonisasi, dilakukan pengecekan hingga dipastikan tiap atom pada molekul memiliki muatan.

c. Simulasi Docking

Ligan dan reseptor yang telah diprotonisasi dibuka dalam jendela *MOE*. Panel simulasi *docking* dibuka dengan urutan perintah *MOE > Compute > Simulations > Dock. Receptor* pada panel *Dock* diatur *Receptor + Solvent, Site* diatur *Ligand atoms. Ligand* diatur *MDB File* (atau *Selected atoms* jika ligan terbuka pada jendela *MOE* dan di-select). *Placement* diatur *Proxy triange, rescoring 1* menggunakan *Alpha HB* dan *refinement* diatur *Forcefield dan rescoring 2* menggunakan *Alpha HB*. Posisi *docking* terbaik dipilih berdasarkan nilai *rmsd* (≤ 2) atau kedekatan dengan struktur ligan dan nilai *scoring* terendah.

3. Studi Bioavailabilitas

Senyawa yang memiliki kelarutan dan permeabilitas yang buruk dapat diprediksi menggunakan *rule of 5* lipinski. Pada *rule of 5* lipinski menyatakan bahwa absorpsi dan permeasi yang kurang baik ketika suatu senyawa memiliki lebih dari lima donor ikatan hidrogen (ditunjukkan dengan jumlah OH dan NH), berat molekul lebih dari 500, Log P lebih dari 5 (atau MLogP lebih dari 4.15), terdapat lebih dari 10 akseptor ikatan H (ditunjukkan oleh jumlah N dan O) dan rekrativitas molar 40-130.

4. Studi Toksisitas

Prediksi ini dilakukan dengan menginput file struktur dalam bentuk *.mol. Selanjutnya memilih metode penentuan kriteria toksisitas pada senyawa. *Klik method >> select a decision tree >>select available decision tree >> ok >> estimate >> save *.pdf.* Estimasi dilakukan untuk melihat penentuan criteria toksisitas suatu senyawa berdasarkan toxtree. Sebelum melakukan estimasi maka dipilih *verbose explanation* untuk menentukan tingkatan dan detail dari hasil yang didapatkan.

5. Studi Farmakokinetik

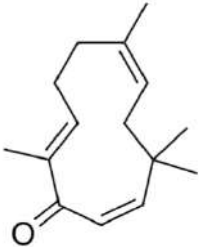
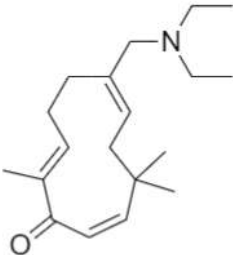
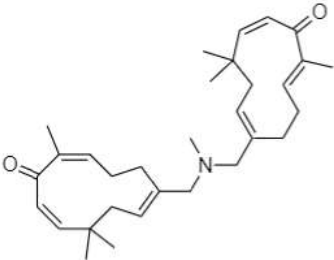
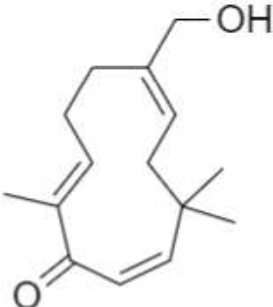
Prediksi ini dilakukan dengan bantuan dari situs preadmet.bmdrc.org yang merupakan aplikasi berbasis web untuk memprediksi data ADME dan membangun sifat sifat *drug-like* menggunakan metode in silico. *Klik load >> masukkan data dari file mol yang dibuka menggunakan fasilitas perangkat lunak pengolah data (Microsoft Office Word atau WordPad) >> Load >> Submit.*

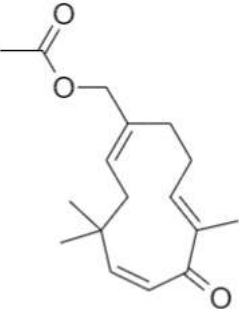
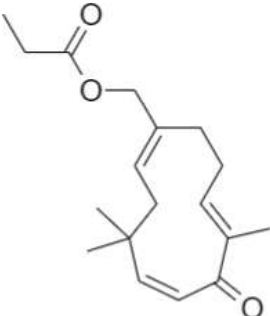
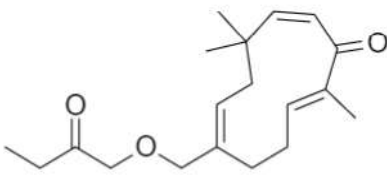
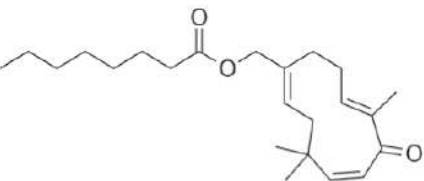
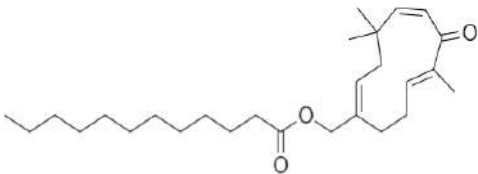
BAB IV
HASIL DAN PEMBAHASAN

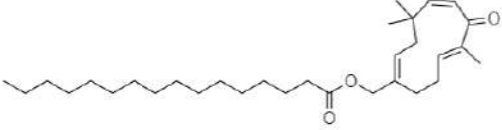
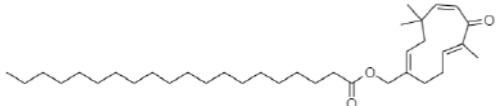
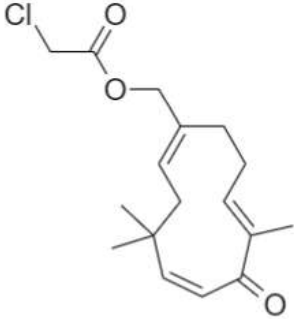
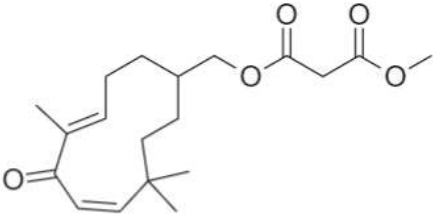
A. Hasil Penelitian

1. Perancangan Ligan

Tabel 1 Rancangan Ligan

No	Senyawa	Struktur Kimia
1	<i>Zerumbon (2,6,9,9-tetramethylcycloundeca-2,6,10-trienone)</i>	
2	<i>6-Diethylaminomethyl-2,9,9-trimethylcycloundeca-2,6,10-trienone</i>	
3	<i>N,N-Bis[6-(1-oxo-2,9,9-trimethylcycloundeca-2,6,10-trienyl) methyl] methylamine</i>	
4	<i>6-Hydroxymethyl-2,9,9-trimethylcycloundeca-2,6,10-trienone</i>	

5	<p>6-Acetoxyethyl- 2,9,9trimethylcycloundeca- 2,6,10-trienone</p>	
6	<p>6-Propyonyloxymethyl- 2,9,9trimethylcycloundeca- 2,6,10-trienone</p>	
7	<p>6-Butanoyloxymethyl- 2,9,9trimethylcycloundeca- 2,6,10-trienone</p>	
8	<p>6-Octanoyloxymethyl- 2,9,9trimethylcycloundeca- 2,6,10-trienone</p>	
9	<p>6-Dodecanoyloxymethyl- 2,9,9trimethylcycloundeca- 2,6,10-trienone</p>	

10	6-Hexadecanoyloxymethyl- 2,9,9trimethylcycloundeca- 2,6,10-trienone	
11	6-Icosanoyloxymethyl- 2,9,9trimethylcycloundeca- 2,6,10-trienone	
12	6-Chloroacetoxymethyl- 2,9,9trimethylcycloundeca- 2,6,10-trienone	
13	6-Methylmalonyloxymethyl- 2,9,9- trimethylcycloundeca- 2,6,10-trienone	

2. Hubungan Kuantitatif Struktur Aktivitas (HKSA)

Tabel 2 Kombinasi deskriptor dan validasi *Leave One Out* (q^2)

Deskriptor					R	R square	Adjusted R square	SEE	F	q^2
AM1_dipole	Mr	Vdw_vol	Vol	VSA	0.951	0.905	0.826	1.9513932	11,449	0.505
AM1_dipole	ASA_H	Mr	Vol	VSA	0.941	0.885	0.789	2.1468294	9,251	0.525
AM1_dipole	AM1_HF	AM1_HOMO	Vol	VSA	0.907	0.823	0.676	2.6632019	5,590	-0.005
AM1_dipole	AM1_HF	AM1_IP	Vol	VSA	0.907	0.823	0.676	2.6632019	5,590	-0.005
AM1_E	AM1_HOMO	AM1_LUMO	ASA_H	VSA	0.857	0.835	0.514	3.2632385	3,397	-0.599
AM1_dipole	AM1_Eele	AM1_HF	AM1_HOMO	VSA	0.910	0.828	0.684	2.6280128	5,773	0.095
AM1_dipole	AM1_Eele	AM1_HF	AM1_IP	VSA	0.910	0.828	0.684	2.6280128	5,773	0.095
AM1_dipole	logS	Mr	Vol	VSA	0.931	0.866	0.755	2.3172024	7,771	0.295
AM1_dipole	AM1_E	AM1_HF	AM1_HOMO	VSA	0.899	0.808	0.648	2.7752510	5,5052	0.31
AM1_dipole	AM1_E	AM1_HF	AM1_IP	VSA	0.899	0.808	0.648	2.7752510	5,5052	0.354

M A K A S S A R

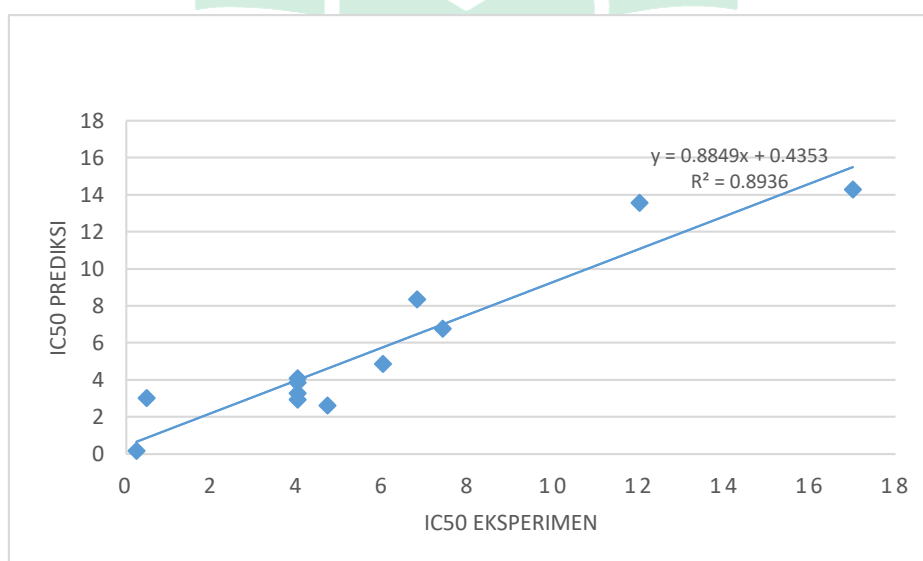
Kombinasi deskriptor terbaik yaitu AM1_dipole, ASA_H, Mr, Vol, VSA dengan nilai R 0,941, nilai R^2 0,885, nilai *adjusted* R^2 , nilai SEE 2.1468294, nilai F 9,251 dan nilai q^2 0,525.

Tabel 3 Hasil Korelasi Pearson

		Correlation					
		AM1_dipole	ASA_H	mr	vdw_vol	VSA	IC50
IC50	Pearson Correlation	0.510	0.735**	0.555	0.578*	0.693*	1
	Sig. (2-tailed)	0.090	0.006	0.061	0.049	0.012	
	N	12	12	12	12	12	12

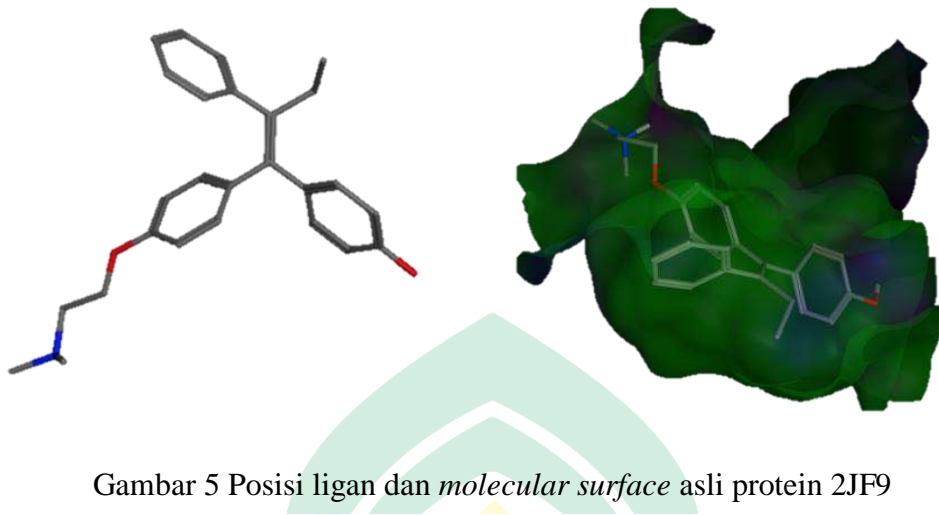
Tabel 4 Hubungan aktivitas IC50 Eksperimen dengan IC50 Prediksi

No	Senyawa	IC50 Eksperimen (μM)	IC50 Prediksi (μM)
1	1	0,48	3,01
2	2	4	4,09
3	3	0,24	0,16
4	4	4,70	2,61
5	5	4	3,85
6	6	7,4	6,75
7	7	4	2,94
8	8	6,8	8,33
9	10	17	14,28
10	11	12	13,56
11	12	4	3,27
12	13	6	4,86

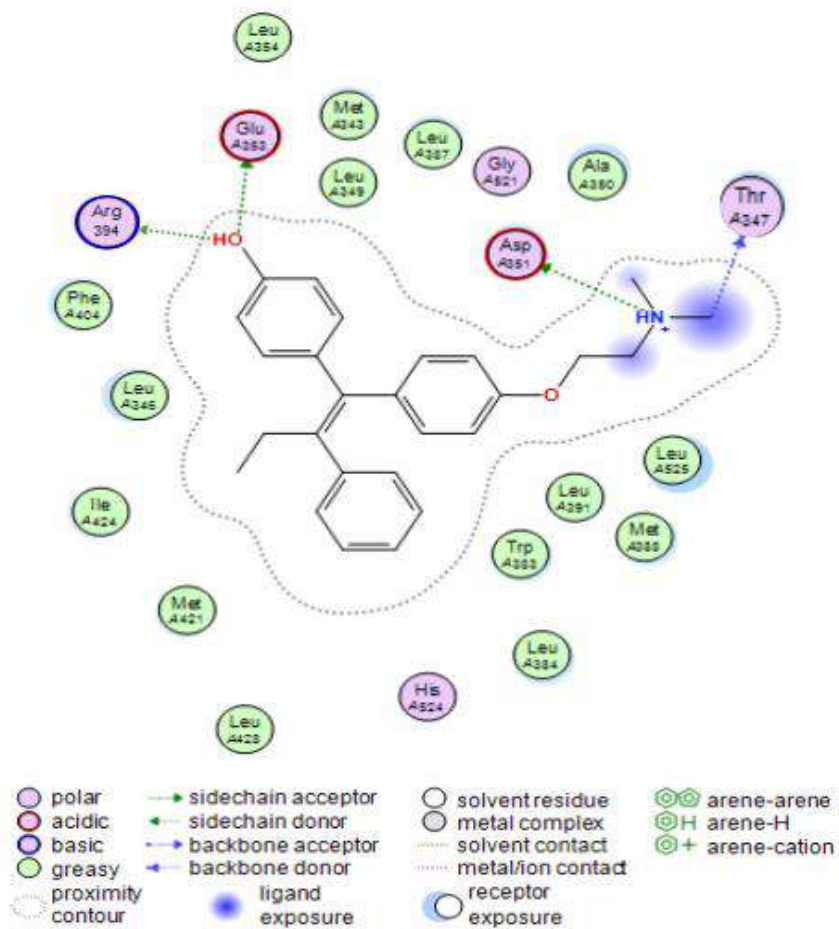


Gambar 4 Kurva hubungan aktivitas IC50 eksperimen dan aktivitas IC50 prediksi model persamaan terbaik

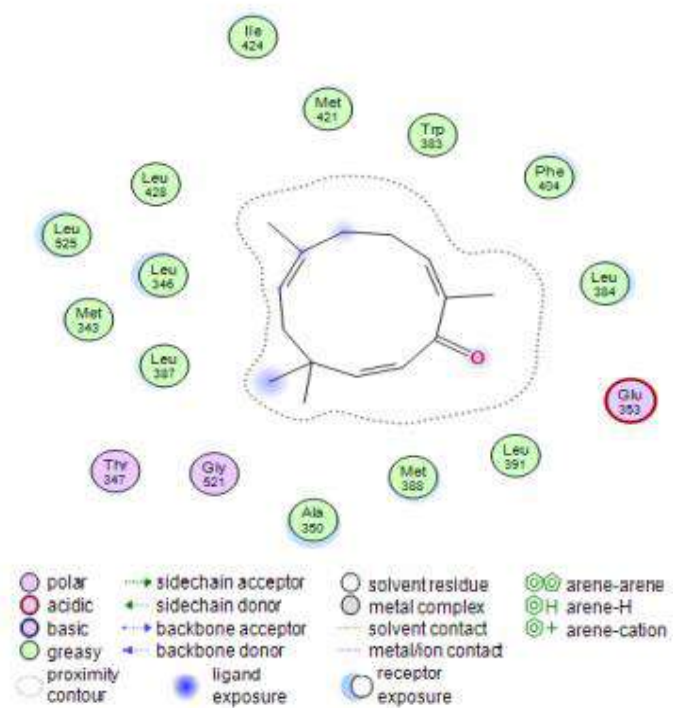
3. Docking Molekul



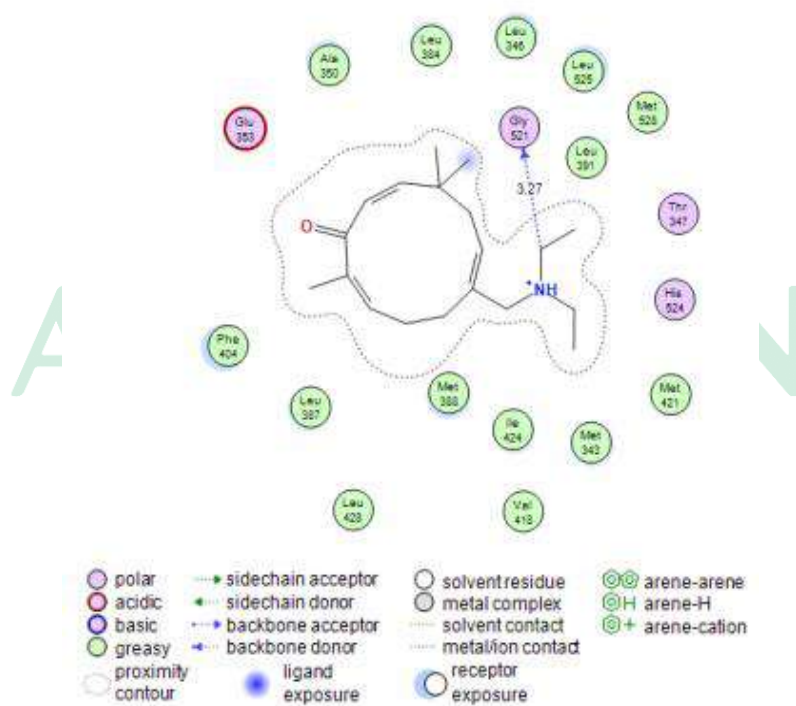
Gambar 5 Posisi ligan dan *molecular surface* asli protein 2JF9



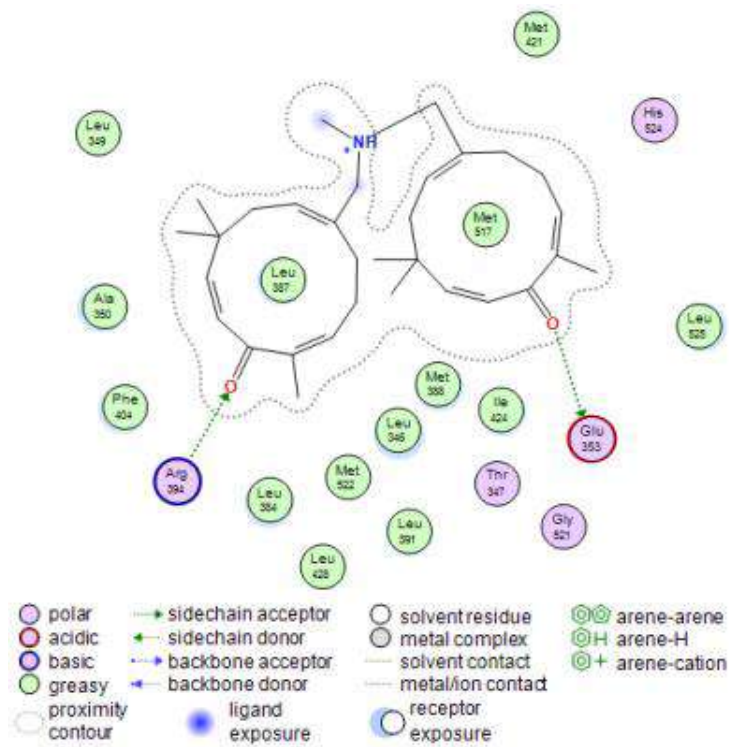
Gambar 6 Interaksi *native ligand* (4-hydroxytamoxifen) dengan protein 2JF9



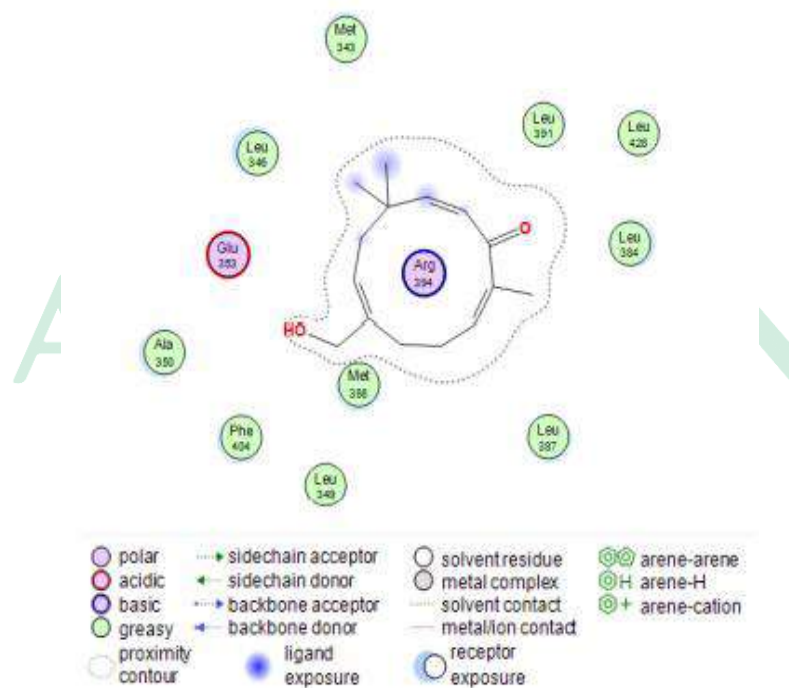
Gambar 7 Interaksi Senyawa 1 dengan protein 2JF9



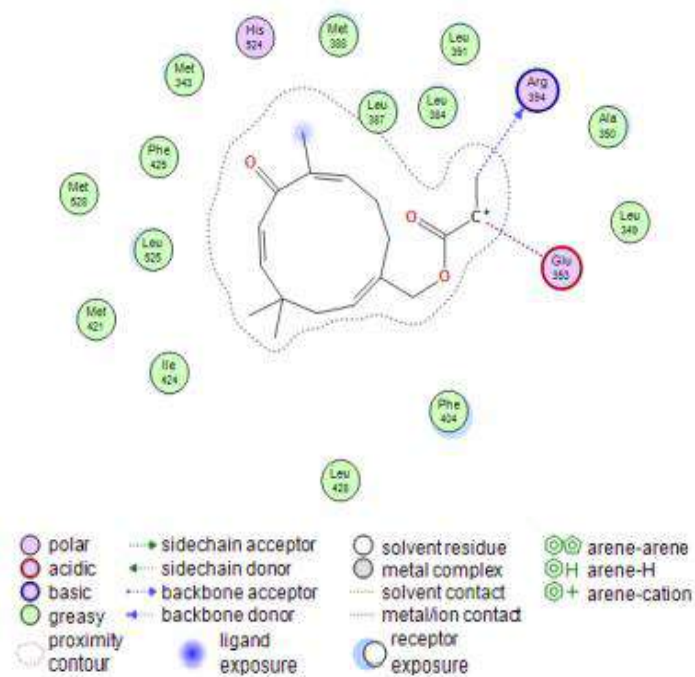
Gambar 8 Interaksi Senyawa 2 dengan protein 2JF9



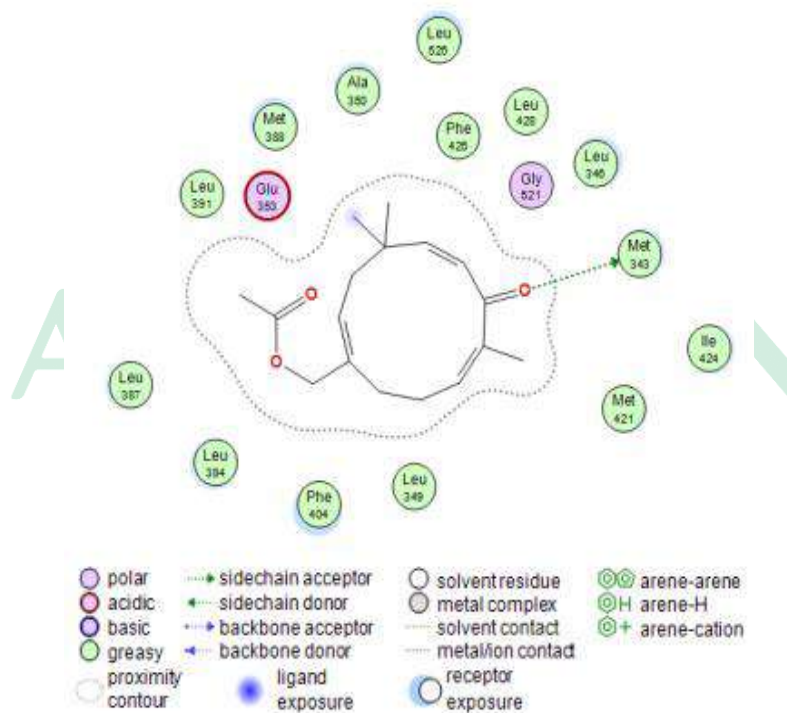
Gambar 9 Interaksi Senyawa 3 dengan protein 2JF9



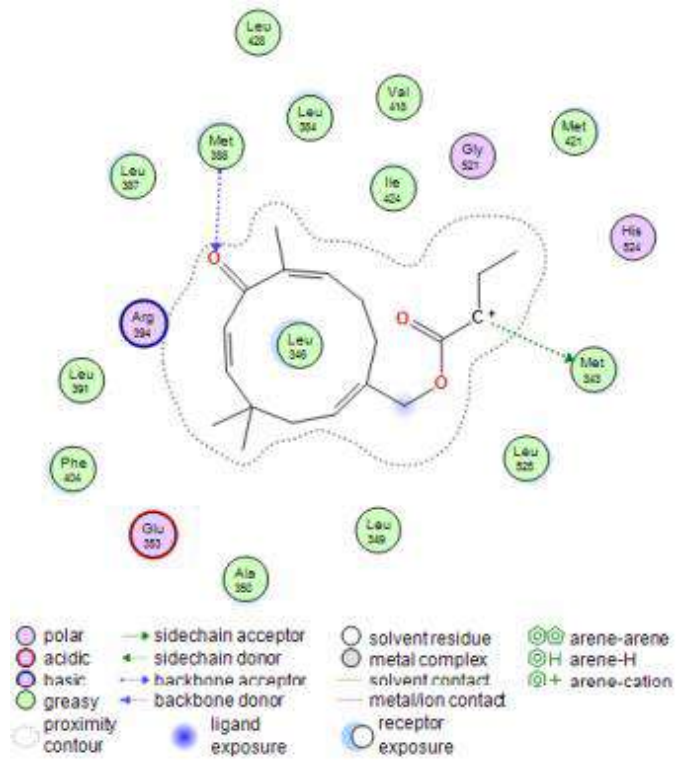
Gambar 10 Interaksi Senyawa 4 dengan protein 2JF9



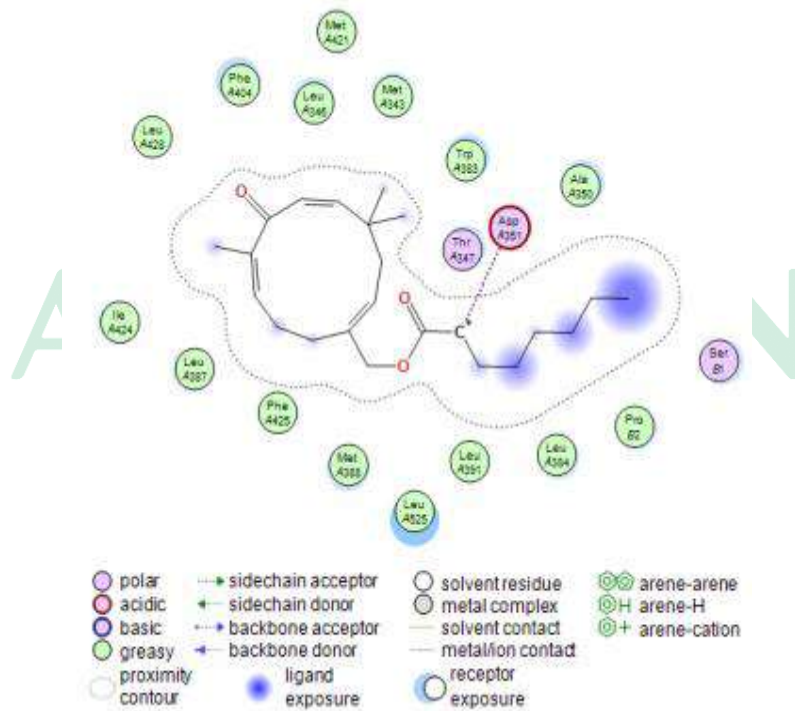
Gambar 11 Interaksi Senyawa 5 dengan protein 2JF9



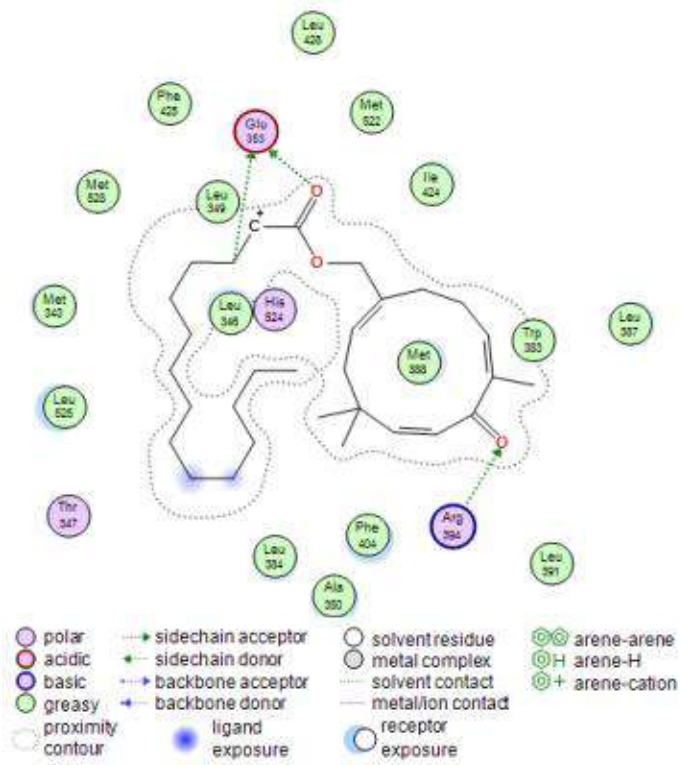
Gambar 12 Interaksi Senyawa 6 dengan protein 2JF9



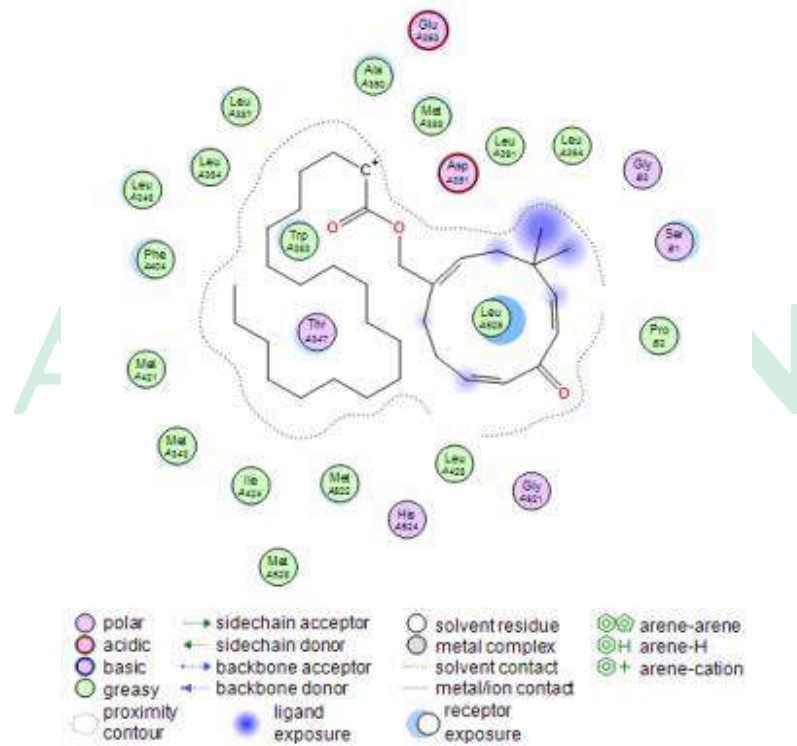
Gambar 13 Interaksi Senyawa 7 dengan protein 2JF9



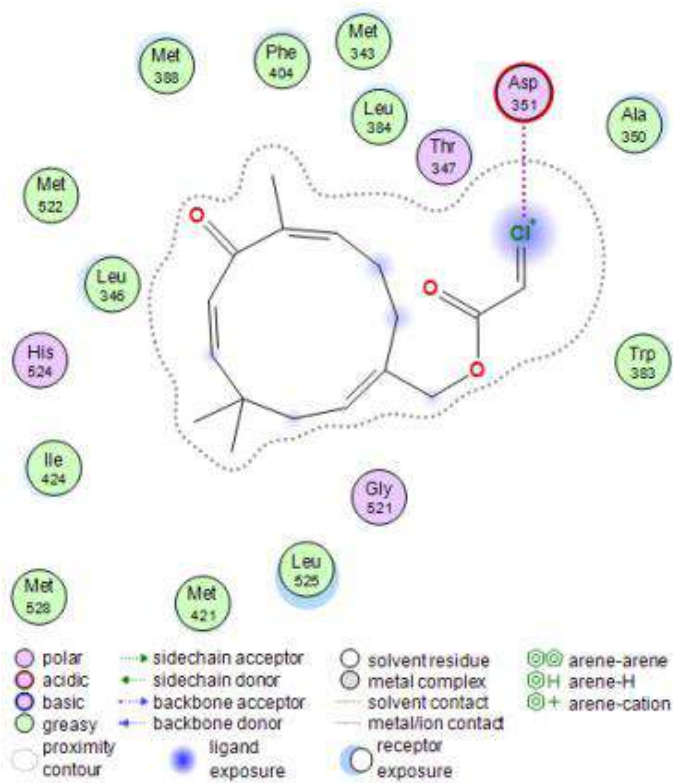
Gambar 14 Interaksi Senyawa 8 dengan protein 2JF9



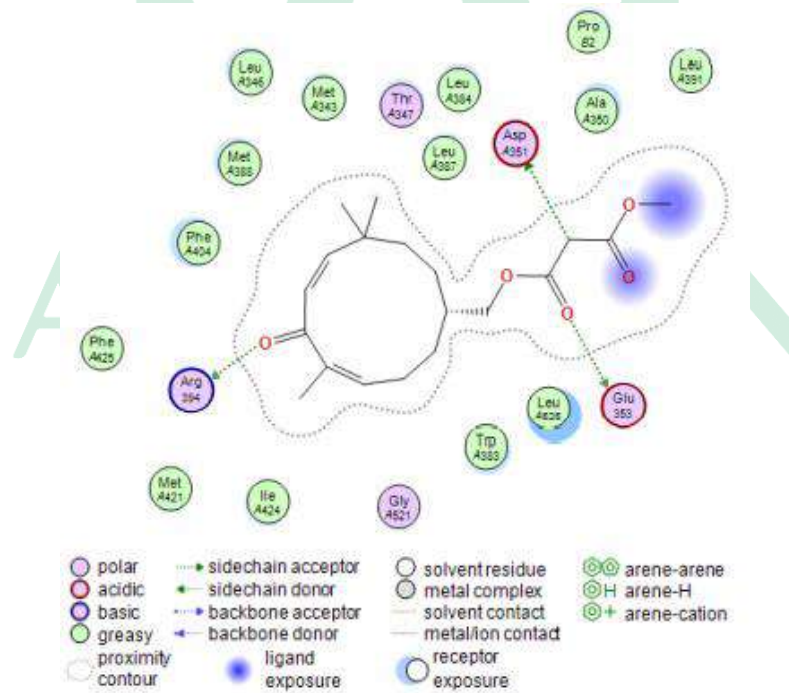
Gambar 15 Interaksi Senyawa 10 dengan protein 2JF9



Gambar 16 Interaksi Senyawa 11 dengan protein 2JF9



Gambar 17 Interaksi Senyawa 12 dengan protein 2JF9



Gambar 18 Interaksi Senyawa 13 dengan protein 2JF9

Tabel 5 Hasil *docking* senyawa turunan zerumbon hasil substitusi ekso-metilen dengan protein 2JF9

Senyawa	Entry	Docking Score (S) (kkal/mol)	Rmsd	Ikatan		Jarak Ikatan (Å)	Residu asam amino terikat
				Jenis	Σ		
1	1	-87,5798	1,4787	-	-	-	-
2	9	-99,6952	1,4280	Van der waals		3,27	Gly 521
3	11	-141,002	1,7913	Hidrogen	2	3,23	Arg 394
						3,77	Glu 353
4	16	-91,2691	1,5688	-	-	-	-
5	21	-112,525	1,2155	Van der waals	2	3,48	Arg 394
						3,4	Glu 353
6	26	-95,807	1,2879	Hidrogen	1	3,88	Met 343
7	31	-111,641	1,4371	Hidrogen	1	3,31	Met 388
				Van der waals	1	4,18	Met 343
8	36	-124,121	1,6393	Van der waals	1	3,71	Asp A351
10	41	-137,638	1,5206	Van der waals	1	3,83	Glu 353
				Hidrogen	2	3,14	Arg 394
						3,34	Glu 353
11	48	-133,328	1,7896	-	-	-	-
12	51	-99,9544	1,1888	Ion	1	3,48	Asp 351
13	57	-144,067	1,3355	Van der waals	1	3,21	Asp A351

				Hidrogen	2	3,4	Arg 394
						3,23	Glu 353

4. Prediksi Toksikitas, Profil Farmakokinetik dan Kajian Metabolisme

a. Bioavailabilitas

Tabel 6 Hasil prediksi bioavailabilitas berdasarkan *lipinsky rule of five*

No	Senyawa	LogP (≤ 5)	Donor Hidrogen (≤ 5)	Berat Molekul (≤ 500)	Akseptor Hidrogen (≤ 10)	Refraktivitas Molar (40-130)	Aturan dilanggar
1.	3	7,9744	0	463	3	147,105	2
2.	10	9,2190	0	472	3	144,890	2
3.	13	3,3007	0	334	5	91,2109	0

Aturan Lipinski

0 = Tidak ada masalah terdeteksi

1-5 = Kemungkinan memiliki absorpsi dan permeasi buruk

b. Prediksi Toksisitas

Tabel 7 Hasil prediksi toksisitas menggunakan Toxtree dan Admetsar

No	Senyawa	Cramer Rules		Benigni/ Bossa Rulebase		CYPs*		Kroes TTC**		Rat Acute Toxicity (mol/kg)
1.	3	<i>Class III</i>	-	1,9	-	1,3,4	-	2	√	2,3775
2.	10	<i>Class II</i>	√	1,9	-	1,2,3,4	√	2	√	1,9187
3.	13	<i>Class II</i>	√	1,9	-	1,2,3,4	√	2	√	2,1658

*Cytochrome P450-mediated drug metabolism

** Threshold of Toxicological Concern

√ = Baik

- = Kurang baik

c. Prediksi Farmakokinetik

Tabel 8 Hasil Prediksi Farmakokinetik Menggunakan PreADMET

No	Senyawa	BBB (<i>Blood Brain Barriers</i>) Penetration *	HIA (<i>Human Intestinal Absorption</i>) (%) **	Plasma Protein Binding (%) ***	Caco-2 cell permeability (nm/sec)****	MDCK Permeability
1.	3	10,9767	98,4298	92,4682	55,8674	0,0702
3.	10	12,1039	97,4108	100	56,4423	63,7796
4.	13	0,9055	96,3463	98,2914	21,4433	0,3802

* *Blood Brain Barriers*, lebih dari 2.0 *high absorption to CNS*, 2.0 ~ 0.1 *middle absorption to CNS*, kurang dari 0.1 *low absorption to CNS*

***Human Intestinal Absorption*, 0-20% *poorly absorbed compounds*, 20 ~ 70% *moderately absorbed compounds*, 70 ~ 100% *well absorbed compounds*

*** *Plasma Protein Binding*, lebih dari 90% *chemicals strongly bound*, kurang dari 90% *chemicals weakly bounds*

**** *Caco-2 cell permeability*, kurang dari 4 *low permeability*, 4 ~ 70 *middle permeability*, lebih dari 70 *high permeability*

B. Pembahasan

1. Hubungan Kuantitatif Struktur Aktivitas (HKSA)

Hubungan kuantitatif struktur aktifitas merupakan metode yang digunakan untuk penemuan dan pengembangan obat baru. Produk dari perhitungan HKSA yaitu persamaan matematis yang menghubungkan sifat structural senyawa dengan aktifitas biologisnya. Dengan adanya persamaan tersebut dapat memprediksi sifat fisikokimia dan hasilnya dijadikan sebagai acuan dalam proses menemukan obat baru sehingga aktifitas yang didapat lebih besar, lebih selektif, serta efek samping yang dihasilkan bisa diminimalisir sehingga kenyamanan penggunaan meningkat (Muhammad et al., 2018).

Studi HKSA diawali dengan membuat struktur 2D dari 13 senyawa kimia (senyawa zerumbone dan 12 lainnya senyawa turunan zerumbone yang disubstitusi eksometilen) menggunakan hyperchem, selanjutnya dioptimasi struktur molekulnya dengan metode *ab initio*. Setelah itu dilakukan perhitungan descriptor menggunakan MOE. Deskriptor yang digunakan dalam mengembangkan model HKSA yaitu AM1_Dipole, AM1_E, AM1_HF, AM, AM1_HOMO, AM1_LUMO, AM1_IP, ASA_H, ASA_P, log P (o/w), log S, Mr, Vdw_vol, Vol, VSA. Setelah perhitungan descriptor selesai kemudian dilakukan eliminasi senyawa yang memiliki nilai Zscore > 2 agar mendapatkan persamaan HKSA dengan kualitas statistik yang lebih baik. Zscore > 2 dalam HKSA tutorial MOE merupakan data *outlier* yaitu senyawa yang nilai aktivitasnya diluar kurva distribusi normal (Arba et al., 2018).

Hasil perhitungan dibuat 5 kombinasi deskriptor lalu dianalisis menggunakan aplikasi SPSS 22. Kombinasi deskriptor akan diregresikan menggunakan regresi linear yang menjadi *dependent variable* adalah IC50 dan kombinasi deskriptor sebagai *independent variable*.

Kriteria dari hasil regresi model HKSA adalah nilai $r > 0,8$; $r^2 > 0,8$ dan $q^2 > 0,5$. r (nilai koefisien korelasi) akan menunjukkan hubungan antara data aktifitas biologis percobaan dengan data hasil perhitungan berdasarkan persamaan yang diperoleh dari hasil analisis regresi. Koefisien korelasi merupakan angka yang bervariasi dimulai dari angka 0 sampai dengan 1. Semakin mendekati angka 1 maka semakin baik hubungan antar variabel. Untuk mendapatkan nilai koefisien korelasi yang bisa diterima tergantung pada jumlah data penelitian. Jika makin banyak data maka semakin rendah koefisien relasi atau nilai r yang diterima (Siswandono, 2001).

Hasil analisis regresi linear yang terpilih yaitu kombinasi dengan nilai r tertinggi dan nilai std error terendah lalu dilakukan validasi dengan teknik LOOCV yaitu mengeliminasi data aktivitas secara bergantian disetiap kombinasi deskriptor yang telah dipilih sebelumnya. Kemudian akan didapatkan nilai q^2 , nilai q^2 akan semakin baik jika di atas 0,5 dan mendekati angka 1. Dari analisis tersebut didapatkan kombinasi deskriptor terbaik pada tabel 2 dengan nilai q^2 0,525 yaitu AM1_dipole, ASA_H, Mr, Vol, VSA dengan persamaan HKSA terbaik yaitu $\text{Log IC}_{50} = -9,450 - 0,043\text{AM1_dipole} + 0,016\text{ASA_H} + 17,917\text{Mr} - 0,691\text{Vol} + 0,207\text{VSA}$ yang merupakan parameter fisikokimia yang berpengaruh. ASA_H, Mr dan VSA menunjukkan kontribusi positif sehingga semakin berkurang sifat hidrofobik, refraktivitas molar, dan luas permukaan van der Waals dari senyawa turunan zerumbon hasil substitusi ekso-metilen akan meningkatkan efek antikankernya. Sedangkan AM1_dipole dan Vol menunjukkan kontribusi negatif sehingga semakin bertambah nilai momen dipol dan volume molekuler dari senyawa turunan zerumbon hasil substitusi ekso-metilen akan meningkatkan efek antikankernya. Selain itu, diketahui dari model HKSA tersebut, deskriptor yang paling berpengaruh adalah Mr (refraktivitas molar).

Nilai korelasi (Pearson) berkisar (r) antara 1 sampai -1, nilai semakin mendekati 1 atau -1 berarti hubungan antara dua variabel semakin kuat, sebaliknya nilai mendekati 0 berarti hubungan antara dua variabel semakin lemah, jika koefisien korelasi adalah -1, maka kedua variabel yang diteliti mempunyai hubungan linier sempurna negatif. Jika koefisien korelasi adalah +1, maka kedua variabel yang diteliti mempunyai hubungan linier sempurna positif. Signifikansi bisa ditentukan lewat baris sig. (2-tailed). Nilai 5% atau 0.05 menunjukkan kesalahannya 5% dan signifikansinya/kesempatan untuk benar sebesar 95%. Jika nilai sig. (2-tailed).

Dari hasil korelasi pearson pada tabel 3 diperoleh nilai korelasi yang menunjukkan hubungan yang kuat pada deskriptor ASA_H dan VSA, hubungan yang cukup pada deskriptor mr dan vol dan korelasi yang rendah pada deskriptor AM1_dipole. Maka, dapat disimpulkan ASA_H memiliki pengaruh aktivitas anti kanker pada senyawa zerumbon dan senyawa turunan hasil substitusi ekso-metilen nilai r 0,757 dan nilai Sig. (2 tailed) 0,004 mendekati 0,01 yang menunjukkan hubungan yang kuat, searah dan signifikan.

Kemudian perlu ditentukan pula kriteria statistik lain dengan menentukan nilai koefisien regresi (R^2) kurva hubungan IC50 eksperimen dengan prediksi yaitu 0,8936. Dari Tabel 4 dapat dilihat bahwa senyawa uji memiliki nilai IC50 yang bervariasi. Senyawa uji yang memiliki aktivitas lebih baik dari senyawa penuntun adalah yang memiliki nilai IC50 yang lebih kecil. Dari hasil tersebut terdapat 8 senyawa yang memiliki aktivitas baik berdasarkan persamaan HKSA.

2. Docking Molekul

Docking molekul adalah suatu teknik yang umum digunakan dalam desain obat berbasis struktur karena dapat memprediksi konformasi pengikatan ligan ke sisi pengikatan taret yang sesuai sehingga dengan pendekatan tersebut diharapkan

memberikan interaksi sehingga mendapat hasil terbaik (Raval & Ganatra, 2022). Sebelum tahap *docking* dilakukan terlebih dulu ligan dipreparasi dengan cara diprotonisasi 3D dan protein terpilih reseptor estrogen alfa yaitu 2JF9 kemudian dilanjutkan dengan simulasi *docking* pada aplikasi MOE selanjutnya diatur ligan flexible dan receptor rigid dengan metode *placement proxy triangle*, metode *refinement induced fit*, rescroring 1 dan 2 Alpha HB. Posisi *docking* terbaik yang dipilih berdasarkan *docking score* (S) terendah dan nilai RMSD < 2.

Docking score (S) atau energi bebas gibbs (ΔG) merupakan parameter kestabilan interaksi (ikatan) antara ligan dengan reseptor. Semakin kecil atau rendah (negatif) nilai *docking* maka ikatan ligan dengan reseptor semakin stabil. Nilai negatve menunjukkan energi terkecil yang digunakan oleh reseptor untuk berinteraksi dengan ligan sehingga dapat berlangsung secara spontan (Naufa et al., 2022). Nilai RMSD (*Root Mean Square Deviation*) menunjukkan tingkat penyimpangan hasil *docking* ligan secara eksperimental terhadap ligan asli (*native ligand*) pada sisi ikatan yang sama. Semakin besar nilai RMSD maka semakin besar penyimpangan yang menunjukkan semakin besar kesalahan prediksi interaksi ligan dengan protein. Suatu *molecular docking* dikatakan valid apabila memiliki nilai RMS < 2. Semakin kecil nilai yang diperoleh menunjukkan konformasi yang semakin baik karena posisi ligan hasil *docking* (ligan uji) mirip dengan ligan asli (Dewi, 2019).

Pengamatan interaksi residu asam amino bertujuan untuk mengidentifikasi interaksi yang terjadi antara ligan dengan reseptornya. Kecocokan interaksi dapat dilihat dari pengikatan minimal 2 residu asam amino yang sama dengan *native ligand*. Semakin banyak jenis kesamaan asam amino yang diikat oleh senyawa uji maka interkasi yang terbentuk dapat dikatakan sama (Argo et al., 2022). Menurut (Anita et al., 2012) residu asam amino yang berperan yaitu pada bagian *4-hydroxy*

dari *4-hydroxytamoxifen* terdapat residu asam amino Glu353 dan Arg394 serta pada bagian (*2-hydroxyethyl*) *dimethylazanium* dari *4-hydroxytamoxifen* terdapat residu asam amino Thr347 dan Asp351. Sedangkan menurut (Dermawan et al., 2019) ikatan hidrogen antara ligan dengan asam amino His524 menentukan sifat suatu ligan bertindak sebagai agonis atau antagonis. Ketika ligan berikatan dengan His524 pada helix 11 dapat menyebabkan helix-12 terbuka dan berikatan dengan koaktivator sehingga ligan bersifat agonis begitupun sebaliknya jika ligan tidak membentuk ikatan hidrogen dengan asam amino His524 maka ligan bersifat antagonis. Berdasarkan hasil *redocking native ligand* pada gambar 7 terdapat interaksi asam amino yaitu Glu353, Arg394, ThrA347, dan AspA351 dan tidak memiliki ikatan hidrogen antara ligan dengan asam amino His524 sehingga ligan tersebut bersifat antagonis.

Hasil *docking* turunan zerumbon substitusi eksometilen pada tabel 5 didapat 60 konformasi ligan terhadap reseptor dan 3 senyawa yang memenuhi kriteria yaitu senyawa 3 (*N,N-Bis[6-(1-oxo-2,9,9 trimethylcycloundeca-2,6,10trienyl) methyl] methylamine*), Senyawa 10 (*6-Hexadecanoyloxymethyl-2,9,9 trimethylcycloundeca-2,6,10-trienone*), dan Senyawa 13 (*6-Methylmalonyloxymethyl-2,9,9-trimethylcycloundeca-2,6,10-trienone*). Senyawa 3 pada gambar 10 memiliki nilai *docking* (S) -141,002 kkal/mol, nilai RMSD 1,7913, interaksi ikatan hidrogen dengan asam amino Glu353 pada gugus karbonil dengan jarak 3,77Å, selain itu terdapat ikatan hidrogen antara gugus karbonil dan asam amino Arg394 dengan jarak 3,23Å. Senyawa 10 pada gambar 16 memiliki nilai *docking* (S) -137,638 kkal/mol, nilai RMSD 1,5206, interaksi ikatan hidrogen antara asam amino Glu353 dengan gugus karbonil jaraknya 3,34 Å, kemudian terdapat interaksi lain yaitu ikatan hidrogen antara asam amino Arg394 dengan gugus karbonil jaraknya 3,14 Å. Kemudian senyawa 13 pada gambar 19 memiliki nilai *docking* (S) -144,067

kkal/mol, nilai RMSD 1,3355, berinteraksi dengan asam amino Glu353 dan Arg394 membentuk ikatan hidrogen dengan gugus karbonil dengan jarak 3,23 Å dan 3,4 Å, serta terdapat ikatan van der Waals antara CH₂ dan asam amino AspA351 dengan jarak 3,21 Å.

Suatu senyawa dikatakan memiliki interaksi yang baik apabila nilai *docking* (S) paling rendah (semakin negatif), nilai RMSD <2, memiliki kecocokan interaksi asam amino dengan *native ligand* dan jarak ikatan hidrogen dengan rentang 2,5Å - 3,5Å. Jarak interaksi memberikan pengaruh pada kekuatan ikatan dan kestabilan interaksi ligan dan reseptor. Apabila jarak rentang terlalu dekat atau jauh maka ikatannya menjadi tidak stabil dan mudah lepas (Naufa et al., 2022).

Dari hasil penelitian diperoleh senyawa 13 (*6-Methylmalonyloxymethyl-2,9,9-trimethylcycloundeca-2,6,10-trienone*) pada gambar 19 memiliki interaksi dengan protein 2JF9 yang kuat dibandingkan dengan senyawa lain yang terdapat pada tabel 5. Berdasarkan hasil *docking* senyawa 3, 10 dan 13 menunjukkan interaksi yang sesuai maka dapat dilanjutkan ke uji berikutnya.

3. Prediksi Toksisitas, Profil Farmakokinetik dan Kajian Metabolisme

a. Studi Bioavailabilitas

Bioavailabilitas yaitu laju dan jumlah relatif obat yang mencapai sistem peredaran darah untuk bisa mencapai target serta memberikan efek terapi. Ketika melakukan pengemabangan obat terdapat kriteria atau parameter yakni Lipinski rules. Nilai logP <5, hal ini berkaitan dengan polaritas molekul dalam pelarut lemak, minyak, pelarut polar maupun pelarut non polar. Molekul dengan logP > 5 akan lebih mudah menembus lapisan lipid bilayer namun tidak dapat menembus keluar yang menyebabkan molekul obat menjadi toksik karena tersimpan lama didalam tubuh. Kemudian berat molekul <500 dalton karena jika melebihi berat tersebut akan sulit untuk berdifusi menembus membrane sel. Jumlah donor ikatan

hidrogen <5 dan akseptor ikatan hidrogen <10 maka semakin banyak ikatan hydrogen maka semakin banyak pula energi yang dibutuhkan untuk proses absorpsi obat (Pollastri, 2010).

Hasil dari pengujian bioavailabilitas melalui *Lipinski rules of five* terdapat 3 senyawa yang diujikan yaitu senyawa 3 (*N,N-Bis[6-(1-oxo-2,9,9-trimethylcycloundeca-2,6,10trienyl) methyl] methylamine*) berdasarkan tabel 5 terdapat 2 aturan yang dilanggar yaitu nilai logP (7,9774) dan nilai refraktivitas molar (147,105). Senyawa 10 (*6-Hexadecanoyloxymethyl-2,9,9trimethylcycloundeca-2,6,10-trienone*) berdasarkan tabel 5 terdapat 2 aturan yang dilanggar yaitu nilai logP (9,2190) dan nilai refraktivitas molar (144,890), dan Senyawa 13 (*6-Methylmalonyloxymethyl-2,9,9-trimethylcycloundeca-2,6,10-trienone*) pada tabel 5 tidak ada aturan Lipinski yang dilanggar.

Menurut (Lipinski et al., 2001) jika lebih dari dua parameter yang dilanggar maka senyawa tersebut memiliki penyerapan atau permeabilitas yang buruk. Dari hasil tersebut senyawa 13 tidak ada aturan Lipinski yang dilanggar sehingga dapat diprediksikan memiliki bioavailabilitas yang baik sehingga jika dikonsumsi peroral dapat diabsorpsi dengan baik secara sistemik.

b. Prediksi Toksisitas

Prediksi toksisitas dilakukan menggunakan aplikasi toxtree dan parameter yang digunakan adalah cramer rules yang memprediksi toksisitas dari struktur molekulnya, benigni/bossa relubase memprediksi kemungkinan adanya efek karsinogenik berdasarkan analisis struktur, CYP450 memprediksi metabolisme obat pada sitokrom 450, kroes TTC memprediksi ambang batas paparan senyawa obat terhadap manusia, dan juga digunakan aplikasi admetsar untuk dapat memprediksi toksistas pada tikus.

Berdasarkan hasil toksisitas pada tabel 6, dari parameter *cramer rules* senyawa 3 masuk ke dalam kelas III (*high class III*) memiliki struktur yang mengandung unsur atau valensi yang dikaitkan dengan peningkatan toksisitas seperti senyawa halo-, nitro-, N-nitroso- dan diazo, organofosfat, senyawa nitrogen kuartener dan struktur xenobiotic. Senyawa 10 dan senyawa 13 masuk ke dalam kelas II (*Intermediate/Class II*) yaitu toksisitas sedang menurut aturan *cramer* memiliki struktur kurang berbahaya dibandingkan dengan kelas I tapi tidak mengandung ciri-ciri struktural yang menunjukkan toksisitas seperti kelas III. Hal ini ditunjukkan bahwa senyawa 10 dan 13 mengandung struktur *monocycloalkanone* atau *bicyclic compound* yang cincinnya tidak menyatu tetapi dihubungkan dengan ikatan tunggal atau ganda atau dalam konfigurasi spiro (Roberts et al., 2015). *Benigni bossa rulabase* pada semua senyawa yang diujikan menunjukkan angka 1 (*structural alerts for genotoxic carcinogenicity*) yaitu dari segi struktur kimia dapat menyebabkan karsinogenisitas melalui mutasi DNA dan angka 9 (*negative for nongenotoxic carcinogenicity*) yaitu tidak menyebabkan kanker yang dikarenakan efek hormonal maupun proliferasi sel dan memiliki dosis yang aman serta penggunaannya dimasyarakat diizinkan kecuali melebihi dosis (Nohmi, 2018). Selanjutnya pada sitokrom 450 (CYP450) senyawa 10 dan 13 memiliki interaksi terbaik dan dapat dimetabolisme pada sitokrom p450 sedangkan pada senyawa 3, sedikit dimetabolisme pada sitokrom p450. Berdasarkan parameter kroes TTC (*Threshold of Toxicological Concern*) merupakan penetapan tingkat paparan oral generic untuk senyawa yang diperkirakan tidak menimbulkan risiko yang berarti bagi kesehatan manusia (Kroes et al., 2004) dan dari hasil penelitian semua senyawa menunjukkan angka 2 yaitu probabilitas rendah untuk menyebabkan *life-time cancer*.

Dari hasil uji toksisitas dengan menggunakan admetsar urutan *rat acute toxicity* (mol/kg) dari terendah hingga tertinggi yaitu senyawa 10 (1,9187 mol/kg), senyawa 13 (2,1658 mol/kg), dan senyawa 3 (2,3775 mol/kg) maka dapat disimpulkan bahwa dari ketiga senyawa hanya senyawa 10 dan 13 yang memenuhi 4 dari 5 parameter toksisitas.

c. Prediksi Farmakokinetik

Prediksi farmakokinetik pada penelitian ini menggunakan 5 parameter yaitu *blood brain barrier* (BBB) *penetration*, *human intestinal absorption* (HIA), *plasma protein binding* (PPB), *caco-2 cell permeability*, dan *Madin-Darby caine kidney* (MDCK) *permeability*. Pada tabel 7 didapatkan hasil prediksi farmakokinetik penelitian yaitu berdasarkan parameter BBB *penetration* senyawa 3 dan 10 memiliki nilai 10,9767 dan 12,1039 diprediksi absorpsi tinggi pada *central nervous system* (CNS) dan senyawa 13 memiliki nilai 0,9055 diprediksi diabsorpsi sedang pada CNS. Menurut (Gupta et al., 2019) parameter ini bertujuan untuk memprediksi absorpsi senyawa yang bisa melewati sawar darah otak. Pada senyawa aktif disistem saraf pusat harus melewati pembatas ini sedangkan untuk senyawa yang tidak aktif pada sistem saraf pusat tidak boleh dilewati agar mencegah efek samping pada kerja normal sistem saraf pusat.

Parameter *Human Intestinal Absorption* (HIA) menurut (Yan et al., 2008) merupakan salah satu sifat ADME yang paling penting karena melalui penyerapan di usus salah satu langkah untuk membawa obat ke target terapinya. Klasifikasi HIA dibagi menjadi 3 kelas yaitu <20% absorpsi senyawa buruk, 20%-69% absorpsi senyawa sedang, dan >70% absorpsi senyawa baik. Dari hasil penelitian senyawa 3 (98,4298%), senyawa 10 (97,4108%), dan senyawa 13 (96,3436%) memiliki absorpsi yang baik diusus.

Parameter *Protein Plasma Binding* (PPB) menurut (Fagerholm et al., 2021) sangat penting untuk memprediksi beberapa sifat fisikokimia obat baru termasuk volume distribusi, clearance, indeks terapeutik dan interaksi obat-obat. Plasma terdiri dari beberapa protein yang bertindak sebagai pengangkut molekul ke seluruh system peredaran darah dan pada tingkat yang lebih rendah akan dibawa ke jaringan. Parameter PPB bertujuan untuk melihat kemampuan obat atau senyawa berikatan dengan protein plasma. Terdapat dua klasifikasi PPB yaitu apabila nilainya lebih dari 90% maka memiliki ikatan kuat dengan protein plasma dan nilai <90% memiliki ikatan lemah dengan protein plasma. Pada penelitian senyawa 3 (92,4682%), senyawa 10 (100%), senyawa 13 (98,2914%) memiliki ikatan kuat dengan protein plasma.

Parameter *caco-2 cell permeability* menurut (Ta et al., 2021) dapat memprediksi permeabilitas usus dalam proses penemuan obat baru karena kesamaan morfologi dan fungsional enterosit manusia sehingga dapat memprediksi jalur transport obat melalui epitel usus. Terdapat klasifikasi dari parameter ini yaitu <4 nm/sec memiliki permeabilitas rendah, 4-70 nm/sec memiliki permeabilitas sedang, dan >70 nm/sec permeabilitas tinggi. Pada penelitian senyawa semua senyawa yang diujikan memiliki permeabilitas sedang (4-70 nm/sec) ditandai dengan nilai *caco-2 cell permeability* secara berurut dari tinggi ke rendah yaitu senyawa 10 (56,4423nm/sec), senyawa 3 (55,8674 nm/sec) dan senyawa 13 (21,4433 nm/sec).

Menurut (Ta et al., 2021) parameter MDCK *permeability* berikatan dengan ekskresi suatu senyawa, semakin tinggi nilai MDCK maka akan semakin sulit senyawa untuk di ekskresi diginjal. Urutan senyawa yang sulit di ekskresi diginjal hingga yang mudah untuk diekskresikan berdasarkan nilai MDCK *permeability*

secara berurut yaitu senyawa 10 dengan nilai 63,7796, senyawa 13 dengan nilai 0,3082 dan senyawa 3 dengan nilai 0,0702.

Dengan demikian bersarkan hasil prediksi farmakokinetik senyawa 3 dan 13 memenuhi parameter farmakokinetik, sedangkan pada senyawa 10 memenuhi 4 parameter farmakokinetik namun pada parameter MDCK *permeability* memiliki nilai yang cukup tinggi sehingga akan sulit di ekskresikan di ginjal.



BAB V

KESIMPULAN

A. Kesimpulan

1. Hasil HKSA senyawa zerumbon dan turunan zerumbon hasil substitusi exometilen menunjukkan descriptor yang berpengaruh terhadap aktivitas senyawa adalah AM1_dipole, ASA_H, Mr, Vol, dan VSA dengan persamaan HKSA yaitu $\text{LogIC}_{50} = -9,450 - 0,043\text{AM1_dipole} + 0,016\text{ASA_H} + 17,917\text{Mr} - 0,691\text{Vol} + 0,207\text{VSA}$ dengan nilai $q^2 = 0,525$.
2. Senyawa 3 (*N,N-Bis[6-(1-oxo-2,9,9-trimethylcycloundeca-2,6,10-trienyl)methyl]methylamine*), Senyawa 10 (*6-Hexadecanoyloxymethyl-2,9,9-trimethylcycloundeca-2,6,10-trienone*), dan Senyawa 13 (*6-Methylmalonyloxymethyl-2,9,9-trimethylcycloundeca-2,6,10-trienone*) merupakan senyawa yang memiliki interaksi yang baik dengan menunjukkan pengikatan dengan residu asam amino yaitu Glu 353 dan Arg 394.
3. Senyawa 13 (*6-Methylmalonyloxymethyl-2,9,9-trimethylcycloundeca-2,6,10-trienone*) pada parameter pengujian toksisitas, bioavailabilitas, dan farmakokinetik menunjukkan hasil yang baik.

B. Implikasi Penelitian

1. Penelitian ini memberikan implikasi baik terhadap pihak institusi maupun pemerintah dan diharapkan penelitian ini berguna untuk pengembangan ilmu pengetahuan dan teknologi, khususnya sebagai upaya untuk mendapatkan senyawa-senyawa sebagai obat antikanker payudara. Hasil prediksi aktivitas melalui studi *in silico* ini diharapkan berguna dalam menentukan senyawa turunan obat antikanker payudara yang dapat disintesis dan diuji lebih lanjut.

2. Diharapkan penelitian ini dapat dilanjutkan dengan mendesain senyawa antagonis reseptor estrogen alfa yang baru dengan aktivitas yang lebih baik.



DAFTAR PUSTAKA

- 'Afiifah, I. N., & Yahya, M. S. (2020). Konsep Belajar Dalam Al-Qur'an Surat Al-'Alaq Ayat 1-5 (Studi Tafsir Al-Misbah). *Arfannur*, 1(1), 87–102. <https://doi.org/10.24260/arfannur.v1i1.161>
- Akram, M., Iqbal, M., Daniyal, M., & Khan, A. U. (2017). Awareness and current knowledge of breast cancer. *Biological Research*, 50(1), 1–23. <https://doi.org/10.1186/s40659-017-0140-9>
- Anita, Y., Radifar, M., Kardono, L. B., Hanafi, M., & Istyastono, E. P. (2012). Structure-based design of eugenol analogs as potential estrogen receptor antagonists. *Bioinformation*, 8(19), 901–906. <https://doi.org/10.6026/97320630008901>
- Arba, M., Tjahjono, D. H., Farmasi, F., & Oleo, U. H. (2018). Hubungan Kuantitatif Struktur-Aktivitas (HKSA) dan Penambatan Molekul Senyawa Turunan Benzamida sebagai Inhibitor Alosterik Mitogen Enhanced Kinase (MEK) Quantitative Structure-Activity Relationship (QSAR) and Molecular Docking Studies of Benzamide. *Jurnal Kimia VALENSI*, 4(1), 42–51.
- Argo, D., Fihuda, P., Muslikh, F. A., Syarifuddin, S., Fauziyah, B., & Sari, D. P. (2022). *STUDI IN SILICO PENGHAMBATAN AKTIVASI TLR2 EKSTRAK ETANOL DAUN SEMANGGI (Marsilea crenata Presl .)*. 15(1), 31–40. <https://doi.org/10.22435/jtoi.v15i1.5792>
- Bharath, E. N., Manjula, S. N., & Vijaychand, A. (2011). In silico drug design-tool for overcoming the innovation deficit in the drug discovery process. *International Journal of Pharmacy and Pharmaceutical Sciences*, 3(2), 8–12.
- Chopra, S., & Davies, E. L. (2020). Breast cancer. *Medicine (United Kingdom)*, 48(2), 113–118. <https://doi.org/10.1016/j.mpmmed.2019.11.009>
- Cirillo, F., Nassa, G., Tarallo, R., Stellato, C., De Filippo, M. R., Ambrosino, C., Baumann, M., Nyman, T. A., & Weisz, A. (2013). Molecular mechanisms of selective estrogen receptor modulator activity in human breast cancer cells: Identification of novel nuclear cofactors of antiestrogen-era complexes by interaction proteomics. *Journal of Proteome Research*, 12(1), 421–431. <https://doi.org/10.1021/pr300753u>
- Dermawan, D., Sumirtanurdin, R., & Dewantisari, D. (2019). Simulasi Dinamika Molekular Reseptor Estrogen Alfa dengan Andrografolid sebagai Anti Kanker Payudara. *Indonesian Journal of Pharmaceutical Science and Technology*, 6(2), 65–76.
- Dewi, P. P. P. (2019). Molecular Docking Terpinen-4-ol pada Protein IKK sebagai Antiinflamasi pada Aterosklerosis secara In Silico. *Jurnal Farmasi Udayana*,

8(1), 44. <https://doi.org/10.24843/jfu.2019.v08.i01.p07>

- Dhanya, B. P., Gopalan, G., Sasikumar, P., Neethu, S., Meenu, M. T., Sharathna, P., John, J., Varughese, S., Sabu, M., Dan, M., & Radhakrishnan, K. V. (2018). Lewis-Acid-Catalyzed Activation of Zerumbone towards Sesquiterpenoid Derivatives: Sustainable Utilization of Abundant Natural Resources for the Synthesis of Chemically Diverse Architectures. *Asian Journal of Organic Chemistry*, 7(2), 471–476. <https://doi.org/10.1002/ajoc.201800006>
- Dozan, W. (2020). Nilai-Nilai Pendidikan Islam Dalam Surat Al- Alaq Ayat 1-5. *Ta'Limuna*, 9(02), 153–169.
- Eid, E. E. M., Azam, F., Hassan, M., Taban, I. M., & Halim, M. A. (2018). Zerumbone binding to estrogen receptors: An in-silico investigation. *Journal of Receptors and Signal Transduction*, 38(4), 342–351. <https://doi.org/10.1080/10799893.2018.1531886>
- Fagerholm, U., Spjuth, O., & Hellberg, S. (2021). Comparison between lab variability and in silico prediction errors for the unbound fraction of drugs in human plasma. *Xenobiotica*, 51(10), 1095–1100. <https://doi.org/10.1080/00498254.2021.1964044>
- Feng, Y., Spezia, M., Huang, S., Yuan, C., Zeng, Z., Zhang, L., Ji, X., Liu, W., Huang, B., Luo, W., Liu, B., Lei, Y., Du, S., Vuppalapati, A., Luu, H. H., Haydon, R. C., He, T. C., & Ren, G. (2018). Breast cancer development and progression: Risk factors, cancer stem cells, signaling pathways, genomics, and molecular pathogenesis. *Genes and Diseases*, 5(2), 77–106. <https://doi.org/10.1016/j.gendis.2018.05.001>
- Geldenhuis, W. J., Gaasch, K. E., Watson, M., Allen, D. D., & Van Der Schyf, C. J. (2006). Optimizing the use of open-source software applications in drug discovery. *Drug Discovery Today*, 11(3–4), 127–132. [https://doi.org/10.1016/S1359-6446\(05\)03692-5](https://doi.org/10.1016/S1359-6446(05)03692-5)
- Girisa, S., Shabnam, B., Monisha, J., Fan, L., Halim, C. E., Arfuso, F., Ahn, K. S., Sethi, G., & Kunnumakkara, A. B. (2019). Potential of zerumbone as an anti-cancer agent. *Molecules*, 24(4), 1–20. <https://doi.org/10.3390/molecules24040734>
- Gupta, M., Lee, H. J., Barden, C. J., & Weaver, D. F. (2019). The Blood-Brain Barrier (BBB) Score. *Journal of Medicinal Chemistry*, 62(21), 9824–9836. <https://doi.org/10.1021/acs.jmedchem.9b01220>
- Hidayat, U. T. (2020). Tafsir Al-azhar : Menyelami Kedalaman Tasawuf Hamka. *Buletin Al-Turas*, 21(1), 49–76. <https://doi.org/10.15408/bat.v21i1.3826>

- Iswanto, P., Rosdiyana, I. T., & Tahir, I. (2008). Hubungan Kuantitatif Struktur Dan Aktivitas Antikanker Senyawa Turunan Estradiol Hasil Perhitungan Metode Semiempiris Pm3. *Bimipa*, *17*(1), 12–20.
- Kalantari, K., Moniri, M., Moghaddam, A. B., Rahim, R. A., Ariff, A. Bin, Izadiyan, Z., & Mohamad, R. (2017). A Review of the biomedical applications of zerumbone and the techniques for its extraction from ginger rhizomes. *Molecules*, *22*(10). <https://doi.org/10.3390/molecules22101645>
- Kamińska, M., Ciszewski, T., Łopacka-Szatan, K., Miotła, P., & Starosławska, E. (2015). Breast cancer risk factors. *Przegląd Menopauzalny*, *14*(3), 196–202. <https://doi.org/10.5114/pm.2015.54346>
- Kitayama, T., Nakahira, M., Yamasaki, K., Inoue, H., Imada, C., Yonekura, Y., Awata, M., Takaya, H., Kawai, Y., Ohnishi, K., & Murakami, A. (2013). Novel synthesis of zerumbone-pendant derivatives and their biological activity. *Tetrahedron*, *69*(47), 10152–10160. <https://doi.org/10.1016/j.tet.2013.09.026>
- Kroes, R., Renwick, A. G., Cheeseman, M., Kleiner, J., Mangelsdorf, I., Piersma, A., Schilter, B., Schlatter, J., Van Schothorst, F., Vos, J. G., & Würtzen, G. (2004). Structure-based thresholds of toxicological concern (TTC): Guidance for application to substances present at low levels in the diet. *Food and Chemical Toxicology*, *42*(1), 65–83. <https://doi.org/10.1016/j.fct.2003.08.006>
- Lipinski, C. A., Lombardo, F., Dominy, B. W., & Feeney, P. J. (2001). Experimental and computational approaches to estimate solubility and permeability in drug discovery and development settings. *Advanced Drug Delivery Reviews*, *64*(SUPPL.), 4–17. <https://doi.org/10.1016/j.addr.2012.09.019>
- Lu, Y., & Liu, W. (2020). Selective Estrogen Receptor Degradors (SERDs): A Promising Strategy for Estrogen Receptor Positive Endocrine-Resistant Breast Cancer. *Journal of Medicinal Chemistry*, *63*(24), 15094–15114. <https://doi.org/10.1021/acs.jmedchem.0c00913>
- Makrynitsa, G. I. (2018). *In silico Drug Design*. August. <https://doi.org/10.1002/9780470015902.a0028112>
- Meng, X. Y., Zhang, H. X., Mezei, M., & Cui, M. (2011). Molecular Docking: A powerful approach for structure-based drug discovery. *NIH Public Access*, *23*(1), 1–7. <https://doi.org/10.1038/jid.2014.371>
- Muhammad, U., Uzairu, A., & Ebuka Arthur, D. (2018). Review on: quantitative structure activity relationship (QSAR) modeling. *Journal of Analytical &*

Pharmaceutical Research, 7(2), 240–242.
<https://doi.org/10.15406/japlr.2018.07.00232>

Naufa, F., Mutiah, R., Yen, Y., & Indrawijaya, A. (2022). Studi in Silico Potensi Senyawa Katekin Teh Hijau (*Camellia sinensis*) sebagai Antivirus SARS CoV-2 terhadap Spike Glycoprotein (6LZG) dan Main Protease (5R7Y). *J.Food Pharm.Sci*, 2022(1), 584–596. www.journal.ugm.ac.id/v3/JFPA

Nohmi, T. (2018). Thresholds of genotoxic and non-genotoxic carcinogens. *Toxicological Research*, 34(4), 281–290.
<https://doi.org/10.5487/TR.2018.34.4.281>

Patrick, G. L. (2013). *An Introduction to Medicinal Chemistry Fifth Edition* (Fifth Edit). Oxford University Press.

Pollastri, M. P. (2010). Overview on the rule of five. *Current Protocols in Pharmacology*, SUPPL. 49, 1–8.
<https://doi.org/10.1002/0471141755.ph0912s49>

Purwanto, B. T., & Siswodihardjo, S. (2018). Uji in silico Aktivitas Sitotoksik dan Toksisitas Senyawa Turunan N - (Benzoil) - N ' - feniltiourea Sebagai Calon Obat Antikanker. *March*. <https://doi.org/10.20961/jpscr.v3i1.16266>

Qing, X., Lee, X. Y., De Raeymaeker, J., Tame, J. R., Zhang, K. Y., De Maeyer, M., & Voet, A. R. (2014). Pharmacophore modeling: Advances, Limitations, And current utility in drug discovery. *Journal of Receptor, Ligand and Channel Research*, 7(November), 81–92.
<https://doi.org/10.2147/JRLCR.S46843>

Rahman, H. S., Rasedee, A., Yeap, S. K., Othman, H. H., Chartrand, M. S., Namvar, F., Abdul, A. B., & How, C. W. (2014). Biomedical properties of a natural dietary plant metabolite, Zerumbone, in cancer therapy and chemoprevention trials. *BioMed Research International*, 2014.
<https://doi.org/10.1155/2014/920742>

Raval, K., & Ganatra, T. (2022). Basics, types and applications of molecular docking: A review. *IP International Journal of Comprehensive and Advanced Pharmacology*, 7(1), 12–16. <https://doi.org/10.18231/j.ijcaap.2022.003>

Roberts, D. W., Aptula, A., Schultz, T. W., Shen, J., Api, A. M., Bhatia, S., & Kromidas, L. (2015). A practical guidance for Cramer class determination. *Regulatory Toxicology and Pharmacology*, 73(3), 971–984.
<https://doi.org/10.1016/j.yrtph.2015.09.017>

Saha, T., Makar, S., Swetha, R., Gutti, G., & Singh, S. K. (2019). Estrogen signaling: An emanating therapeutic target for breast cancer treatment.

European Journal of Medicinal Chemistry, 177, 116–143.
<https://doi.org/10.1016/j.ejmech.2019.05.023>

- Sandeep, L., & Ritam, R. (2017). Metabolic Screening in Drug Development: In-Vivo to In-Silico. *Journal of Analytical & Pharmaceutical Research*, 6(4), 4–6. <https://doi.org/10.15406/japlr.2017.06.00185>
- Sharma, D., Kumar, S., & Narasimhan, B. (2018). Estrogen alpha receptor antagonists for the treatment of breast cancer: A review. *Chemistry Central Journal*, 12(1), 1–32. <https://doi.org/10.1186/s13065-018-0472-8>
- Siegel, R., Miller, K., & Jemal, A. (2020). Cancer Facts & Figures 2020. *American Cancer Society*.
- Siswandono. (2016). *Kimia Medisinal 1* (Edisi 2). Airlangga University Press. Surabaya.
- Sun, Y. S., Zhao, Z., Yang, Z. N., Xu, F., Lu, H. J., Zhu, Z. Y., Shi, W., Jiang, J., Yao, P. P., & Zhu, H. P. (2017). Risk factors and preventions of breast cancer. *International Journal of Biological Sciences*, 13(11), 1387–1397. <https://doi.org/10.7150/ijbs.21635>
- Ta, G. H., Jhang, C. S., Weng, C. F., & Leong, M. K. (2021). Development of a hierarchical support vector regression-based in silico model for Caco-2 permeability. *Pharmaceutics*, 13(2), 1–26. <https://doi.org/10.3390/pharmaceutics13020174>
- Tokunaga, E., Hisamatsu, Y., Tanaka, K., Yamashita, N., Saeki, H., Oki, E., Kitao, H., & Maehara, Y. (2014). Molecular mechanisms regulating the hormone sensitivity of breast cancer. *Cancer Science*, 105(11), 1377–1383. <https://doi.org/10.1111/cas.12521>
- Tripathi, R. B., Pande, M., Garg, G., & Sharma, D. (2016). In-silico expectations of pharmaceutical industry to design of new drug molecules. *Journal of Innovations in Pharmaceuticals and Biological Sciences*, 3(3), 95–103.
- Utaka, Y., Kashiwazaki, G., Tajima, S., Fujiwara, Y., Sumi, K., Itoh, T., & Kitayama, T. (2019). Antiproliferative effects of zerumbone-pendant derivatives on human T-cell lymphoid cell line Jurkat cells. *Tetrahedron*, 75(10), 1343–1350. <https://doi.org/10.1016/j.tet.2019.01.038>
- World Health Organization. (2019). Indonesia Source GLOBOCAN 2018. *International Agency for Research on Cancer*, 256, 1–2. <http://gco.iarc.fr/>
- Yan, A., Wang, Z., & Cai, Z. (2008). Prediction of human intestinal absorption by GA feature selection and support vector machine regression. *International*

Journal of Molecular Sciences, 9(10), 1961–1976.
<https://doi.org/10.3390/ijms9101961>

Yusransyah. (2016). *Studi In Silico Senyawa Alkaloid Dari Bunga Tapak Dara (Catharanthus Roseus (L) G. Don) Pada Reseptor Estrogen Beta Sebagai Antikanker Payudara. III(2)*, 16–20.

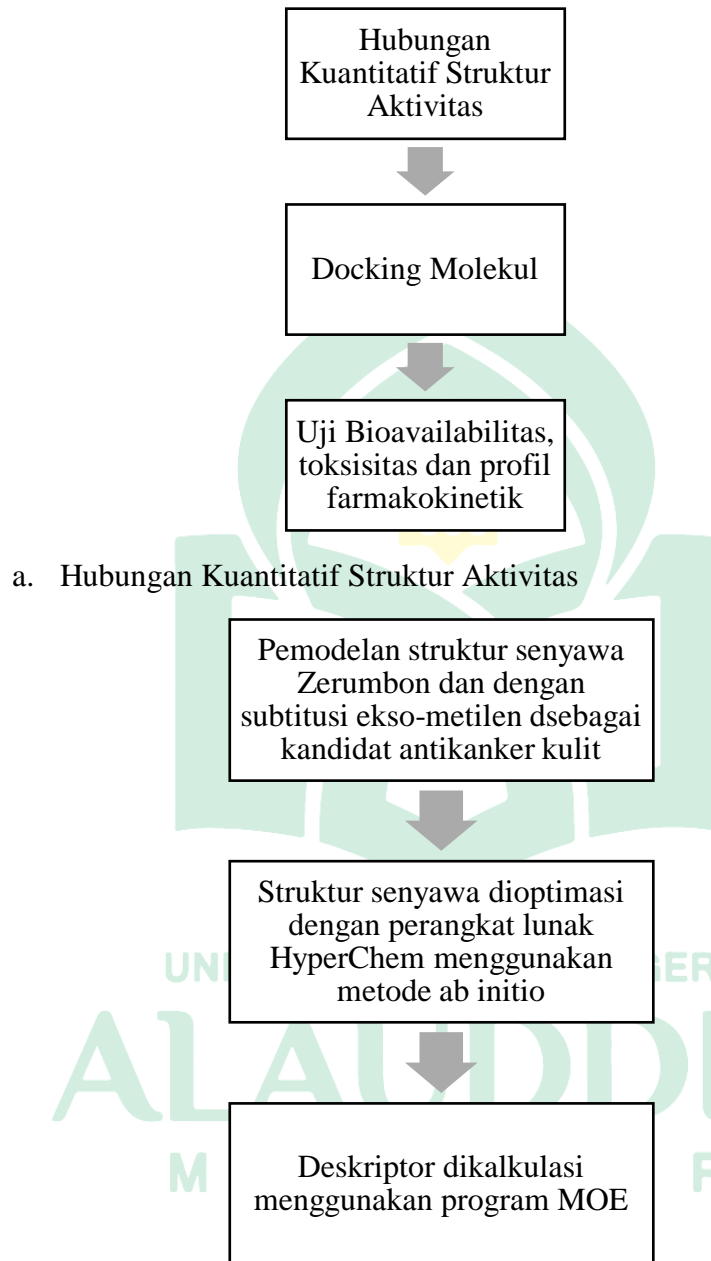
Yuswar, T. N. (2018). Late Stage Diagnostic of Breast Cancer at RSUD Arifin. *JURNAL KESEHATAN KOMUNITAS*, 4(27), 33–39.



LAMPIRAN

Lampiran I Skema Kerja

1. Alur penelitian



Dilakukan eliminasi senyawa yang memiliki deviasi terbesar berdasarkan nilai Z pada hasil komputasi MOE, dimana struktur senyawa dengan nilai $Z > 2$



Perhitungan statistik dengan kombinasi 5 deskriptor sebagai nondependent variabel dan IC50 sebagai dependent variabel. Nilai r, r2 dan std Error dilihat pada tabel Model Summary



Dipilih persamaan HKSA terbaik, $q^2 \geq 0,5$



Divalidasi hasil persamaan HKSA dengan metode LOOVC



Dianalisis hasil korelasi Pearson

b. *Docking Molekul*

Dipreparasi senyawa hits hasil virtual screening dan protein yang telah diprotonisasi



Simulasi docking



Hasil docking dipilih berdasarkan nilai rmsd (≤ 2) atau kedekatan dengan struktur ligan dan nilai scoring terendah

c. Uji Bioavailabilitas

Diprediksi kelarutan dan permeabilitas menggunakan rule of 5 lipinsky



Senyawa upload pada <http://www.scfbio-iitd.res.in/software/drugdesign/lipinski.jsp>

d. Uji toksisitas

Digunakan aplikasi Toxtree dan situs AdmetSAR



Diprediksi toksisitas senyawa dengan parameter sebagai berikut : Creamer Rules, Benigni/Bossa Rulebase, CYPss, Kroes TTC, dan Rat Acute Toxicity

e. Uji profil farmakokinetik

Prediksi ini dilakukan dengan bantuan dari situs preadmet.bmdrc.org



Diprediksi profil farmakokinetik dengan parameter sebagai berikut : BBB (Blood Brain Barries), HIA (Human Intestinal Absorption), Plasma Protein Binding, Caco-2 Cell Permeability MDCK (Madin Darby Canine Kidney)

Lampiran II Tabel

Tabel Hasil *Docking*

No	mol	Entri	rseq	mseq	S	rmsd_refine	E_conf	E_place	E_score 1	E_refine	E_score 2
1	<chem>O=C1/C(/C)=C/CC/C(/C)=C\CC(C)(C)/C=C\1</chem>	1	1	1	-87.5798	1.478716	32.3736	-6.98244	-64.2155	-20.7382	-87.5798
2	<chem>O=C1/C(/C)=C/CC/C(/C)=C\CC(C)(C)/C=C\1</chem>	2	1	1	-86.0635	1.326938	32.80707	-6.69897	-63.0099	-20.1415	-86.0635
3	<chem>O=C1/C(/C)=C/CC/C(/C)=C\CC(C)(C)/C=C\1</chem>	3	1	1	-85.5454	0.850975	28.92135	-9.03628	-75.6165	-25.501	-85.5454
4	<chem>O=C1/C(/C)=C/CC/C(/C)=C\CC(C)(C)/C=C\1</chem>	4	1	1	-84.8661	0.745074	43.24078	-7.89561	-73.2011	-10.3409	-84.8661
5	<chem>O=C1/C(/C)=C/CC/C(/C)=C\CC(C)(C)/C=C\1</chem>	5	1	1	-83.5894	0.973477	34.71386	-8.48067	-70.3102	-24.588	-83.5894
6	<chem>O=C1/C(/C)=C/CC/C(/C)[N+](CC)CC=C\CC(C)(C)/C=C\1</chem>	6	1	2	-103.879	2.220665	49.14817	-10.5916	-58.2542	-25.3107	-103.879
7	<chem>O=C1/C(/C)=C/CC/C(/C)[N+](CC)CC=C\CC(C)(C)/C=C\1</chem>	7	1	2	-103.736	3.411784	59.7566	-8.07141	-84.669	-23.7087	-103.736
8	<chem>O=C1/C(/C)=C/CC/C(/C)[N+](CC)CC=C\CC(C)(C)/C=C\1</chem>	8	1	2	-100.94	2.240175	62.0906	-6.69759	-58.7377	-5.9003	-100.94
9	<chem>O=C1/C(/C)=C/CC/C(/C)[N+](CC)CC=C\CC(C)(C)/C=C\1</chem>	9	1	2	-99.6952	1.428088	74.39835	-9.14498	-58.0014	6.122493	-99.6952

10	<chem>O=C1/C(C)=C/CC/C(C)[N+](CC)CC=C\CC(C)(C)/C=C\1</chem>	10	1	2	-98.4221	1.185571	39.3927	-11.8082	-77.1397	-6.07622	-98.4221
11	<chem>O=C1/C(C)=C/CC/C(C)[N+](C/C/2=C/CC(C)(C)/C=C\C(=O)/C(C)=C\CC\2)C=C\CC(C)(C)/C=C\1</chem>	11	1	3	-141.022	1.791346	358.5077	-8.37993	-74.9506	160.6169	-141.022
12	<chem>O=C1/C(C)=C/CC/C(C)[N+](C/C/2=C/CC(C)(C)/C=C\C(=O)/C(C)=C\CC\2)C=C\CC(C)(C)/C=C\1</chem>	12	1	3	-138.662	1.473692	391.6733	-5.8481	-49.3373	198.7753	-138.662
13	<chem>O=C1/C(C)=C/CC/C(C)[N+](C/C/2=C/CC(C)(C)/C=C\C(=O)/C(C)=C\CC\2)C=C\CC(C)(C)/C=C\1</chem>	13	1	3	-138.636	3.444459	119.1127	-3.92512	-40.0411	-26.3071	-138.636
14	<chem>O=C1/C(C)=C/CC/C(C)[N+](C/C/2=C/CC(C)(C)/C=C\C(=O)/C(C)=C\CC\2)C=C\CC(C)(C)/C=C\1</chem>	14	1	3	-136.698	1.255978	331.1122	-7.35585	-55.9395	130.4763	-136.698
15	<chem>O=C1/C(C)=C/CC/C(C)[N+](C/C/2=C/CC(C)(C)/C=C\C(=O)/C(C)=C\CC\2)C=C\CC(C)(C)/C=C\1</chem>	15	1	3	-136.456	3.841336	83.45018	-8.78529	-56.772	-32.2466	-136.456
16	<chem>O=C1/C(C)=C/CC/C(CO)=C\CC(C)(C)/C=C\1</chem>	16	1	4	-91.2619	1.568888	140.3027	-8.54145	-74.5461	5.875824	-91.2619
17	<chem>O=C1/C(C)=C/CC/C(CO)=C\CC(C)(C)/C=C\1</chem>	17	1	4	-88.9452	1.751367	37.37711	-8.63656	-66.0576	-17.4737	-88.9452

18	<chem>O=C/C(C)=C/CC(C)/CO</chem> <chem>=C\CC(C)(C)/C=C\1</chem>	18	1	4	-88.1594	2.040211	38.06152	-8.08223	-69.6812	-14.8358	-88.1594
19	<chem>O=C/C(C)=C/CC(C)/CO</chem> <chem>=C\CC(C)(C)/C=C\1</chem>	19	1	4	-87.8361	1.030666	162.282	-8.65571	-70.8592	2.856086	-87.8361
20	<chem>O=C/C(C)=C/CC(C)/CO</chem> <chem>=C\CC(C)(C)/C=C\1</chem>	20	1	4	-87.2898	1.602774	36.2787	-8.17059	-74.5552	-17.5729	-87.2898
21	<chem>O=C(OC/C1=C/CC(C)(C)/</chem> <chem>C=C\C(=O)/C(/C)=C/CC\1</chem> [C+]C	21	1	5	-112.525	1.21559	31.55905	-9.05848	-69.8222	22.84007	-112.525
22	<chem>O=C(OC/C1=C/CC(C)(C)/</chem> <chem>C=C\C(=O)/C(/C)=C/CC\1</chem> [C+]C	22	1	5	-110.823	1.48406	10.2545	-10.6554	-88.5799	-31.5551	-110.823
23	<chem>O=C(OC/C1=C/CC(C)(C)/</chem> <chem>C=C\C(=O)/C(/C)=C/CC\1</chem> [C+]C	23	1	5	-109.931	2.676095	14.43782	-10.2028	-76.0466	-27.505	-109.931
24	<chem>O=C(OC/C1=C/CC(C)(C)/</chem> <chem>C=C\C(=O)/C(/C)=C/CC\1</chem> [C+]C	24	1	5	-109.411	2.170726	6.753031	-9.0664	-63.3481	-35.7075	-109.411
25	<chem>O=C(OC/C1=C/CC(C)(C)/</chem> <chem>C=C\C(=O)/C(/C)=C/CC\1</chem> [C+]C	25	1	5	-106.285	1.16493	31.96159	-8.82916	-72.7077	-2.23149	-106.285
26	<chem>O=C(OC/C1=C/CC(C)(C)/</chem> <chem>C=C\C(=O)/C(/C)=C/CC\1</chem> C	26	1	6	-95.807	1.28798	20.48754	-7.85874	-64.086	-9.38647	-95.807
27	<chem>O=C(OC/C1=C/CC(C)(C)/</chem> <chem>C=C\C(=O)/C(/C)=C/CC\1</chem> C	27	1	6	-93.3839	2.017772	8.651916	-8.56276	-64.314	-21.8923	-93.3839

28	<chem>O=C(OC/C/1=C/CC(C)(C)/C=C\C(=O)/C(/C)=C/CC\1)C</chem>	28	1	6	-93.0158	3.055539	8.559642	-8.16265	-73.4272	-16.7238	-93.0158
29	<chem>O=C(OC/C/1=C/CC(C)(C)/C=C\C(=O)/C(/C)=C/CC\1)C</chem>	29	1	6	-91.0301	1.362809	38.6116	-6.76903	-59.0537	6.150628	-91.0301
30	<chem>O=C(OC/C/1=C/CC(C)(C)/C=C\C(=O)/C(/C)=C/CC\1)C</chem>	30	1	6	-89.7169	2.168666	15.13043	-6.99985	-61.8746	-20.6229	-89.7169
31	<chem>O=C(OC/C/1=C/CC(C)(C)/C=C\C(=O)/C(/C)=C/CC\1)[C+]CC</chem>	31	1	7	-111.641	1.437149	23.32578	-8.56503	-55.7825	-18.9546	-111.641
32	<chem>O=C(OC/C/1=C/CC(C)(C)/C=C\C(=O)/C(/C)=C/CC\1)[C+]CC</chem>	32	1	7	-106.55	1.195201	40.04713	-13.9575	-101.851	7.695752	-106.55
33	<chem>O=C(OC/C/1=C/CC(C)(C)/C=C\C(=O)/C(/C)=C/CC\1)[C+]CC</chem>	33	1	7	-105.635	1.602447	49.7435	-8.76625	-61.7241	6.248646	-105.635
34	<chem>O=C(OC/C/1=C/CC(C)(C)/C=C\C(=O)/C(/C)=C/CC\1)[C+]CC</chem>	34	1	7	-104.568	1.095035	62.8344	-9.73404	-79.6234	24.3194	-104.568
35	<chem>O=C(OC/C/1=C/CC(C)(C)/C=C\C(=O)/C(/C)=C/CC\1)[C+]CC</chem>	35	1	7	-104.355	1.989675	40.66481	-9.1487	-63.7026	-3.41136	-104.355
36	<chem>O=C(OC/C/1=C/CC(C)(C)/C=C\C(=O)/C(/C)=C/CC\1)[C+]CCCCC</chem>	36	1	8	-124.121	1.639384	34.84131	-10.6737	-67.0285	-25.7635	-124.121

37	O=C(OC/C/1=C/CC(C)(C)/ C=C\C(=O)/C(/C)=C/CC\1) [C+]CCCCC	37	1	8	-122.217	1.91293	27.80411	-5.72195	-60.9045	-29.9719	-122.217
38	O=C(OC/C/1=C/CC(C)(C)/ C=C\C(=O)/C(/C)=C/CC\1) [C+]CCCCC	38	1	8	-119.874	1.861421	28.15391	-9.82241	-58.7406	-26.2976	-119.874
39	O=C(OC/C/1=C/CC(C)(C)/ C=C\C(=O)/C(/C)=C/CC\1) [C+]CCCCC	39	1	8	-119.873	1.492148	103.4546	-6.88377	-59.303	48.02644	-119.873
40	O=C(OC/C/1=C/CC(C)(C)/ C=C\C(=O)/C(/C)=C/CC\1) [C+]CCCCC	40	1	8	-117.467	1.617193	156.972	-7.11488	-61.2233	65.51206	-117.467
41	O=C(OC/C/1=C/CC(C)(C)/ C=C\C(=O)/C(/C)=C/CC\1) [C+]CCCCCCCCCCCC	41	1	9	-137.638	1.520643	205.1743	-7.14723	-47.3287	112.7246	-137.638
42	O=C(OC/C/1=C/CC(C)(C)/ C=C\C(=O)/C(/C)=C/CC\1) [C+]CCCCCCCCCCCC	42	1	9	-137.173	1.820008	210.3933	-6.99642	-45.0581	97.58295	-137.173
43	O=C(OC/C/1=C/CC(C)(C)/ C=C\C(=O)/C(/C)=C/CC\1) [C+]CCCCCCCCCCCC	43	1	9	-127.408	3.123632	39.22258	-2.73842	-14.8562	-35.7674	-127.408
44	O=C(OC/C/1=C/CC(C)(C)/ C=C\C(=O)/C(/C)=C/CC\1) [C+]CCCCCCCCCCCC	44	1	9	-127.341	1.882379	278.5111	-3.44986	-32.0542	301.3259	-127.341
45	O=C(OC/C/1=C/CC(C)(C)/ C=C\C(=O)/C(/C)=C/CC\1) [C+]CCCCCCCCCCCC	45	1	9	-126.143	1.567352	223.7044	-2.10872	-32.4086	143.5548	-126.143

46	<chem>O=C(OC/C/1=C/CC(C)(C)/C=C\C(=O)/C=C\CC\1)[C+]CCCCCCCCCCCCCCCCC</chem>	46	1	10	-144.371	2.438212	142.0002	-1.21674	-20.3653	59.44369	-144.371
47	<chem>O=C(OC/C/1=C/CC(C)(C)/C=C\C(=O)/C=C\CC\1)[C+]CCCCCCCCCCCCCCCCC</chem>	47	1	10	-134.755	2.504126	119.2213	-4.91666	-14.5143	30.23876	-134.755
48	<chem>O=C(OC/C/1=C/CC(C)(C)/C=C\C(=O)/C=C\CC\1)[C+]CCCCCCCCCCCCCCCCC</chem>	48	1	10	-133.328	1.78964	156.6153	-3.08971	-14.3713	59.78705	-133.328
49	<chem>O=C(OC/C/1=C/CC(C)(C)/C=C\C(=O)/C=C\CC\1)[C+]CCCCCCCCCCCCCCCCC</chem>	49	1	10	-118.54	2.819162	65.5775	-4.30606	-31.9341	-15.058	-118.54
50	<chem>O=C(OC/C/1=C/CC(C)(C)/C=C\C(=O)/C=C\CC\1)[C+]CCCCCCCCCCCCCCCCC</chem>	50	1	10	-117.051	1.857485	110.5666	-0.6237	-17.9079	10.59829	-117.051
51	<chem>[Cl+]=CC(=O)OC/C/1=C/C(C)(C)/C=C\C(=O)/C(/C)=C\CC\1</chem>	51	1	11	-99.9544	1.188807	-77.7557	-7.00857	-65.4008	-14.3514	-99.9544
52	<chem>[Cl+]=CC(=O)OC/C/1=C/C(C)(C)/C=C\C(=O)/C(/C)=C\CC\1</chem>	52	1	11	-95.4437	2.110276	-70.5783	-9.66121	-65.4521	8.003055	-95.4437

53	<chem>[Cl+]=CC(=O)OC/C/1=C/C C(C)(C)/C=C\C(=O)/C(/C) =C/CC\1</chem>	53	1	11	-94.1847	1.104359	-73.2055	-8.3266	-73.2358	16.3533	-94.1847
54	<chem>[Cl+]=CC(=O)OC/C/1=C/C C(C)(C)/C=C\C(=O)/C(/C) =C/CC\1</chem>	54	1	11	-91.6076	1.816753	-66.6736	-7.8692	-63.7601	15.16994	-91.6076
55	<chem>[Cl+]=CC(=O)OC/C/1=C/C C(C)(C)/C=C\C(=O)/C(/C) =C/CC\1</chem>	55	1	11	-90.987	1.261312	-67.0079	-8.37667	-65.5852	17.73004	-90.987
56	<chem>O(C(=O)C(C([O+])=O)C)C /C/1=C/CC(C)(C)/C=C\C(=O) /C(/C)=C/CC\1</chem>	56	1	12	-144.327	2.895639	-144.081	-6.26042	-66.0928	-41.5864	-124.327
57	<chem>O(C(=O)C(C([O+])=O)C)C /C/1=C/CC(C)(C)/C=C\C(=O) /C(/C)=C/CC\1</chem>	57	1	12	-144.067	1.335503	-48.294	-9.14681	-84.4922	61.87444	-124.067
58	<chem>O(C(=O)C(C([O+])=O)C)C /C/1=C/CC(C)(C)/C=C\C(=O) /C(/C)=C/CC\1</chem>	58	1	12	-140.322	1.47752	-28.9583	-7.9153	-82.1812	60.94414	-120.322
59	<chem>O(C(=O)C(C([O+])=O)C)C /C/1=C/CC(C)(C)/C=C\C(=O) /C(/C)=C/CC\1</chem>	59	1	12	-139.553	1.689455	-119.451	-7.33571	-80.7977	11.90505	-119.553
60	<chem>O(C(=O)C(C([O+])=O)C)C /C/1=C/CC(C)(C)/C=C\C(=O) /C(/C)=C/CC\1</chem>	60	1	12	-139.501	2.217127	-131.18	-5.15253	-60.0014	-6.01046	-119.501

Lampiran III Gambar Pengerjaan

1. HKSA

Database Viewer: SHOME/documents/database/zemulon_optimas-r50.mdb

molecule	mol	AMI_dipole	AMI_E	AMI_Eele	AMI_HF	AMI_H...	AMI_L...	ASA_H	ASA_P	logP(o/w)	logS	mr	vdw_vol	vol	VSA	IC50	SPRED	SRES	SZ SCORE	SZ A
1		3.2530	-58550.777	-418064.12	-19.1874	-9.4429	0.1408	347.2895	83.9646	2.9910	-3.7475	6.8723	349.9114	249.7500	271.6648	0.4800	-1.9217	2.4017	0.1913	-2
2		3.3077	-78083.687	-663480.00	-9.3875	-8.9788	0.2090	423.5684	99.5943	3.0240	-3.6655	9.8585	465.5318	333.3750	360.5580	4.0000	2.0908	1.9020	0.1515	1
3		2.8077	-125287.76	-1366288.2	30.1325	-8.8613	-0.2139	586.5070	149.6273	4.5170	-6.5338	14.3136	728.2587	511.0000	472.6093	0.2400	6.2809	-5.968	0.4755	32
4		4.0354	-69044.343	-464569.75	-63.7545	-9.6651	0.3355	297.9547	131.8314	1.7710	-2.9107	7.8578	358.4336	253.6250	270.6630	4.7000	2.0808	2.6120	0.2061	1
5		3.7809	-79905.486	-593680.25	-92.8529	-5.6315	0.0009	368.1344	107.4240	2.3600	-3.5287	8.8976	410.6099	194.6250	518.4517	4.0000	7.4347	-1.434	0.2735	7
6		8.3108	-83940.919	-641747.81	104.3892	-13.100	-6.8390	337.8279	158.8141	2.8500	-5.2287	8.4834	432.0093	291.5750	190.9242	7.8000	7.5879	-0.187	0.8150	7
7		10.2201	-86834.835	-692800.75	67.1957	-12.026	-6.8004	484.6340	186.9259	3.3300	-3.7350	8.9457	456.5175	327.0000	346.4226	4.8000	7.7466	-3.746	0.2985	8
8		8.7496	-100900.00	-850920.27	99.1964	-12.366	-7.8114	530.9573	137.1803	5.1010	-5.7968	10.0066	954.2341	398.6250	440.5389	6.8000	12.2223	-5.422	0.4320	12
9		6.1166	-115355.46	-1039427.6	70.9338	-12.436	-7.6590	661.0793	129.3340	6.8600	-7.8577	12.6518	651.9509	476.1250	522.2700	57.000	15.8802	41.111	3.2753	9
10		10.5462	-126135.06	-1132334.8	56.5355	-12.304	-7.8103	759.9241	125.4784	8.1950	-9.4033	14.8385	725.2384	523.3750	587.3952	17.000	19.3436	-2.348	0.1872	20
11		23.4801	-148207.76	-1589082.2	26.1209	-11.857	-7.8204	830.7581	136.7087	10.3610	-11.9625	15.9008	822.9551	591.1250	644.9022	12.000	22.5477	-10.54	0.6085	26
12		10.2508	-87711.265	-636441.48	144.3709	-12.029	-8.2678	206.9150	237.5181	3.4850	-3.9091	8.5401	423.6158	316.2500	336.8890	4.0000	12.4891	-8.489	0.6765	14
13		5.4703	-97870.281	-768114.62	68.7872	-12.719	-5.7689	346.6214	201.6664	3.4520	-4.3515	9.7305	476.4983	347.5000	372.5469	6.0000	13.8807	-7.890	0.6278	15

13 entries, 0 selected, all visible, 24 fields, 0 selected, all visible.

Gambar perhitungan deskriptor

KALKULASI DESKRIPTOR AMI_IP - Excel (Product Activation Failed)

	A	B	C	D	E	F	G	H	I	J	K	L	M	N	O	P	Q	R
1	molecule	mol	AMI_dipole	AMI_E	AMI_Eele	AMI_HF	AMI_HOMO	AMI_LUMO	ASA_H	ASA_P	logP(o/w)	logS	mr	vdw_vol	vol	VSA	IC50	SPI
2	O=C1/C(C)=C/C(C)=C/C(C)=C1	3.2530	-58550.7770	-418064.1200	-19.1874	-9.4429	0.1408	347.2895	83.9646	2.9910	-3.7475	6.8723	349.9114	249.7500	271.6648	0.4800	-1	
3	O=C1/C(C)=C/C(C)=C/C1N(C)CC1	3.3077	-78083.6880	-663480.0000	-9.3875	-8.9788	0.2090	423.5684	99.5943	3.0240	-3.6655	9.8585	465.5318	333.3750	360.5580	4.0000	2	
4	O=C1/C(C)=C/C(C)=C/C1N(C)C2=CC=CC=C2	2.8077	-125287.7700	-1366288.2000	30.1325	-8.8613	-0.2139	586.5070	149.6273	4.5170	-6.5338	14.3136	728.2587	511.0000	472.6093	0.2400	6	
5	O=C1/C(C)=C/C(C)=C/C1CO=CC=C1	4.0354	-69044.3440	-464569.7500	-63.7545	-9.6651	0.3355	297.9547	131.8314	1.7710	-2.9107	7.8578	358.4336	253.6250	270.6630	4.7000	2	
6	O=C1/C(C)=C/C(C)=C/C1C=CC=C1	3.7809	-79905.4860	-593680.2500	-92.8529	-5.6315	0.0009	368.1344	107.4240	2.3600	-3.5287	8.8976	410.6099	194.6250	518.4517	4.0000	7	
7	O=C1(O)=C(C)C=C1C=CC(C)C1	8.3108	-83940.9300	-641747.8100	104.3892	-13.1000	-6.8390	337.8279	158.8141	2.8500	-5.2287	8.4834	432.0093	291.5750	190.9242	7.8000	7	
8	O=C1(O)=C(C)C=C1C=CC(C)C1	10.2201	-86834.8360	-692800.7500	67.1957	-12.0267	-6.8004	404.6349	186.9259	3.3300	-3.7350	8.9457	456.5175	327.0000	346.4226	4.8000	7	
9	O=C1(O)=C(C)C=C1C=CC(C)C1	8.7496	-100900.0000	-850920.2700	99.1964	-12.3667	-7.8114	530.9573	137.1803	5.1010	-5.7968	10.0066	954.2341	398.6250	440.5389	6.8000	12	
10	O=C1(O)=C(C)C=C1C=CC(C)C1	10.5462	-126135.0600	-1132334.8000	56.5355	-12.2043	-7.8103	759.9241	125.4784	8.1950	-9.4033	14.8385	725.2384	523.3750	587.3952	17.0000	19	
11	O=C1(O)=C(C)C=C1C=CC(C)C1	23.4801	-140507.7700	-1595602.3000	26.1209	-11.8577	-7.8204	836.7581	136.7087	10.3610	-11.9625	15.9008	822.9551	591.1250	644.9022	12.0000	22	
12	C1C=CC1C=C1C=CC(C)C=C1C1	19.2598	-87711.2650	-626421.6900	144.3709	-12.0299	-8.2678	206.9150	237.5181	3.4850	-3.9091	8.5401	423.6158	316.2500	336.8890	4.0000	12	
13	S(C(=O)C(C)=O)O1C(C)C=C1C=CC	5.4703	-97870.2810	-768114.6300	68.7872	-12.7189	-5.7689	346.6214	201.6664	3.4520	-4.3515	9.7305	476.4983	347.5000	372.5469	6.0000	12	

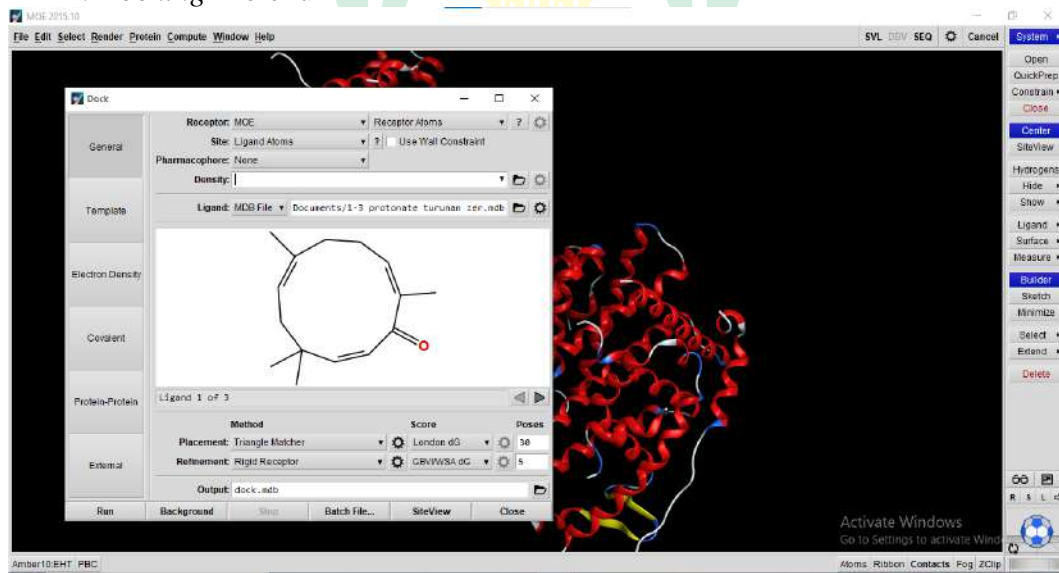
Gambar pengerjaan di excel

SPSS Statistics Data Editor

	molecul	mol	AM1_dipole	AM1_E	AM1_Eele	AM1_HF	AM1_HOMO	AM1_LUMO	ASA_H	ASA_P	logPow	logS	mr	udw_val	val	VSA	IC50
1	/C/C=C/C/C/...	3.3630	-58660.7770	-418064.1300	-19.1074	-9.4429	1408	347.2895	83.9646	2.6910	-3.7475	6.8723	348.9114	249.7500	271.6648	4.0000	
2	/C/C=C/C/C/...	3.3077	-78083.6880	-663480.0000	-9.3075	-8.9788	2090	423.5684	99.5943	3.0240	-3.8656	9.0585	466.5100	333.3750	366.5580	4.0000	
3	/C/C=C/C/C/...	2.8077	-125287.7700	-1366280.3000	30.1325	-8.8613	-2139	596.5970	149.6273	4.5170	-6.5338	14.3136	728.2587	511.0000	472.6093	24000	
4	/C/C=C/C/C/...	4.0364	-66044.3440	-464569.7500	-63.7545	-9.6651	3366	297.9547	151.8314	1.7710	-2.9107	7.0578	358.4336	253.6250	276.6630	4.0000	
5	/C/C=C/C/C/...	3.7905	-79965.4060	-593800.2500	-52.0529	-9.6315	0009	368.1344	107.4240	2.3600	-3.5287	8.0976	410.6099	294.6250	318.4517	4.0000	
6	/C/C=C/C/C/...	8.3100	-83040.9300	-641747.8100	104.3032	-13.1000	-6.8398	337.8278	138.8141	2.8580	-3.2207	8.4834	432.0883	291.3750	290.9242	7.4000	
7	/C/C=C/C/C/...	10.2201	-86634.8360	-698260.7500	97.1957	-12.9266	-6.8004	404.6349	106.9259	3.3330	-3.7359	8.9457	456.5175	327.0000	346.4226	4.0000	
8	/C/C=C/C/C/...	8.7496	-100980.0000	-869520.3800	99.1964	-12.3667	-7.8114	530.5673	137.1803	5.1010	-5.7968	10.8006	554.2341	398.6250	440.5389	6.8000	
9	/C/C=C/C/C/...	10.5462	-126135.0600	-1132334.9000	56.5355	-12.2043	-7.8103	769.9241	129.4784	8.1959	-9.4033	14.0385	728.2384	623.3750	587.3952	17.0000	
10	/C/C=C/C/C/...	23.4801	-140507.7700	-1309682.3000	26.1269	-11.8576	-7.8204	836.7581	138.7697	10.3610	-11.9625	15.9069	822.9551	591.1250	644.9022	12.0000	
11	/C/C=C/C/C/...	19.2598	-87711.2660	-626421.6900	144.3799	-12.0299	-9.3678	296.9150	237.5181	3.4850	-3.9091	8.5491	423.6150	310.2500	336.8899	4.0000	
12																	
13																	
14																	
15																	
16																	
17																	
18																	
19																	
20																	
21																	
22																	
23																	

Gambar pengerjaan pada SPSS

2. Docking Molekul



Gambar panel docking

Database Viewer : SHOME/documents/23_1-3_doking tur zer.mdb

	mol	rseq	mseq	S	rmsd_refine	E_conf	E_place	E_score1	E_refine	E_score2
1		1	1	-87.5798	1.4787	32.3736	-6.9824	-64.2155	-20.7382	-87.5798
2		1	1	-86.0635	1.3269	32.8071	-6.6990	-63.0099	-20.1415	-86.0635
3		1	1	-85.5454	0.8510	28.9214	-9.0363	-75.6165	-25.5010	-85.5454
4		1	1	-84.8661	0.7451	43.2408	-7.8956	-73.2011	-10.3409	-84.8661
5		1	1	-83.5894	0.9735	34.7139	-8.4807	-70.3102	-24.5880	-83.5894
6		1	2	-103.8794	2.2207	49.1482	-10.5916	-58.2542	-25.3107	-103.8794
7		1	2	-103.7361	3.4118	59.7566	-8.0714	-84.6690	-23.7087	-103.7361
8		1	2	-100.9400	2.2402	62.0906	-6.6976	-58.7377	-5.9003	-100.9400
9		1	2	-99.6952	1.4281	74.3984	-9.1450	-58.0014	6.1225	-99.6952
10		1	2	-98.4221	1.1856	39.3927	-11.8082	-77.1397	-6.0762	-98.4221
11		1	3	-141.0217	1.7913	358.5077	-8.3799	-74.9506	160.6169	-141.0217
12		1	3	-138.6616	1.4737	391.6733	-5.8481	-49.3373	198.7753	-138.6616
13		1	3	-138.6357	3.4445	119.1127	-3.9251	-40.0411	-26.3071	-138.6357
14		1	3	-136.6978	1.2560	331.1122	-7.3559	-55.9395	130.4763	-136.6978
15		1	3	-136.4555	3.8413	83.4502	-8.7853	-56.7720	-32.2466	-136.4555

Gambar Hasil Docking Senyawa Turunan Zerumbon Substitusi Eksometilen

Mol	Entri	rseq	mseq	S	rmsd_refine	E_conf	E_place	E_score1	E_refine	E_score2
1	1	1	1	-87.5798	1.4787	32.3736	-6.9824	-64.2155	-20.7382	-87.5798
2	2	2	1	-86.0635	1.3269	32.8071	-6.6990	-63.0099	-20.1415	-86.0635
3	3	3	1	-85.5454	0.8510	28.9214	-9.0363	-75.6165	-25.5010	-85.5454
4	4	4	1	-84.8661	0.7451	43.2408	-7.8956	-73.2011	-10.3409	-84.8661
5	5	5	1	-83.5894	0.9735	34.7139	-8.4807	-70.3102	-24.5880	-83.5894
6	6	6	2	-103.8794	2.2207	49.1482	-10.5916	-58.2542	-25.3107	-103.8794
7	7	7	2	-103.7361	3.4118	59.7566	-8.0714	-84.6690	-23.7087	-103.7361
8	8	8	2	-100.9400	2.2402	62.0906	-6.6976	-58.7377	-5.9003	-100.9400
9	9	9	2	-99.6952	1.4281	74.3984	-9.1450	-58.0014	6.1225	-99.6952
10	10	10	2	-98.4221	1.1856	39.3927	-11.8082	-77.1397	-6.0762	-98.4221
11	11	11	3	-141.0217	1.7913	358.5077	-8.3799	-74.9506	160.6169	-141.0217
12	12	12	3	-138.6616	1.4737	391.6733	-5.8481	-49.3373	198.7753	-138.6616
13	13	13	3	-138.6357	3.4445	119.1127	-3.9251	-40.0411	-26.3071	-138.6357
14	14	14	3	-136.6978	1.2560	331.1122	-7.3559	-55.9395	130.4763	-136.6978
15	15	15	3	-136.4555	3.8413	83.4502	-8.7853	-56.7720	-32.2466	-136.4555
16	16	1	4	-91.2619	1.56888	140.3027	-8.54145	-74.5461	8.875024	-91.2619
17	17	2	4	-88.9452	1.751367	37.37711	-8.63656	-66.0576	-17.4737	-88.9452
18	18	3	4	-88.1594	2.940211	80.06152	-8.08223	-69.0812	-16.8356	-88.1594
19	19	4	4	-87.0384	1.030996	162.282	-8.65571	-70.0292	2.856086	-87.0384
20	20	5	4	-87.2898	1.801774	38.2787	-8.17059	-74.5551	-17.5729	-87.2898
21	21	6	4	-87.2898	1.801774	38.2787	-8.17059	-74.5551	-17.5729	-87.2898
22	22	6	5	-112.525	1.21559	31.55905	-9.05848	-69.8222	22.84007	-112.525
23	23	7	5	-110.822	1.48406	10.2545	-10.8054	-88.5799	-91.5531	-110.822

Gambar eliminasi senyawa dengan docking skor (S) dan nilai rmsd

3. Uji Bioavailabilitas

Result
mass: 218.000000
hydrogen bond donor: 0
hydrogen bond acceptors: 1
LOGP: 4.214398
Molar Refractivity: 69.292976

Hasil prediksi aturan Lipinski senyawa 1

Result

mass: 289.000000
hydrogen bond donor: 0
hydrogen bond acceptors: 2
LOGP: 4.536299
Molar Refractivity: 91.406960

Hasil prediksi aturan Lipinski senyawa 2

Result

mass: 449.000000
hydrogen bond donor: 0
hydrogen bond acceptors: 2
LOGP: 7.974453
Molar Refractivity: 147.105072

Hasil prediksi aturan Lipinski senyawa 3

Result

mass: 234.000000
hydrogen bond donor: 1
hydrogen bond acceptors: 2
LOGP: 3.186799
Molar Refractivity: 70.704773

Hasil prediksi aturan Lipinski senyawa 4

Result

mass: 276.000000
hydrogen bond donor: 0
hydrogen bond acceptors: 3
LOGP: 3.757599
Molar Refractivity: 80.251968

Hasil prediksi aturan Lipinski senyawa 5

Result

mass: 289.000000
hydrogen bond donor: 0
hydrogen bond acceptors: 3
LOGP: 3.961888
Molar Refractivity: 84.551971

Hasil prediksi aturan Lipinski senyawa 6

Result

mass: 303.000000
hydrogen bond donor: 0
hydrogen bond acceptors: 3
LOGP: 4.351989
Molar Refractivity: 89.168968

Hasil prediksi aturan Lipinski senyawa 7

Result

mass: 359.000000
hydrogen bond donor: 0
hydrogen bond acceptors: 3
LOGP: 5.548560
Molar Refractivity: 108.211960

Hasil prediksi aturan Lipinski senyawa 8

Result

mass: 472.000000
hydrogen bond donor: 0
hydrogen bond acceptors: 3
LOGP: 9.219005
Molar Refractivity: 144.890045

Hasil prediksi aturan Lipinski senyawa 10

Result

mass: 528.000000
hydrogen bond donor: 0
hydrogen bond acceptors: 3
LOGP: 10.779407
Molar Refractivity: 163.358170

Hasil prediksi aturan Lipinski senyawa 11

Result

mass: 309.500000
hydrogen bond donor: 0
hydrogen bond acceptors: 3
LOGP: 3.251059
Molar Refractivity: 83.975975

Hasil prediksi aturan Lipinski senyawa 12

Result

mass: 334.000000
hydrogen bond donor: 0
hydrogen bond acceptors: 5
LOGP: 3.300799
Molar Refractivity: 91.210968

Hasil prediksi aturan Lipinski senyawa 13

4. Prediksi Toksisitas

a. Senyawa 1

Toxicity		
Rat Acute Toxicity	1.8726	LD50, mol/kg
Fish Toxicity	0.4673	pLC50, mg/L
Tetrahymena Pyriformis Toxicity	0.3951	pIGC50, ug/L

Hasil Rat Acute Toxicity

The screenshot displays the ChemSpider interface with a chemical structure on the left and a list of Cramer rules on the right. The rules are categorized by hazard class (Class I, II, III) and include explanations for each rule's outcome (Yes/No).

- Class I (Low Hazard):**
 - Q1: Neutral consistency of the body: **Yes**
 - Q2: Contains functional groups associated with enhanced toxicity: **No**
 - Q3: Contains elements other than C, H, O, N, divalent S: **No**
 - Q5: Simply branched aliphatic hydrocarbon or a common carbohydrate: **No**
 - Q6: Benzene derivative with certain substituents: **No**
 - Q7: Heterocyclic: **No**
 - Q16: Common terpene: **No**
 - Q17: Readily hydrolyzed to a common terpene: **No**
 - Q19: Open chain: **No**
 - Q23: Aromatic: **No**
 - Q24: Monocyclic with simple substituents: **No**
 - Q25: Cyclopropane etc. (see explanation): **No**
 - Q26: Monocyclic ether or a bicyclic compound: **Yes**
- Class II (Moderate Hazard):** (No rules listed)
- Class III (High Hazard):** (No rules listed)

Hasil prediksi Cramer Rules

The screenshot displays the ChemSpider interface with a chemical structure on the left and a list of Kroes TTC rules on the right. The results indicate that the substance is not expected to be a safety concern.

- Overall Assessment:** Substance would not be expected to be a safety concern.
- Risk Assessment:** Negligible risk (low probability of a Me-firm cancer risk greater than 1 in 10⁶).
- Risk Assessment Note:** Risk assessment requires compound-specific toxicity data.
- Rules (QSA):**
 - QSA22: gen. Acids and triazine groups: **No**
 - QSA23: gen. Aliphatic N-amino: **No**
 - QSA24: gen. α,β-unsaturated aldehydes: **No**
 - QSA25: gen. Aromatic nitro group: **No**
 - QSA26: gen. Aromatic ring N-oxide: **No**
 - QSA27: gen. Nitro aromatic: **No**
 - QSA28: gen. Primary aromatic amides, hydroxy amides and its derived esters (with restrictions): **No**
 - QSA28ter: gen. Aromatic mono- and dihalamides: **No**
 - QSA28ter: gen. Aromatic N-acyl amides: **No**
 - QSA29: gen. Aromatic diazo: **No**
 - QSA31: gen. Guanamines and Purotoxinamides: **No**
 - QSA37: gen. Pyridoxine-Alkaloids: **No**
 - QSA38: gen. Alkenyl/benzenes: **No**
 - QSA39: gen. androgenic Steroidal estrogens: **No**
 - Q40: Are there structural alerts that raise concern for potential genotoxicity? **Yes**
 - Q43: Is the chemical an aflatoxin-like, azoxy-, or N-nitroso compound? **No**
 - Q44: Does estimated intake exceed TTC of 0.15 µg/day? **No**

Hasil Kroes TTC

Chemical identifier: O=C1C=C(C)C=CC(C)C=C1

Available structure attributes:

- Chemical rules: Intermediate (Class 1)
- Error when applying the...: NO
- For a better assessment...: NO
- Negative for genotoxic...: NO
- Negative for nongenotoxic...: YES
- Potential S. typhimurium...: NO
- Potential carcinogen bas...: NO
- QSAR13 applicable? : NO
- QSAR5 applicable? : NO
- SA10_gen : YES
- SA11_gen : NO

Structure diagram:

Task Hazard: by Carcinogenicity (genotoxic and nongenotoxic) and mutagenicity release by ISS

Structural Alert for genotoxic carcinogenicity

Structural Alert for nongenotoxic carcinogenicity

Potential S. typhimurium TA100 mutagen based on QSAR

Ability to be a S. typhimurium TA100 mutagen based on QSAR

Verbose explanation:

Carcinogenicity (genotoxic and nongenotoxic) and mutagenicity release by ISS

- QSAR1_gen: Aryl halides No O=C1C=C(C)C=CC(C)C=C1
- QSAR2_gen: Aryl (C5) or benzyl ester of sulphonic or phosphonic acid No O=C1C=C(C)C=CC(C)C=C1
- QSAR3_gen: N-methyl derivatives No O=C1C=C(C)C=CC(C)C=C1
- QSAR4_gen: Monohaloketone No O=C1C=C(C)C=CC(C)C=C1
- QSAR5_gen: S or N mustard No O=C1C=C(C)C=CC(C)C=C1
- QSAR6_gen: Propellactones and propiolactones No O=C1C=C(C)C=CC(C)C=C1
- QSAR7_gen: Epoxides and aziridines No O=C1C=C(C)C=CC(C)C=C1
- QSAR8_gen: Aliphatic halogenes No O=C1C=C(C)C=CC(C)C=C1
- QSAR9_gen: Aryl nitrite No O=C1C=C(C)C=CC(C)C=C1
- QSAR10_gen: Simple aldehyde No O=C1C=C(C)C=CC(C)C=C1
- QSAR11_gen: Quinoxaline No O=C1C=C(C)C=CC(C)C=C1
- QSAR12_gen: Hydrazine No O=C1C=C(C)C=CC(C)C=C1
- QSAR13_gen: Aliphatic amine and amine No O=C1C=C(C)C=CC(C)C=C1
- QSAR14_gen: Isoocyanate and isothiocyanate groups No O=C1C=C(C)C=CC(C)C=C1
- QSAR15_gen: Aryl carbamate and thiocarbamate No O=C1C=C(C)C=CC(C)C=C1
- QSAR16_gen: Polycyclic Aromatic Hydrocarbons No O=C1C=C(C)C=CC(C)C=C1
- QSAR17_gen: Heterocyclic Polycyclic Aromatic Hydrocarbons No O=C1C=C(C)C=CC(C)C=C1
- QSAR21_gen: Aryl and aryl N-nitroso groups No O=C1C=C(C)C=CC(C)C=C1

Chemical identifier: O=C1C=C(C)C=CC(C)C=C1

Available structure attributes:

- Chemical rules: Intermediate (Class 1)
- Error when applying the...: NO
- For a better assessment...: NO
- Negative for genotoxic...: NO
- Negative for nongenotoxic...: YES
- Potential S. typhimurium...: NO
- Potential carcinogen bas...: NO
- QSAR13 applicable? : NO
- QSAR5 applicable? : NO
- SA10_gen : YES
- SA11_gen : NO

Structure diagram:

Task Hazard: by Carcinogenicity (genotoxic and nongenotoxic) and mutagenicity release by ISS

For a better assessment a QSAR calculation could be applied.

Negative for genotoxic carcinogenicity

Negative for nongenotoxic carcinogenicity

Error when applying the decision tree

Verbose explanation:

Carcinogenicity (genotoxic and nongenotoxic) and mutagenicity release by ISS

- QSAR1_gen: Aryl halides No O=C1C=C(C)C=CC(C)C=C1
- QSAR2_gen: Aryl (C5) or benzyl ester of sulphonic or phosphonic acid No O=C1C=C(C)C=CC(C)C=C1
- QSAR3_gen: N-methyl derivatives No O=C1C=C(C)C=CC(C)C=C1
- QSAR4_gen: Monohaloketone No O=C1C=C(C)C=CC(C)C=C1
- QSAR5_gen: S or N mustard No O=C1C=C(C)C=CC(C)C=C1
- QSAR6_gen: Propellactones and propiolactones No O=C1C=C(C)C=CC(C)C=C1
- QSAR7_gen: Epoxides and aziridines No O=C1C=C(C)C=CC(C)C=C1
- QSAR8_gen: Aliphatic halogenes No O=C1C=C(C)C=CC(C)C=C1
- QSAR9_gen: Aryl nitrite No O=C1C=C(C)C=CC(C)C=C1
- QSAR10_gen: Simple aldehyde No O=C1C=C(C)C=CC(C)C=C1
- QSAR11_gen: Quinoxaline No O=C1C=C(C)C=CC(C)C=C1
- QSAR12_gen: Hydrazine No O=C1C=C(C)C=CC(C)C=C1
- QSAR13_gen: Aliphatic amine and amine No O=C1C=C(C)C=CC(C)C=C1
- QSAR14_gen: Isoocyanate and isothiocyanate groups No O=C1C=C(C)C=CC(C)C=C1
- QSAR15_gen: Aryl carbamate and thiocarbamate No O=C1C=C(C)C=CC(C)C=C1
- QSAR16_gen: Polycyclic Aromatic Hydrocarbons No O=C1C=C(C)C=CC(C)C=C1
- QSAR17_gen: Heterocyclic Polycyclic Aromatic Hydrocarbons No O=C1C=C(C)C=CC(C)C=C1
- QSAR21_gen: Aryl and aryl N-nitroso groups No O=C1C=C(C)C=CC(C)C=C1

Hasil Benigni Bossa Rulabase

UNIVERSITAS ISLAM NEGERI

Chemical identifier: O=C1C=C(C)C=CC(C)C=C1

Available structure attributes:

- Chemical rules: Intermediate (Class 1)
- Error when applying the...: NO
- For a better assessment...: NO
- Negative for genotoxic...: NO
- Negative for nongenotoxic...: YES
- Potential S. typhimurium...: NO
- Potential carcinogen bas...: NO
- QSAR13 applicable? : NO
- QSAR5 applicable? : NO
- SA10_gen : YES
- SA11_gen : NO

Structure diagram:

Task Hazard: by Cytochrome P450-Mediated Drug Metabolism

SMARTCyp:Rank1 sites

SMARTCyp:Rank2 sites

SMARTCyp:Rank3 sites

SMARTCyp:Rank4 sites

Verbose explanation:

Cytochrome P450-Mediated Drug Metabolism

- Q1 SMARTCyp: primary sites of metabolism Yes Class SMARTCyp:Rank1 sites O=C1C=C(C)C=CC(C)C=C1
- Q2 SMARTCyp: secondary sites of metabolism Yes Class SMARTCyp:Rank2 sites
- Q3 SMARTCyp: tertiary sites of metabolism Yes Class SMARTCyp:Rank3 sites
- Q4 SMARTCyp: sites of metabolism with Rank=4 Yes Class SMARTCyp:Rank=4 sites

Hasil CYP450

b. Senyawa 2

Toxicity		
Rat Acute Toxicity	2.3159	LD50, mol/kg
Fish Toxicity	1.0025	pLC50, mg/L
Tetrahymena Pyriformis Toxicity	0.4563	pIGC50, ug/L

Hasil Rat Acute Toxicity

The screenshot displays the Chem3D software interface. On the left, the 'Structure diagram' shows a chemical structure with a methyl group labeled 'H₃C'. The main panel, 'Toxic Hazard', is titled 'by Cramer rules' and shows a classification of 'Low (Class I)'. Below this, a list of Cramer rules is shown with their results:

- Q1 Normal constituent of the body: No
- Q2 Contains functional groups associated with reduced toxicity: No
- Q3 Contains elements other than C, H, O, N, S, and P: No
- Q4 Simply branched aliphatic hydrocarbon on a common carbohydrate: No
- Q5 Benzene derivative with certain substituents: No
- Q6 Heterocyclic: No
- Q7 Common terpene: No
- Q8 Easily hydrolyzed to a common terpene: No
- Q9 Open chain: No
- Q10 Aromatic: No
- Q11 Monocyclic with simple substituents: No
- Q12 Cyclopropane, etc.: No
- Q13 Mercaptolactone or a bicyclic compound: No
- Q14 Common component of food: No
- Q15 Has sufficient number of sulfonate or sulfamate groups: No

Hasil prediksi Cramer Rules

The screenshot displays the Chem3D software interface. On the left, the 'Structure diagram' shows the same chemical structure as the previous image. The main panel, 'Toxic Hazard', is titled 'by Kroes TTC decision tree' and shows a classification of 'Estimate'. A message states: 'Substance would not be expected to be a safety concern'. Below this, a list of Kroes TTC rules is shown with their results:

- Q8411 gen. Acids and imino groups: No
- Q8412 gen. Aliphatic N-oxo: No
- Q8413 gen. alpha,beta unsaturated aldehydes: No
- Q8414 gen. Aromatic nitroso group: No
- Q8415 gen. Aromatic ring N-oxide: No
- Q8416 gen. Nitro aromatic: No
- Q8417 gen. Nitro aromatic: No
- Q8418 gen. Primary aromatic amine, hydroxyl amine and its derived esters: No
- Q8419 gen. Aromatic mono- and dialkylamine: No
- Q8420 gen. Aromatic N-acyl amine: No
- Q8421 gen. Aromatic diamine: No
- Q8422 gen. Coumarins and furcoumarins: No
- Q8423 gen. Pyrimidine Alkaloids: No
- Q8424 gen. Alkylbenzenes: No
- Q8425 gen. androgenic steroids: No
- Q8426 gen. Are there structural alerts that raise concern for potential genotoxicity? Yes
- Q8427 Is the chemical an aflatoxin-like, azoxy-, or N-nitroso compound? No
- Q8428 Does estimated intake exceed TTC of 0.15 µg/day? No

Hasil Kroes TTC

Chemical identifier: O=C(C)C=CC(C)C=CC(C)C=CC(C)C=C

Available structure attributes

Crater rules	High (Class III)
Error when applying the...	NO
For a better assessment...	NO
Uses TTC decision tree	heuristic not (low proba...
Uses TTC decision tree...	Q/A,Alerts/genotoxic?
Negative for genotoxic...	NO
Negative for nongenoto...	YES
Potential S. typhimurium...	NO
Potential carcinogen tes...	NO
QSAR13 applicable?	NO
QSAR6.8 applicable?	NO

Structure diagram

Toxic Hazard by Carcinogenicity (genotoxic and nongenotoxic) and mutagenicity (mutagen by ISS)

Estimate

Structural Alert for genotoxic carcinogenicity

Structural Alert for nongenotoxic carcinogenicity

Potential S. typhimurium TA98 mutagen based on QSAR

Highly likely to be a S. typhimurium TA100 mutagen based on QSAR

Verbose explanation

- QSAR11: organo substituted α-alkylcarboxylic acids No O=C1C(C)C=CC(C)C=CC(C)C=CC(C)C=C1
- QSAR12: organo phthalate diesters and monoesters No O=C1C(C)C=CC(C)C=CC(C)C=CC(C)C=C1
- QSAR13: organo Perfluorooctanoic acid (PFOA) No O=C1C(C)C=CC(C)C=CC(C)C=CC(C)C=C1
- QSAR44: organo Trichloro (or fluor) ethylene and Tetrachloro (or fluor) ethylene No O=C1C(C)C=CC(C)C=CC(C)C=CC(C)C=C1
- QSAR45: organo nitroalk-3-carbonal No O=C1C(C)C=CC(C)C=CC(C)C=CC(C)C=C1
- QSAR46: organo penta-chlorophenol No O=C1C(C)C=CC(C)C=CC(C)C=CC(C)C=C1
- QSAR47: organo o-glyoxyphenol No O=C1C(C)C=CC(C)C=CC(C)C=CC(C)C=C1
- QSAR48: organo quercetin-type flavonoids No O=C1C(C)C=CC(C)C=CC(C)C=CC(C)C=C1
- QSAR49: organo imidazole and benzimidazole No O=C1C(C)C=CC(C)C=CC(C)C=CC(C)C=C1
- QSAR50: organo dicarboximide No O=C1C(C)C=CC(C)C=CC(C)C=CC(C)C=C1
- QSAR51: organo dimethylsulfonide No O=C1C(C)C=CC(C)C=CC(C)C=CC(C)C=C1
- QSAR52: organo Metals, oxidative stress No O=C1C(C)C=CC(C)C=CC(C)C=CC(C)C=C1
- QSAR53: organo Benzenesulfonic ethers No O=C1C(C)C=CC(C)C=CC(C)C=CC(C)C=C1
- QSAR54: organo 1,3-Benzoxadiazoles No O=C1C(C)C=CC(C)C=CC(C)C=CC(C)C=C1
- QSAR55: organo Phenoxy herbicides No O=C1C(C)C=CC(C)C=CC(C)C=CC(C)C=C1
- QSAR56: organo alkyl halides No O=C1C(C)C=CC(C)C=CC(C)C=CC(C)C=C1
- QNongenotoxic alert! At least one alert for nongenotoxic carcinogenicity fired! No Class [Organic for genotoxic carcinogenicity](#) O=C1C(C)C=CC(C)C=CC(C)C=C1

Chemical identifier: O=C(C)C=CC(C)C=CC(C)C=CC(C)C=C

Available structure attributes

Crater rules	High (Class III)
Error when applying the...	NO
For a better assessment...	NO
Uses TTC decision tree	heuristic not (low proba...
Uses TTC decision tree...	Q/A,Alerts/genotoxic?
Negative for genotoxic...	NO
Negative for nongenoto...	YES
Potential S. typhimurium...	NO
Potential carcinogen tes...	NO
QSAR13 applicable?	NO
QSAR6.8 applicable?	NO

Structure diagram

Toxic Hazard by Carcinogenicity (genotoxic and nongenotoxic) and mutagenicity (mutagen by ISS)

Estimate

For a better assessment a QSAR calculation could be applied.

Negative for genotoxic carcinogenicity

Negative for nongenotoxic carcinogenicity

Error when applying the decision tree

Verbose explanation

- QSAR11: organo substituted α-alkylcarboxylic acids No O=C1C(C)C=CC(C)C=CC(C)C=CC(C)C=C1
- QSAR12: organo phthalate diesters and monoesters No O=C1C(C)C=CC(C)C=CC(C)C=CC(C)C=C1
- QSAR13: organo Perfluorooctanoic acid (PFOA) No O=C1C(C)C=CC(C)C=CC(C)C=CC(C)C=C1
- QSAR44: organo Trichloro (or fluor) ethylene and Tetrachloro (or fluor) ethylene No O=C1C(C)C=CC(C)C=CC(C)C=CC(C)C=C1
- QSAR45: organo nitroalk-3-carbonal No O=C1C(C)C=CC(C)C=CC(C)C=CC(C)C=C1
- QSAR46: organo penta-chlorophenol No O=C1C(C)C=CC(C)C=CC(C)C=CC(C)C=C1
- QSAR47: organo o-glyoxyphenol No O=C1C(C)C=CC(C)C=CC(C)C=CC(C)C=C1
- QSAR48: organo quercetin-type flavonoids No O=C1C(C)C=CC(C)C=CC(C)C=CC(C)C=C1
- QSAR49: organo imidazole and benzimidazole No O=C1C(C)C=CC(C)C=CC(C)C=CC(C)C=C1
- QSAR50: organo dicarboximide No O=C1C(C)C=CC(C)C=CC(C)C=CC(C)C=C1
- QSAR51: organo dimethylsulfonide No O=C1C(C)C=CC(C)C=CC(C)C=CC(C)C=C1
- QSAR52: organo Metals, oxidative stress No O=C1C(C)C=CC(C)C=CC(C)C=CC(C)C=C1
- QSAR53: organo Benzenesulfonic ethers No O=C1C(C)C=CC(C)C=CC(C)C=CC(C)C=C1
- QSAR54: organo 1,3-Benzoxadiazoles No O=C1C(C)C=CC(C)C=CC(C)C=CC(C)C=C1
- QSAR55: organo Phenoxy herbicides No O=C1C(C)C=CC(C)C=CC(C)C=CC(C)C=C1
- QSAR56: organo alkyl halides No O=C1C(C)C=CC(C)C=CC(C)C=CC(C)C=C1
- QNongenotoxic alert! At least one alert for nongenotoxic carcinogenicity fired! No Class [Organic for genotoxic carcinogenicity](#) O=C1C(C)C=CC(C)C=CC(C)C=C1

Hasil Benigni Bossa Rulabase

Chemical identifier: O=C(C)C=CC(C)C=CC(C)C=CC(C)C=C

Available structure attributes

Crater rules	High (Class III)
Error when applying the...	NO
For a better assessment...	NO
Uses TTC decision tree	heuristic not (low proba...
Uses TTC decision tree...	Q/A,Alerts/genotoxic?
Negative for genotoxic...	NO
Negative for nongenoto...	YES
Potential S. typhimurium...	NO
Potential carcinogen tes...	NO
QSAR13 applicable?	NO
QSAR6.8 applicable?	NO

Structure diagram

Toxic Hazard by Cytochrome P450-Mediated Oxidative Metabolism

Estimate

SMARTCyp-Block1-alert

SMARTCyp-Block2-alert

SMARTCyp-Block3-alert

SMARTCyp-Block4-alert

Verbose explanation

Cytochrome P450-Mediated Oxidative Metabolism

- Q1 SMARTCyp-gene: sites of metabolism Yes Class [SMARTCyp-Block1-alert](#) O=C1C(C)C=CC(C)C=CC(C)C=CC(C)C=C1
- Q2 SMARTCyp-secondary sites of metabolism Yes Class [SMARTCyp-Block2-alert](#)
- Q3 SMARTCyp-tertiary sites of metabolism Yes Class [SMARTCyp-Block3-alert](#)
- Q4 SMARTCyp-sites of metabolism with Rulabase Yes Class [SMARTCyp-Block4-alert](#)

Hasil CYP450

c. Senyawa 3

Toxicity		
Rat Acute Toxicity	2.3755	LD50, mol/kg
Fish Toxicity	1.1747	pLC50, mg/L
Tetrahymena Pyriformis Toxicity	0.2611	pIGC50, ug/L

Hasil Rat Acute Toxicity

The screenshot shows the ChemSpider interface for a chemical structure. On the left, there are panels for 'Available structure attributes' and 'Structure diagram'. The main window displays 'Toxic Record' with a 'High (Class III)' classification. Below this, the 'Toxic explanation' section lists several Cramer rules, with rule Q01 highlighted: 'Normal constitution of the body No'. The chemical structure is shown as a skeletal formula.

Hasil prediksi Cramer Rules

The screenshot shows the ChemSpider interface for the same chemical structure. The 'Toxic Record' section indicates 'Substance would not be expected to be a safety concern' and 'Negligible risk (low probability of a life-time cancer risk greater than 1 in 10^4)'. The 'Toxic explanation' section lists various Kroes TTC rules, such as Q012 'Is the chemical an aflatoxin like, amyl-, or N-nitroso compound No' and Q013 'Does estimated intake exceed TTC of 0.15 ug/day? No'. The chemical structure is shown as a skeletal formula.

Hasil Kroes TTC



Available structure attributes

Cloner rules: High (Class III)

Error when applying the...: NO

For a better assessment...: NO

Does TTC decision tree...: heptagide risk (low proba...)

Does TTC decision tree...: Q38,Alkylgenotoxicity...

Negative for genotoxic...: NO

Negative for genotoxic...: YES

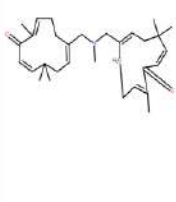
Potential S. typhimurium...: NO

Potential carcinogen base...: NO

QSAR 13 applicable? : NO

QSAR 6 applicable? : NO

Structure diagram



First Prev / / / Next Last

Toxic Hazard by Carcinogenicity (genotoxic and non-genotoxic) and mutagenicity rulebase by ISS

Estimate

Structural Alert for genotoxic carcinogenicity

Structural Alert for non-genotoxic carcinogenicity

Potential S. typhimurium TA100 mutagen based on QSAR

Unlikely to be a S. typhimurium TA100 mutagen based on QSAR

Verbose explanation

QSA21_gen Aliphatic N-nitro No O=C1C(C)=C=CC(C)(CN(C)C2=C(C)C(C)C=C(O)C(C)C=CC2)C=CC(C)C=C1
QSA24_gen alpha,beta unsaturated aldehyde No O=C1C(C)=C=CC(C)(CN(C)C2=C(C)C(C)C=C(O)C(C)C=CC2)C=CC(C)C=C1
QSA21_gen Aromatic nitroso group No O=C1C(C)=C=CC(C)(CN(C)C2=C(C)C(C)C=C(O)C(C)C=CC2)C=CC(C)C=C1
QSA16_gen Aromatic ring N-oxide No O=C1C(C)=C=CC(C)(CN(C)C2=C(C)C(C)C=C(O)C(C)C=CC2)C=CC(C)C=C1
QSA27_gen Nitro aromatic No O=C1C(C)=C=CC(C)(CN(C)C2=C(C)C(C)C=C(O)C(C)C=CC2)C=CC(C)C=C1
QSA26_gen Primary aromatic amine, hydroxyl amine and its derived esters (with restrictions) No O=C1C(C)=C=CC(C)(CN(C)C2=C(C)C(C)C=C(O)C(C)C=CC2)C=CC(C)C=C1
QSA128a_gen Aromatic mono- and dialkylamine No O=C1C(C)=C=CC(C)(CN(C)C2=C(C)C(C)C=C(O)C(C)C=CC2)C=CC(C)C=C1
QSA128b_gen Aromatic N-acyl amine No O=C1C(C)=C=CC(C)(CN(C)C2=C(C)C(C)C=C(O)C(C)C=CC2)C=CC(C)C=C1
QSA19_gen Aromatic diazo No O=C1C(C)=C=CC(C)(CN(C)C2=C(C)C(C)C=C(O)C(C)C=CC2)C=CC(C)C=C1
QSA10_gen Coumarins and Fluorocoumarins No O=C1C(C)=C=CC(C)(CN(C)C2=C(C)C(C)C=C(O)C(C)C=CC2)C=CC(C)C=C1
QSA37_gen Pyridothiazine Alkaloids No O=C1C(C)=C=CC(C)(CN(C)C2=C(C)C(C)C=C(O)C(C)C=CC2)C=CC(C)C=C1
QSA13_gen Alkylbenzenes No O=C1C(C)=C=CC(C)(CN(C)C2=C(C)C(C)C=C(O)C(C)C=CC2)C=CC(C)C=C1
QSA18_gen androgen Steroidal estrogens No O=C1C(C)=C=CC(C)(CN(C)C2=C(C)C(C)C=C(O)C(C)C=CC2)C=CC(C)C=C1
QGenotoxic alert? At least one alert for genotoxic carcinogenicity first? No Class [Logins for genotoxic carcinogenicity](#) O=C1C(C)=C=CC(C)(CN(C)C2=C(C)C(C)C=C(O)C(C)C=CC2)C=CC(C)C=C1
QQSAR13 applicable to alpha,beta unsaturated aldehyde No O=C1C(C)=C=CC(C)(CN(C)C2=C(C)C(C)C=C(O)C(C)C=CC2)C=CC(C)C=C1
QSA10_gen alpha,beta unsaturated carbonyl Yes Class [Structural Alert for genotoxic carcinogenicity](#) O=C1C(C)=C=CC(C)(CN(C)C2=C(C)C(C)C=C(O)C(C)C=CC2)C=CC(C)C=C1

Available structure attributes

Cloner rules: High (Class III)

Error when applying the...: NO

For a better assessment...: NO

Does TTC decision tree...: heptagide risk (low proba...)

Does TTC decision tree...: Q38,Alkylgenotoxicity...

Negative for genotoxic...: NO

Negative for genotoxic...: YES

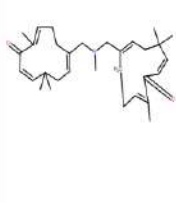
Potential S. typhimurium...: NO

Potential carcinogen base...: NO

QSAR 13 applicable? : NO

QSAR 6 applicable? : NO

Structure diagram



First Prev / / / Next Last

Toxic Hazard by Carcinogenicity (genotoxic and non-genotoxic) and mutagenicity rulebase by ISS

Estimate

For a better assessment a QSAR calculation could be applied.

Negative for genotoxic carcinogenicity

Negative for non-genotoxic carcinogenicity

Error when applying the decision tree

Verbose explanation

QSA21_gen Aliphatic N-nitro No O=C1C(C)=C=CC(C)(CN(C)C2=C(C)C(C)C=C(O)C(C)C=CC2)C=CC(C)C=C1
QSA24_gen alpha,beta unsaturated aldehyde No O=C1C(C)=C=CC(C)(CN(C)C2=C(C)C(C)C=C(O)C(C)C=CC2)C=CC(C)C=C1
QSA21_gen Aromatic nitroso group No O=C1C(C)=C=CC(C)(CN(C)C2=C(C)C(C)C=C(O)C(C)C=CC2)C=CC(C)C=C1
QSA16_gen Aromatic ring N-oxide No O=C1C(C)=C=CC(C)(CN(C)C2=C(C)C(C)C=C(O)C(C)C=CC2)C=CC(C)C=C1
QSA27_gen Nitro aromatic No O=C1C(C)=C=CC(C)(CN(C)C2=C(C)C(C)C=C(O)C(C)C=CC2)C=CC(C)C=C1
QSA26_gen Primary aromatic amine, hydroxyl amine and its derived esters (with restrictions) No O=C1C(C)=C=CC(C)(CN(C)C2=C(C)C(C)C=C(O)C(C)C=CC2)C=CC(C)C=C1
QSA128a_gen Aromatic mono- and dialkylamine No O=C1C(C)=C=CC(C)(CN(C)C2=C(C)C(C)C=C(O)C(C)C=CC2)C=CC(C)C=C1
QSA128b_gen Aromatic N-acyl amine No O=C1C(C)=C=CC(C)(CN(C)C2=C(C)C(C)C=C(O)C(C)C=CC2)C=CC(C)C=C1
QSA19_gen Aromatic diazo No O=C1C(C)=C=CC(C)(CN(C)C2=C(C)C(C)C=C(O)C(C)C=CC2)C=CC(C)C=C1
QSA10_gen Coumarins and Fluorocoumarins No O=C1C(C)=C=CC(C)(CN(C)C2=C(C)C(C)C=C(O)C(C)C=CC2)C=CC(C)C=C1
QSA37_gen Pyridothiazine Alkaloids No O=C1C(C)=C=CC(C)(CN(C)C2=C(C)C(C)C=C(O)C(C)C=CC2)C=CC(C)C=C1
QSA13_gen Alkylbenzenes No O=C1C(C)=C=CC(C)(CN(C)C2=C(C)C(C)C=C(O)C(C)C=CC2)C=CC(C)C=C1
QSA18_gen androgen Steroidal estrogens No O=C1C(C)=C=CC(C)(CN(C)C2=C(C)C(C)C=C(O)C(C)C=CC2)C=CC(C)C=C1
QGenotoxic alert? At least one alert for genotoxic carcinogenicity first? No Class [Logins for genotoxic carcinogenicity](#) O=C1C(C)=C=CC(C)(CN(C)C2=C(C)C(C)C=C(O)C(C)C=CC2)C=CC(C)C=C1
QQSAR13 applicable to alpha,beta unsaturated aldehyde No O=C1C(C)=C=CC(C)(CN(C)C2=C(C)C(C)C=C(O)C(C)C=CC2)C=CC(C)C=C1
QSA10_gen alpha,beta unsaturated carbonyl Yes Class [Structural Alert for genotoxic carcinogenicity](#) O=C1C(C)=C=CC(C)(CN(C)C2=C(C)C(C)C=C(O)C(C)C=CC2)C=CC(C)C=C1

Hasil Benigni Bossa Rulabase

Available structure attributes

Cloner rules: High (Class III)

Error when applying the...: NO

For a better assessment...: NO

Does TTC decision tree...: heptagide risk (low proba...)

Does TTC decision tree...: Q38,Alkylgenotoxicity...

Negative for genotoxic...: NO

Negative for genotoxic...: YES

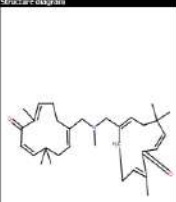
Potential S. typhimurium...: NO

Potential carcinogen base...: NO

QSAR 13 applicable? : NO

QSAR 6 applicable? : NO

Structure diagram



First Prev / / / Next Last

Toxic Hazard by Cytotoxicity (genotoxic and non-genotoxic) and mutagenicity rulebase by ISS

Estimate

SMARTCyp Rank1 sites

SMARTCyp Rank2 sites

SMARTCyp Rank3 sites

SMARTCyp Rank>=4 sites

Verbose explanation

Cytochrome P450 Modelled Drug Metabolism

Q1 SMARTCyp primary sites of metabolism Yes Class [SMARTCyp Rank1 sites](#) O=C1C(C)=C=CC(C)(CN(C)C2=C(C)C(C)C=C(O)C(C)C=CC2)C=CC(C)C=C1

Q2 SMARTCyp secondary sites of metabolism No

Q3 SMARTCyp tertiary sites of metabolism Yes Class [SMARTCyp Rank3 sites](#)

Q4 SMARTCyp sites of metabolism with Rank=1 Yes Class [SMARTCyp Rank=1 sites](#)

Hasil CYP450

d. Senyawa 4

Toxicity		
Rat Acute Toxicity	1.7292	LD50, mol/kg
Fish Toxicity	1.0011	pLC50, mg/L
Tetrahymena Pyriformis Toxicity	0.8841	pIGC50, ug/L

Hasil Rat Acute Toxicity

The screenshot shows the ChemSpider interface with the chemical structure of a bicyclic compound. The 'Toxic Hazard' section is set to 'Cramer rules'. The assessment results are as follows:

- Low (Class I):** Indicated by a green bar.
- High (Class III):** Indicated by a yellow bar.

The 'Cramer rules' list includes:

- Q1: Normal constituent of the body **No** O=C1C(C)=C(C)C(C)C(C)C=C1
- Q2: Contains functional groups associated with enhanced toxicity **No** O=C1C(C)=C(C)C(C)C(C)C=C1
- Q3: Contains elements other than C,H,O,N,S and P **No** O=C1C(C)=C(C)C(C)C(C)C=C1
- Q4: Simply branched aliphatic hydrocarbon of a common carbohydrate **No** O=C1C(C)=C(C)C(C)C(C)C=C1
- Q5: Benzene derivative with certain substituents **No** O=C1C(C)=C(C)C(C)C(C)C=C1
- Q6: Five-membered ring **No** O=C1C(C)=C(C)C(C)C(C)C=C1
- Q7: Six-membered ring **No** O=C1C(C)=C(C)C(C)C(C)C=C1
- Q8: Contains nitrogen **No** O=C1C(C)=C(C)C(C)C(C)C=C1
- Q9: Readily hydrolyzed to a common impurity **No** O=C1C(C)=C(C)C(C)C(C)C=C1
- Q10: Open class **No** O=C1C(C)=C(C)C(C)C(C)C=C1
- Q11: Aromatic **No** O=C1C(C)=C(C)C(C)C(C)C=C1
- Q12: Mass carbocyclic with simple substituents **No** O=C1C(C)=C(C)C(C)C(C)C=C1
- Q13: Cyclopropane, etc. (see explanation) **No** O=C1C(C)=C(C)C(C)C(C)C=C1
- Q14: Monocyclic ketone or a bicyclic compound **Yes (Class I)** O=C1C(C)=C(C)C(C)C(C)C=C1

Hasil prediksi Cramer Rules

The screenshot shows the ChemSpider interface with the same chemical structure. The 'Toxic Hazard' section is set to 'Kroes TTC decision tree'. The assessment results are as follows:

- Substance would not be expected to be a safety concern:** Indicated by a green bar.
- Releasable risk (low probability of a life-time cancer risk greater than 1 in 10⁶):** Indicated by a yellow bar.

The 'Kroes TTC decision tree' list includes:

- Q5A12_gen: Acids and amine groups **No** O=C1C(C)=C(C)C(C)C(C)C=C1
- Q5A13_gen: Aliphatic N-nitro **No** O=C1C(C)=C(C)C(C)C(C)C=C1
- Q5A14_gen: Aromatic nitro **No** O=C1C(C)=C(C)C(C)C(C)C=C1
- Q5A15_gen: Aromatic nitro group **No** O=C1C(C)=C(C)C(C)C(C)C=C1
- Q5A16_gen: Aromatic ring N-nitro **No** O=C1C(C)=C(C)C(C)C(C)C=C1
- Q5A17_gen: Nitro aromatic **No** O=C1C(C)=C(C)C(C)C(C)C=C1
- Q5A18_gen: Primary aromatic amine, hydroxyl amine and its derived esters (with restrictions) **No** O=C1C(C)=C(C)C(C)C(C)C=C1
- Q5A19_gen: Aromatic azoxy- and diazo- **No** O=C1C(C)=C(C)C(C)C(C)C=C1
- Q5A20_gen: Aromatic N-acyl amine **No** O=C1C(C)=C(C)C(C)C(C)C=C1
- Q5A21_gen: Aromatic ether **No** O=C1C(C)=C(C)C(C)C(C)C=C1
- Q5A22_gen: Carboxylic acids and Pseudoacids **No** O=C1C(C)=C(C)C(C)C(C)C=C1
- Q5A23_gen: Phenylamine Alkaloids **No** O=C1C(C)=C(C)C(C)C(C)C=C1
- Q5A24_gen: Aldehydes **No** O=C1C(C)=C(C)C(C)C(C)C=C1
- Q5A25_gen: and sugar Steroid sterols **No** O=C1C(C)=C(C)C(C)C(C)C=C1
- Q2: Are there structural alerts that raise concern for general reactivity? **Yes** O=C1C(C)=C(C)C(C)C(C)C=C1
- Q3: Is the chemical an alpha,beta-unsat-, or N-oxide compound? **No** O=C1C(C)=C(C)C(C)C(C)C=C1
- Q4: Does estimated intake exceed TTC of 0.15 µg/day? **No (Class I)** O=C1C(C)=C(C)C(C)C(C)C=C1

Hasil Kroes TTC

Chemical Identifier O=C1C(C)=CC(C)C(=O)C(C)C=C1

Available structure attributes

- Error when applying the... NO
- For a better assessment... NO
- Negative for genotoxic... NO
- Negative for non-genotoxic... YES
- Potentiated by typhimurium... NO
- Potential carcinogen base... NO
- QSAR13 applicable? NO
- QSAR16 applicable? NO
- SA11_gen YES
- SA12_gen NO

Structure diagram

First Prev / / Next Last

Toxic Hazard by Genotoxicity (genotoxic and non-genotoxic) and mutagenicity (release by ISS)

Estimate

Structural Alert for genotoxic carcinogenicity

Structural Alert for non-genotoxic carcinogenicity

Potential 5, typhimurium TA980 mutagen based on QSAR

Likely to be a 5, typhimurium TA980 mutagen based on QSAR

Verbose explanation

- QSAR11_nogen substituted alpha-carboxylic acids No O=C1C(C)=CC(C)C(=O)C(C)C=C1
- QSAR12_nogen phthalate diesters and monoesters No O=C1C(C)=CC(C)C(=O)C(C)C=C1
- QSAR13_nogen Perfluorooctanoic acid (PFOA) No O=C1C(C)=CC(C)C(=O)C(C)C=C1
- QSAR14_nogen Trichloro (or fluoro) ethylene and Tetrachloro (or fluoro) ethylene No O=C1C(C)=CC(C)C(=O)C(C)C=C1
- QSAR15_nogen indole-3-carbonyl No O=C1C(C)=CC(C)C(=O)C(C)C=C1
- QSAR16_nogen pentachlorophenyl No O=C1C(C)=CC(C)C(=O)C(C)C=C1
- QSAR17_nogen p-phenylphenyl No O=C1C(C)=CC(C)C(=O)C(C)C=C1
- QSAR18_nogen quercetin-type flavonoids No O=C1C(C)=CC(C)C(=O)C(C)C=C1
- QSAR19_nogen imidazole and benzimidazole No O=C1C(C)=CC(C)C(=O)C(C)C=C1
- QSAR20_nogen dicarbonyl No O=C1C(C)=CC(C)C(=O)C(C)C=C1
- QSAR21_nogen dimethylpyridine No O=C1C(C)=CC(C)C(=O)C(C)C=C1
- QSAR22_nogen Metals, oxidative stress No O=C1C(C)=CC(C)C(=O)C(C)C=C1
- QSAR23_nogen Benzimidazole ethers No O=C1C(C)=CC(C)C(=O)C(C)C=C1
- QSAR24_nogen 1,3-Benzodioxoles No O=C1C(C)=CC(C)C(=O)C(C)C=C1
- QSAR25_nogen Phenyl herbicides No O=C1C(C)=CC(C)C(=O)C(C)C=C1
- QSAR26_nogen allyl halides No O=C1C(C)=CC(C)C(=O)C(C)C=C1
- QNongenotoxic alert? At least one alert for non-genotoxic carcinogenicity fired! No Class [Signale for non-genotoxic carcinogenicity](#) O=C1C(C)=CC(C)C(=O)C(C)C=C1

Go to Settings to activate Windows

Chemical Identifier O=C1C(C)=CC(C)C(=O)C(C)C=C1

Available structure attributes

- Error when applying the... NO
- For a better assessment... NO
- Negative for genotoxic... NO
- Negative for non-genotoxic... YES
- Potentiated by typhimurium... NO
- Potential carcinogen base... NO
- QSAR13 applicable? NO
- QSAR16 applicable? NO
- SA11_gen YES
- SA12_gen NO

Structure diagram

First Prev / / Next Last

Toxic Hazard by Genotoxicity (genotoxic and non-genotoxic) and mutagenicity (release by ISS)

Estimate

For a better assessment a QSAR calculation could be applied.

Negative for genotoxic carcinogenicity

Negative for non-genotoxic carcinogenicity

Error when applying the decision tree

Verbose explanation

- QSAR11_nogen substituted alpha-carboxylic acids No O=C1C(C)=CC(C)C(=O)C(C)C=C1
- QSAR12_nogen phthalate diesters and monoesters No O=C1C(C)=CC(C)C(=O)C(C)C=C1
- QSAR13_nogen Perfluorooctanoic acid (PFOA) No O=C1C(C)=CC(C)C(=O)C(C)C=C1
- QSAR14_nogen Trichloro (or fluoro) ethylene and Tetrachloro (or fluoro) ethylene No O=C1C(C)=CC(C)C(=O)C(C)C=C1
- QSAR15_nogen indole-3-carbonyl No O=C1C(C)=CC(C)C(=O)C(C)C=C1
- QSAR16_nogen pentachlorophenyl No O=C1C(C)=CC(C)C(=O)C(C)C=C1
- QSAR17_nogen p-phenylphenyl No O=C1C(C)=CC(C)C(=O)C(C)C=C1
- QSAR18_nogen quercetin-type flavonoids No O=C1C(C)=CC(C)C(=O)C(C)C=C1
- QSAR19_nogen imidazole and benzimidazole No O=C1C(C)=CC(C)C(=O)C(C)C=C1
- QSAR20_nogen dicarbonyl No O=C1C(C)=CC(C)C(=O)C(C)C=C1
- QSAR21_nogen dimethylpyridine No O=C1C(C)=CC(C)C(=O)C(C)C=C1
- QSAR22_nogen Metals, oxidative stress No O=C1C(C)=CC(C)C(=O)C(C)C=C1
- QSAR23_nogen Benzimidazole ethers No O=C1C(C)=CC(C)C(=O)C(C)C=C1
- QSAR24_nogen 1,3-Benzodioxoles No O=C1C(C)=CC(C)C(=O)C(C)C=C1
- QSAR25_nogen Phenyl herbicides No O=C1C(C)=CC(C)C(=O)C(C)C=C1
- QSAR26_nogen allyl halides No O=C1C(C)=CC(C)C(=O)C(C)C=C1
- QNongenotoxic alert? At least one alert for non-genotoxic carcinogenicity fired! No Class [Signale for non-genotoxic carcinogenicity](#) O=C1C(C)=CC(C)C(=O)C(C)C=C1

Go to Settings to activate Windows

Hasil Benigni Bossa Rulabase

Chemical Identifier O=C1C(C)=CC(C)C(=O)C(C)C=C1

Available structure attributes

- Error when applying the... NO
- For a better assessment... NO
- Negative for genotoxic... NO
- Negative for non-genotoxic... YES
- Potentiated by typhimurium... NO
- Potential carcinogen base... NO
- QSAR13 applicable? NO
- QSAR16 applicable? NO
- SA11_gen YES
- SA12_gen NO

Structure diagram

First Prev / / Next Last

Toxic Hazard by Cytochrome P450-Mediated Drug Metabolism

Estimate

SMARTCyp Rank=1 sites

SMARTCyp Rank=2 sites

SMARTCyp Rank=3 sites

SMARTCyp Rank=4 sites

Verbose explanation

Cytochrome P450-Mediated Drug Metabolism

- Q1.SMARTCyp primary sites of metabolism Yes Class [SMARTCyp Rank=1 sites](#) O=C1C(C)=CC(C)C(=O)C(C)C=C1
- Q2.SMARTCyp secondary sites of metabolism No
- Q3.SMARTCyp tertiary sites of metabolism Yes Class [SMARTCyp Rank=3 sites](#)
- Q4.SMARTCyp sites of metabolism with Rank=1 Yes Class [SMARTCyp Rank=1 sites](#)

Activate Windows
Go to Settings to activate Windows

Hasil CYP450

e. Senyawa 5

Toxicity		
Rat Acute Toxicity	1.8030	LD50, mol/kg
Fish Toxicity	0.0602	pLC50, mg/L
Tetrahymena Pyriformis Toxicity	1.3446	pIGC50, ug/L

Hasil Rat Acute Toxicity

The screenshot shows the ChemSpider interface for a chemical structure. The 'Toxic Hazard' section is highlighted in green, indicating a 'Low (Class I)' hazard. The 'Cramer rules' section is also visible, showing a list of rules (Q1-Q26) that have been evaluated for this compound. The structure diagram shows a complex organic molecule with a long chain and a ring system.

Hasil prediksi Cramer Rules

The screenshot shows the ChemSpider interface for the same chemical structure. The 'Toxic Hazard' section is highlighted in green, indicating a 'Negligible risk (low probability of a life-time cancer risk greater than 1 in 10^6)'. The 'Kroes TTC decision tree' section is also visible, showing a list of rules (Q5412-Q5419) that have been evaluated for this compound. The structure diagram is the same as in the previous screenshot.

Hasil Kroes TTC

Chemical identifier O=C(O)C(=O)C(O)C=C(O)C(O)C=CC1=CC=CC=C1

Available structure attributes

Chemical rules	Intermediate (Class 1)
Error when applying the...	NO
For a better assessment...	NO
From TTC decision tree...	Negative risk (low proba...
From TTC decision tree...	QSA16 (genotoxic?)
Negative for genotoxic...	NO
Negative for nongenoto...	YES
Potential S. typhimurium...	NO
Potential carcinogen bas...	NO
QSAR ID applicable?	NO
QSAR5.8 applicable?	NO

Structure diagram

Text-based

by Carcinogenicity (genotoxic and nongenotoxic) and mutagenicity evidence by ISS

Structural Alert for genotoxic carcinogenicity

Structural Alert for nongenotoxic carcinogenicity

Potential S. typhimurium TA100 mutagen based on QSAR

Indefinite to be a S. typhimurium TA100 mutagen based on QSAR

Webbox explanation

- QSA41_nogen substituted n-alkylcarboxylic acids No O=C(O)C(=O)C(O)C=C(O)C(O)C=CC1=CC=CC=C1
- QSA42_nogen phthalate esters and monoesters No O=C(O)C(=O)C(O)C=C(O)C(O)C=CC1=CC=CC=C1
- QSA43_nogen Perfluorooctanoic acid (PFOA) No O=C(O)C(=O)C(O)C=C(O)C(O)C=CC1=CC=CC=C1
- QSA44_nogen Trichloro (or fluoro) ethylene and Tetrachloro (or fluoro) ethylene No O=C(O)C(=O)C(O)C=C(O)C(O)C=CC1=CC=CC=C1
- QSA45_nogen middle-3-carbon No O=C(O)C(=O)C(O)C=C(O)C(O)C=CC1=CC=CC=C1
- QSA46_nogen penta-chlorophthal No O=C(O)C(=O)C(O)C=C(O)C(O)C=CC1=CC=CC=C1
- QSA47_nogen o-phthalophthal No O=C(O)C(=O)C(O)C=C(O)C(O)C=CC1=CC=CC=C1
- QSA48_nogen quercetin-type flavonoids No O=C(O)C(=O)C(O)C=C(O)C(O)C=CC1=CC=CC=C1
- QSA49_nogen malonic acid and benzoic acid No O=C(O)C(=O)C(O)C=C(O)C(O)C=CC1=CC=CC=C1
- QSA50_nogen dicarboximide No O=C(O)C(=O)C(O)C=C(O)C(O)C=CC1=CC=CC=C1
- QSA51_nogen dimethylpyridine No O=C(O)C(=O)C(O)C=C(O)C(O)C=CC1=CC=CC=C1
- QSA52_nogen Metals oxidative stress No O=C(O)C(=O)C(O)C=C(O)C(O)C=CC1=CC=CC=C1
- QSA53_nogen Benzimidazole ethers No O=C(O)C(=O)C(O)C=C(O)C(O)C=CC1=CC=CC=C1
- QSA54_nogen L3-Benzimidazoles No O=C(O)C(=O)C(O)C=C(O)C(O)C=CC1=CC=CC=C1
- QSA55_nogen Phenoxy herbicides No O=C(O)C(=O)C(O)C=C(O)C(O)C=CC1=CC=CC=C1
- QSA56_nogen alkyl halides No O=C(O)C(=O)C(O)C=C(O)C(O)C=CC1=CC=CC=C1
- QNongenotoxic alert? At least one alert for nongenotoxic carcinogenicity fired? No Class [Negative for nongenotoxic carcinogenicity](#) O=C(O)C(=O)C(O)C=C(O)C(O)C=CC1=CC=CC=C1

Chemical identifier O=C(O)C(=O)C(O)C=C(O)C(O)C=CC1=CC=CC=C1

Available structure attributes

Chemical rules	Intermediate (Class 1)
Error when applying the...	NO
For a better assessment...	NO
From TTC decision tree...	Negative risk (low proba...
From TTC decision tree...	QSA16 (genotoxic?)
Negative for genotoxic...	NO
Negative for nongenoto...	YES
Potential S. typhimurium...	NO
Potential carcinogen bas...	NO
QSAR ID applicable?	NO
QSAR5.8 applicable?	NO

Structure diagram

Text-based

by Carcinogenicity (genotoxic and nongenotoxic) and mutagenicity evidence by ISS

For a better assessment a QSAR evaluation could be applied.

Negative for genotoxic carcinogenicity

Negative for nongenotoxic carcinogenicity

Error when applying the decision tree

Webbox explanation

- QSA41_nogen substituted n-alkylcarboxylic acids No O=C(O)C(=O)C(O)C=C(O)C(O)C=CC1=CC=CC=C1
- QSA42_nogen phthalate esters and monoesters No O=C(O)C(=O)C(O)C=C(O)C(O)C=CC1=CC=CC=C1
- QSA43_nogen Perfluorooctanoic acid (PFOA) No O=C(O)C(=O)C(O)C=C(O)C(O)C=CC1=CC=CC=C1
- QSA44_nogen Trichloro (or fluoro) ethylene and Tetrachloro (or fluoro) ethylene No O=C(O)C(=O)C(O)C=C(O)C(O)C=CC1=CC=CC=C1
- QSA45_nogen middle-3-carbon No O=C(O)C(=O)C(O)C=C(O)C(O)C=CC1=CC=CC=C1
- QSA46_nogen penta-chlorophthal No O=C(O)C(=O)C(O)C=C(O)C(O)C=CC1=CC=CC=C1
- QSA47_nogen o-phthalophthal No O=C(O)C(=O)C(O)C=C(O)C(O)C=CC1=CC=CC=C1
- QSA48_nogen quercetin-type flavonoids No O=C(O)C(=O)C(O)C=C(O)C(O)C=CC1=CC=CC=C1
- QSA49_nogen malonic acid and benzoic acid No O=C(O)C(=O)C(O)C=C(O)C(O)C=CC1=CC=CC=C1
- QSA50_nogen dicarboximide No O=C(O)C(=O)C(O)C=C(O)C(O)C=CC1=CC=CC=C1
- QSA51_nogen dimethylpyridine No O=C(O)C(=O)C(O)C=C(O)C(O)C=CC1=CC=CC=C1
- QSA52_nogen Metals oxidative stress No O=C(O)C(=O)C(O)C=C(O)C(O)C=CC1=CC=CC=C1
- QSA53_nogen Benzimidazole ethers No O=C(O)C(=O)C(O)C=C(O)C(O)C=CC1=CC=CC=C1
- QSA54_nogen L3-Benzimidazoles No O=C(O)C(=O)C(O)C=C(O)C(O)C=CC1=CC=CC=C1
- QSA55_nogen Phenoxy herbicides No O=C(O)C(=O)C(O)C=C(O)C(O)C=CC1=CC=CC=C1
- QSA56_nogen alkyl halides No O=C(O)C(=O)C(O)C=C(O)C(O)C=CC1=CC=CC=C1
- QNongenotoxic alert? At least one alert for nongenotoxic carcinogenicity fired? No Class [Negative for nongenotoxic carcinogenicity](#) O=C(O)C(=O)C(O)C=C(O)C(O)C=CC1=CC=CC=C1

Hasil Benigni Bossa Rulabase

Chemical identifier O=C(O)C(=O)C(O)C=C(O)C(O)C=CC1=CC=CC=C1

Available structure attributes

Chemical rules	Intermediate (Class 1)
Error when applying the...	NO
For a better assessment...	NO
From TTC decision tree...	Negative risk (low proba...
From TTC decision tree...	QSA16 (genotoxic?)
Negative for genotoxic...	NO
Negative for nongenoto...	YES
Potential S. typhimurium...	NO
Potential carcinogen bas...	NO
QSAR ID applicable?	NO
QSAR5.8 applicable?	NO

Structure diagram

Text-based

by Cytochrome P450-Mediated Drug Metabolism

Estimate

SHMET1 (cyto) Rank=1 sites

SHMET2 (cyto) Rank=2 sites

SHMET3 (cyto) Rank=3 sites

SHMET4 (cyto) Rank=4 sites

Webbox explanation

Cytochrome P450-Mediated Drug Metabolism

- Q1_SSHMET1 (cyto) primary sites of metabolism Yes Class [SHMET1 \(cyto\) Rank=1 sites](#) O=C(O)C(=O)C(O)C=C(O)C(O)C=CC1=CC=CC=C1
- Q1_SSHMET2 (cyto) secondary sites of metabolism Yes Class [SHMET2 \(cyto\) Rank=2 sites](#)
- Q3_SSHMET3 (cyto) tertiary sites of metabolism Yes Class [SHMET3 \(cyto\) Rank=3 sites](#)
- Q4_SSHMET4 (cyto) sites of metabolism with Rank=4 Yes Class [SHMET4 \(cyto\) Rank=4 sites](#)

Hasil CYP450

Chemical identifier: O=C1C=CC(=O)C=C(C)C1C(=O)C(=O)C

Available structure attributes

Chem name	High Alert (H)
Stop when applying the...	NO
For a better assessment...	NO
Uses TTC decision tree	HighAlert (H) (low proba...
Uses TTC decision tree	CO (Alert/gerontoxi...
Negative for gerontoxi...	NO
Negative for nongeront...	YES
Potent S. typhimurium...	NO
Potent carcinogen bas...	NO
QSAR 1 applicable?	NO
QSAR 2 applicable?	NO

Structure diagram

First Prev 1 / 1 Next Last

Toxic Hazard

By Carcinogenicity (quantal and nonquantal) and mutagenicity released by IARC

Structural Alert for genotoxic carcinogenicity

Structural Alert for nongenotoxic carcinogenicity

Potent S. typhimurium TA98 mutagen based on QSAR

likely to be a S. typhimurium TA100 mutagen based on QSAR

Verbose explanation

- QSAR1_nagen substituted o-alkylcarboxylic acids No O=C([O-])=CC(C)1=C(C)C(C)C=C(O)C1C=C(C)C
- QSAR1_nagen phthalate diesters and monoesters No O=C([O-])=CC(C)1=C(C)C(C)C=C(O)C1C=C(C)C
- QSAR1_nagen Perfluorooctanoic acid (PFOA) No O=C([O-])=CC(C)1=C(C)C(C)C=C(O)C1C=C(C)C
- QSAR1_nagen Troliceno (or flavon) ethylene and Tenachloro (or flavon) ethylene No O=C([O-])=CC(C)1=C(C)C(C)C=C(O)C1C=C(C)C
- QSAR1_nagen nitro-3-carbonyl No O=C([O-])=CC(C)1=C(C)C(C)C=C(O)C1C=C(C)C
- QSAR1_nagen o-phenylphenol No O=C([O-])=CC(C)1=C(C)C(C)C=C(O)C1C=C(C)C
- QSAR1_nagen quercetin-type flavonoids No O=C([O-])=CC(C)1=C(C)C(C)C=C(O)C1C=C(C)C
- QSAR1_nagen imidazole and benzimidazole No O=C([O-])=CC(C)1=C(C)C(C)C=C(O)C1C=C(C)C
- QSAR1_nagen dihydroquinone No O=C([O-])=CC(C)1=C(C)C(C)C=C(O)C1C=C(C)C
- QSAR1_nagen dihydroxyacetone No O=C([O-])=CC(C)1=C(C)C(C)C=C(O)C1C=C(C)C
- QSAR1_nagen Metals oxidative stress No O=C([O-])=CC(C)1=C(C)C(C)C=C(O)C1C=C(C)C
- QSAR1_nagen Benzimidazole ethers No O=C([O-])=CC(C)1=C(C)C(C)C=C(O)C1C=C(C)C
- QSAR1_nagen 1,3-Benzodioxoles No O=C([O-])=CC(C)1=C(C)C(C)C=C(O)C1C=C(C)C
- QSAR1_nagen Phenacyl ketohydrals No O=C([O-])=CC(C)1=C(C)C(C)C=C(O)C1C=C(C)C
- QSAR1_nagen allyl halides No O=C([O-])=CC(C)1=C(C)C(C)C=C(O)C1C=C(C)C
- Nongenotoxic alert? At least one alert for nongenotoxic carcinogenicity fired? No Class [Negative for nongenotoxic carcinogenicity](#) O=C([O-])=CC(C)1=C(C)C(C)C=C(O)C1C=C(C)C

Go to Settings to activate Windows

Chemical identifier: O=C1C=CC(=O)C=C(C)C1C(=O)C(=O)C

Available structure attributes

Chem name	High Alert (H)
Stop when applying the...	NO
For a better assessment...	NO
Uses TTC decision tree	HighAlert (H) (low proba...
Uses TTC decision tree	CO (Alert/gerontoxi...
Negative for gerontoxi...	NO
Negative for nongeront...	YES
Potent S. typhimurium...	NO
Potent carcinogen bas...	NO
QSAR 1 applicable?	NO
QSAR 2 applicable?	NO

Structure diagram

First Prev 1 / 1 Next Last

Toxic Hazard

By Carcinogenicity (quantal and nonquantal) and mutagenicity released by IARC

Structural Alert for genotoxic carcinogenicity

Structural Alert for nongenotoxic carcinogenicity

Error when applying the decision tree

Verbose explanation

- QSAR1_nagen substituted o-alkylcarboxylic acids No O=C([O-])=CC(C)1=C(C)C(C)C=C(O)C1C=C(C)C
- QSAR1_nagen phthalate diesters and monoesters No O=C([O-])=CC(C)1=C(C)C(C)C=C(O)C1C=C(C)C
- QSAR1_nagen Perfluorooctanoic acid (PFOA) No O=C([O-])=CC(C)1=C(C)C(C)C=C(O)C1C=C(C)C
- QSAR1_nagen Troliceno (or flavon) ethylene and Tenachloro (or flavon) ethylene No O=C([O-])=CC(C)1=C(C)C(C)C=C(O)C1C=C(C)C
- QSAR1_nagen nitro-3-carbonyl No O=C([O-])=CC(C)1=C(C)C(C)C=C(O)C1C=C(C)C
- QSAR1_nagen o-phenylphenol No O=C([O-])=CC(C)1=C(C)C(C)C=C(O)C1C=C(C)C
- QSAR1_nagen quercetin-type flavonoids No O=C([O-])=CC(C)1=C(C)C(C)C=C(O)C1C=C(C)C
- QSAR1_nagen imidazole and benzimidazole No O=C([O-])=CC(C)1=C(C)C(C)C=C(O)C1C=C(C)C
- QSAR1_nagen dihydroquinone No O=C([O-])=CC(C)1=C(C)C(C)C=C(O)C1C=C(C)C
- QSAR1_nagen dihydroxyacetone No O=C([O-])=CC(C)1=C(C)C(C)C=C(O)C1C=C(C)C
- QSAR1_nagen Metals oxidative stress No O=C([O-])=CC(C)1=C(C)C(C)C=C(O)C1C=C(C)C
- QSAR1_nagen Benzimidazole ethers No O=C([O-])=CC(C)1=C(C)C(C)C=C(O)C1C=C(C)C
- QSAR1_nagen 1,3-Benzodioxoles No O=C([O-])=CC(C)1=C(C)C(C)C=C(O)C1C=C(C)C
- QSAR1_nagen Phenacyl ketohydrals No O=C([O-])=CC(C)1=C(C)C(C)C=C(O)C1C=C(C)C
- QSAR1_nagen allyl halides No O=C([O-])=CC(C)1=C(C)C(C)C=C(O)C1C=C(C)C
- Nongenotoxic alert? At least one alert for nongenotoxic carcinogenicity fired? No Class [Negative for nongenotoxic carcinogenicity](#) O=C([O-])=CC(C)1=C(C)C(C)C=C(O)C1C=C(C)C

Go to Settings to activate Windows

Hasil Benigni Bossa Rulabase

UNIVERSITAS ISI AM NEGERI

Chemical identifier: O=C1C=CC(=O)C=C(C)C1C(=O)C(=O)C

Available structure attributes

SMARTyp Rank1.Access	0.8262
SMARTyp Rank1.Chemgy	32.4000
SMARTyp Rank1.React	Benzimidazole
SMARTyp Rank1.PHREG	[C-]([O-])[C-]([O-])
SMARTyp Rank1.Score	49.8745
SMARTyp Rank1.Sim	1.0
SMARTyp Rank2.Access	0.7272
SMARTyp Rank2.Chemgy	32.4000
SMARTyp Rank2.React	Ene-reaction
SMARTyp Rank2.PHREG	[C-]([O-])[C-]([O-])
SMARTyp Rank2.Score	46.3516

Structure diagram

First Prev 1 / 1 Next Last

Toxic Hazard

By Cytochrome P450-Mediated Drug-Hetabolism

SMARTyp Rank3.Alert

SMARTyp Rank4.Alert

SMARTyp Rank5.Alert

SMARTyp Rank6>=4.Alert

Verbose explanation

Cytochrome P450-Mediated Drug-Hetabolism

- Q1 SMARTyp primary sites of metabolism Yes Class [SMARTyp Rank1.Alert](#) O=C([O-])=CC(C)1=C(C)C(C)C=C(O)C1C=C(C)C
- Q2 SMARTyp secondary sites of metabolism Yes Class [SMARTyp Rank2.Alert](#)
- Q3 SMARTyp tertiary sites of metabolism Yes Class [SMARTyp Rank3.Alert](#)
- Q4 SMARTyp sites of metabolism with Rank=>4 Yes Class [SMARTyp Rank4=4.Alert](#)

Activate Windows
Go to Settings to activate Windows

Hasil CYP450

g. Senyawa 7

Toxicity		
Rat Acute Toxicity	1.9187	LD50, mol/kg
Fish Toxicity	0.3469	pLC50, mg/L
Tetrahymena Pyriformis Toxicity	1.3221	pIGC50, ug/L

Hasil Rat Acute Toxicity

The screenshot shows the ChemSpider interface with the chemical structure of a long-chain hydrocarbon derivative. The 'Toxic Hazard' section is set to 'by Cramer rules'. The prediction is 'Low (Class I)'. A list of 23 Cramer rules is displayed, with rule Q13 being the most relevant: 'This sufficient number of sulphone or sulphonate groups No. Class 3 (see Class III)'. The chemical structure is shown as a ball-and-stick model.

Hasil prediksi Cramer Rules

The screenshot shows the ChemSpider interface with the same chemical structure. The 'Toxic Hazard' section is set to 'by Kroes TTC decision tree'. The prediction is 'Substance would not be expected to be a safety concern'. A message states: 'Predictable risk: The probability of a life-time cancer risk greater than 1 in 10^4'. A list of 20 rules is shown, with rule Q01 being the most relevant: 'Are there structural alerts that raise concern for potential genotoxicity? Yes'. The chemical structure is shown as a ball-and-stick model.

Hasil Kroes TTC

Chemical identifier: O=C1C=CC(=O)C=C1C=CC(=O)C=C1C=CC(=O)C=C1

Available structure attributes

- Control rules: High (Class III)
- Error when applying the...: NO
- For a better assessment...: NO
- Worst TTC decision tree: Negligible risk (low proba...)
- Worst TTC decision tree: QJALeR[genotoxicity]...
- Negative for genotoxic...: NO
- Negative for nongenoto...: YES
- Potential S. typhimurium...: NO
- Potential carcinogen bas...: NO
- QSAR1 applicable?: NO
- QSAR5 applicable?: NO

Structure diagram

Toxic Hazard
by Carcinogenicity (genotoxic and nongenotoxic) and mutagenicity release by ISS

Structural Alert for genotoxic carcinogenicity

Structural Alert for nongenotoxic carcinogenicity

Potential S. typhimurium TA100 mutagen based on QSAR

Unlikely to be a S. typhimurium TA100 mutagen based on QSAR

verbose explanation

- QSAR1_nagen_substituted-o-alkylcarboxylic acids No O=C1C=CC(=O)C=C1C=CC(=O)C=C1C=CC(=O)C=C1
- QSAR2_nagen_phthalate diesters and monoesters No O=C1C=CC(=O)C=C1C=CC(=O)C=C1C=CC(=O)C=C1
- QSAR3_nagen_Perfluorooctanoic acid (PFOA) No O=C1C=CC(=O)C=C1C=CC(=O)C=C1C=CC(=O)C=C1
- QSAR4_nagen_Trichloro (or fluoro) ethylene and Tetrachloro (or fluoro) ethylene No O=C1C=CC(=O)C=C1C=CC(=O)C=C1C=CC(=O)C=C1
- QSAR5_nagen_methyle-3-carbonyl No O=C1C=CC(=O)C=C1C=CC(=O)C=C1C=CC(=O)C=C1
- QSAR6_nagen_penta-chlorophenol No O=C1C=CC(=O)C=C1C=CC(=O)C=C1C=CC(=O)C=C1
- QSAR7_nagen_o-phenylphenol No O=C1C=CC(=O)C=C1C=CC(=O)C=C1C=CC(=O)C=C1
- QSAR8_nagen_quartern-type flavonoids No O=C1C=CC(=O)C=C1C=CC(=O)C=C1C=CC(=O)C=C1
- QSAR9_nagen_misamide and benzimidazole No O=C1C=CC(=O)C=C1C=CC(=O)C=C1C=CC(=O)C=C1
- QSAR10_nagen_diacetamide No O=C1C=CC(=O)C=C1C=CC(=O)C=C1C=CC(=O)C=C1
- QSAR11_nagen_dimethylpyridine No O=C1C=CC(=O)C=C1C=CC(=O)C=C1C=CC(=O)C=C1
- QSAR12_nagen_Merits oxidative stress No O=C1C=CC(=O)C=C1C=CC(=O)C=C1C=CC(=O)C=C1
- QSAR13_nagen_Benzimidazole/urea others No O=C1C=CC(=O)C=C1C=CC(=O)C=C1C=CC(=O)C=C1
- QSAR14_nagen_1,3-Benzoxazolones No O=C1C=CC(=O)C=C1C=CC(=O)C=C1C=CC(=O)C=C1
- QSAR15_nagen_Phenoxy herbicides No O=C1C=CC(=O)C=C1C=CC(=O)C=C1C=CC(=O)C=C1
- QSAR16_nagen_allyl halides No O=C1C=CC(=O)C=C1C=CC(=O)C=C1C=CC(=O)C=C1
- Q[nongenotoxic alert]: At least one alert for nongenotoxic carcinogenicity fired? No Class **Negative for genotoxic carcinogenicity** O=C1C=CC(=O)C=C1C=CC(=O)C=C1C=CC(=O)C=C1

Go to Settings to activate Windows

Chemical identifier: O=C1C=CC(=O)C=C1C=CC(=O)C=C1C=CC(=O)C=C1

Available structure attributes

- Control rules: High (Class III)
- Error when applying the...: NO
- For a better assessment...: NO
- Worst TTC decision tree: Negligible risk (low proba...)
- Worst TTC decision tree: QJALeR[genotoxicity]...
- Negative for genotoxic...: NO
- Negative for nongenoto...: YES
- Potential S. typhimurium...: NO
- Potential carcinogen bas...: NO
- QSAR1 applicable?: NO
- QSAR5 applicable?: NO

Structure diagram

Toxic Hazard
by Carcinogenicity (genotoxic and nongenotoxic) and mutagenicity release by ISS

For a better assessment a QSAR calculation could be applied

Negative for genotoxic carcinogenicity

Negative for nongenotoxic carcinogenicity

Error when applying the decision tree

verbose explanation

- QSAR1_nagen_substituted-o-alkylcarboxylic acids No O=C1C=CC(=O)C=C1C=CC(=O)C=C1C=CC(=O)C=C1
- QSAR2_nagen_phthalate diesters and monoesters No O=C1C=CC(=O)C=C1C=CC(=O)C=C1C=CC(=O)C=C1
- QSAR3_nagen_Perfluorooctanoic acid (PFOA) No O=C1C=CC(=O)C=C1C=CC(=O)C=C1C=CC(=O)C=C1
- QSAR4_nagen_Trichloro (or fluoro) ethylene and Tetrachloro (or fluoro) ethylene No O=C1C=CC(=O)C=C1C=CC(=O)C=C1C=CC(=O)C=C1
- QSAR5_nagen_methyle-3-carbonyl No O=C1C=CC(=O)C=C1C=CC(=O)C=C1C=CC(=O)C=C1
- QSAR6_nagen_penta-chlorophenol No O=C1C=CC(=O)C=C1C=CC(=O)C=C1C=CC(=O)C=C1
- QSAR7_nagen_o-phenylphenol No O=C1C=CC(=O)C=C1C=CC(=O)C=C1C=CC(=O)C=C1
- QSAR8_nagen_quartern-type flavonoids No O=C1C=CC(=O)C=C1C=CC(=O)C=C1C=CC(=O)C=C1
- QSAR9_nagen_misamide and benzimidazole No O=C1C=CC(=O)C=C1C=CC(=O)C=C1C=CC(=O)C=C1
- QSAR10_nagen_diacetamide No O=C1C=CC(=O)C=C1C=CC(=O)C=C1C=CC(=O)C=C1
- QSAR11_nagen_dimethylpyridine No O=C1C=CC(=O)C=C1C=CC(=O)C=C1C=CC(=O)C=C1
- QSAR12_nagen_Merits oxidative stress No O=C1C=CC(=O)C=C1C=CC(=O)C=C1C=CC(=O)C=C1
- QSAR13_nagen_Benzimidazole/urea others No O=C1C=CC(=O)C=C1C=CC(=O)C=C1C=CC(=O)C=C1
- QSAR14_nagen_1,3-Benzoxazolones No O=C1C=CC(=O)C=C1C=CC(=O)C=C1C=CC(=O)C=C1
- QSAR15_nagen_Phenoxy herbicides No O=C1C=CC(=O)C=C1C=CC(=O)C=C1C=CC(=O)C=C1
- QSAR16_nagen_allyl halides No O=C1C=CC(=O)C=C1C=CC(=O)C=C1C=CC(=O)C=C1
- Q[nongenotoxic alert]: At least one alert for nongenotoxic carcinogenicity fired? No Class **Negative for genotoxic carcinogenicity** O=C1C=CC(=O)C=C1C=CC(=O)C=C1C=CC(=O)C=C1

Go to Settings to activate Windows

Hasil Benigni Bossa Rulabase

UNIVERSITAS ISI AM NEGERI

Chemical identifier: O=C1C=CC(=O)C=C1C=CC(=O)C=C1C=CC(=O)C=C1

Available structure attributes

- Control rules: High (Class III)
- Error when applying the...: NO
- For a better assessment...: NO
- Worst TTC decision tree: Negligible risk (low proba...)
- Worst TTC decision tree: QJALeR[genotoxicity]...
- Negative for genotoxic...: NO
- Negative for nongenoto...: YES
- Potential S. typhimurium...: NO
- Potential carcinogen bas...: NO
- QSAR1 applicable?: NO
- QSAR5 applicable?: NO

Structure diagram

Toxic Hazard
by Cytochrome P450-Mediated Drug Metabolism

Estimate

SMARTCyp:alk1-steres

SMARTCyp:alk2-steres

SMARTCyp:alk3-steres

SMARTCyp:alk4-steres

verbose explanation

Cytochrome P450-Mediated Drug Metabolism

- Q1 SMARTCyp primary sites of metabolism Yes Class **SMARTCyp:alk1-steres** O=C1C=CC(=O)C=C1C=CC(=O)C=C1C=CC(=O)C=C1
- Q2 SMARTCyp secondary sites of metabolism Yes Class **SMARTCyp:alk2-steres**
- Q3 SMARTCyp tertiary sites of metabolism Yes Class **SMARTCyp:alk3-steres**
- Q4 SMARTCyp sites of metabolism with Rank=1 Yes Class **SMARTCyp:alk4-steres**

Activate Windows
Go to Settings to activate Windows

Hasil CYP450

h. Senyawa 8

Toxicity		
Rat Acute Toxicity	1.9187	LD50, mol/kg
Fish Toxicity	0.3469	pLC50, mg/L
Tetrahymena Pyriformis Toxicity	1.3221	pIGC50, ug/L

Hasil Rat Acute Toxicity

The screenshot shows the 'Chemical Identifier' application. On the left, the chemical structure of a long-chain alkylated cyclohexane derivative is displayed. The right panel, titled 'Toxic Hazard', shows a risk assessment based on Cramer rules. The assessment is categorized as 'High (Class III)' with a red background. A list of Cramer rules is provided, with rule Q23 'Aromatic' marked as 'No'.

Hasil prediksi Cramer Rules

The screenshot shows the 'Chemical Identifier' application with the same chemical structure. The right panel, titled 'Toxic Hazard', shows a Kroes TTC assessment. The substance is classified as 'Notifiable risk (low probability of a life-time cancer risk greater than 1 in 10^6)'. A list of Kroes TTC rules is provided, with rule Q23 'Aromatic' marked as 'No'.

Hasil Kroes TTC

Chemical identifier O=C([O-])CCCCCCC(=O)C(C)C=C(C)C=C(C)C

Available structure attributes

- Chemer rules: High (class III)
- Error when applying the...: NO
- For a better assessment...: NO
- Waste TTC decision tree: Negative: not (for proba...)
- Waste TTC decision tree...: [?]_Aeribacteroid?...
- Negative for genotoxic c...: NO
- Negative for genotoxic...: YES
- Potentia 5: typhimurium...: NO
- Potentia 5: typhimurium...: NO
- QSAR13 applicable?: NO
- QSAR6.8 applicable?: NO

Structure diagram

Task: Hazard by Carcinogenicity (genotoxic and non-genotoxic) and mutagenicity release by ISS

Estimate

Structural Alert for genotoxic carcinogenicity

Structural Alert for non-genotoxic carcinogenicity

Potentia 5: typhimurium TA1568 mutagen based on QSAR

Unlikely to be a 5: typhimurium TA1568 mutagen based on QSAR

[?] verbose explanation

- QSA11_nagen substituted alpha-alkylcarboxylic acids: No O=C([O-])CCCCCCC(=O)C(C)C=C(C)C=C(C)C=O
- QSA41_nagen phthalate diesters and monoesters: No O=C([O-])CCCCCCC(=O)C1=CC(C)C=C(C)C=C1
- QSA43_nagen Perfluorooctanoic acid (PFOA): No O=C([O-])CCCCCCC(=O)C1=CC(C)C=C(C)C=C1
- QSA44_nagen Trichloro (or fluoro) ethylene and Tetracloro (or fluoro) ethylene: No O=C([O-])CCCCCCC(=O)C1=CC(C)C=C(C)C=C1
- QSA45_nagen maleic-3-carbonyl: No O=C([O-])CCCCCCC(=O)C1=CC(C)C=C(C)C=C1
- QSA46_nagen penta-chlorophenol: No O=C([O-])CCCCCCC(=O)C1=CC(C)C=C(C)C=C1
- QSA47_nagen o-phenylphenol: No O=C([O-])CCCCCCC(=O)C1=CC(C)C=C(C)C=C1
- QSA48_nagen quercetin-type flavonoids: No O=C([O-])CCCCCCC(=O)C1=CC(C)C=C(C)C=C1
- QSA49_nagen maleic acid and benzimidazole: No O=C([O-])CCCCCCC(=O)C1=CC(C)C=C(C)C=C1
- QSA50_nagen dicarboximide: No O=C([O-])CCCCCCC(=O)C1=CC(C)C=C(C)C=C1
- QSA51_nagen dimethylpyridine: No O=C([O-])CCCCCCC(=O)C1=CC(C)C=C(C)C=C1
- QSA52_nagen Metals, oxidative stress: No O=C([O-])CCCCCCC(=O)C1=CC(C)C=C(C)C=C1
- QSA53_nagen Benzoxazolinone ethers: No O=C([O-])CCCCCCC(=O)C1=CC(C)C=C(C)C=C1
- QSA54_nagen 1,3-Benzodioxoles: No O=C([O-])CCCCCCC(=O)C1=CC(C)C=C(C)C=C1
- QSA55_nagen Phenacyl herbicides: No O=C([O-])CCCCCCC(=O)C1=CC(C)C=C(C)C=C1
- QSA56_nagen allyl halides: No O=C([O-])CCCCCCC(=O)C1=CC(C)C=C(C)C=C1
- QNongenotoxic alert! At least one alert for nongenotoxic carcinogenicity fired! No Class [Negative for nongenotoxic carcinogenicity](#): O=C([O-])CCCCCCC(=O)C(C)C=C(C)C=C(C)C=O

Chemical identifier O=C([O-])CCCCCCC(=O)C(C)C=C(C)C=C(C)C

Available structure attributes

- Chemer rules: High (class III)
- Error when applying the...: NO
- For a better assessment...: NO
- Waste TTC decision tree: Negative: not (for proba...)
- Waste TTC decision tree...: [?]_Aeribacteroid?...
- Negative for genotoxic c...: NO
- Negative for genotoxic...: YES
- Potentia 5: typhimurium...: NO
- Potentia 5: typhimurium...: NO
- QSAR13 applicable?: NO
- QSAR6.8 applicable?: NO

Structure diagram

Task: Hazard by Carcinogenicity (genotoxic and non-genotoxic) and mutagenicity release by ISS

Estimate

For a better assessment a QSAR calculation could be applied.

Negative for genotoxic carcinogenicity

Negative for nongenotoxic carcinogenicity

Error when applying the decision tree

[?] verbose explanation

- QSA11_nagen substituted alpha-alkylcarboxylic acids: No O=C([O-])CCCCCCC(=O)C(C)C=C(C)C=C(C)C=O
- QSA41_nagen phthalate diesters and monoesters: No O=C([O-])CCCCCCC(=O)C1=CC(C)C=C(C)C=C1
- QSA43_nagen Perfluorooctanoic acid (PFOA): No O=C([O-])CCCCCCC(=O)C1=CC(C)C=C(C)C=C1
- QSA44_nagen Trichloro (or fluoro) ethylene and Tetracloro (or fluoro) ethylene: No O=C([O-])CCCCCCC(=O)C1=CC(C)C=C(C)C=C1
- QSA45_nagen maleic-3-carbonyl: No O=C([O-])CCCCCCC(=O)C1=CC(C)C=C(C)C=C1
- QSA46_nagen penta-chlorophenol: No O=C([O-])CCCCCCC(=O)C1=CC(C)C=C(C)C=C1
- QSA47_nagen o-phenylphenol: No O=C([O-])CCCCCCC(=O)C1=CC(C)C=C(C)C=C1
- QSA48_nagen quercetin-type flavonoids: No O=C([O-])CCCCCCC(=O)C1=CC(C)C=C(C)C=C1
- QSA49_nagen maleic acid and benzimidazole: No O=C([O-])CCCCCCC(=O)C1=CC(C)C=C(C)C=C1
- QSA50_nagen dicarboximide: No O=C([O-])CCCCCCC(=O)C1=CC(C)C=C(C)C=C1
- QSA51_nagen dimethylpyridine: No O=C([O-])CCCCCCC(=O)C1=CC(C)C=C(C)C=C1
- QSA52_nagen Metals, oxidative stress: No O=C([O-])CCCCCCC(=O)C1=CC(C)C=C(C)C=C1
- QSA53_nagen Benzoxazolinone ethers: No O=C([O-])CCCCCCC(=O)C1=CC(C)C=C(C)C=C1
- QSA54_nagen 1,3-Benzodioxoles: No O=C([O-])CCCCCCC(=O)C1=CC(C)C=C(C)C=C1
- QSA55_nagen Phenacyl herbicides: No O=C([O-])CCCCCCC(=O)C1=CC(C)C=C(C)C=C1
- QSA56_nagen allyl halides: No O=C([O-])CCCCCCC(=O)C1=CC(C)C=C(C)C=C1
- QNongenotoxic alert! At least one alert for nongenotoxic carcinogenicity fired! No Class [Negative for nongenotoxic carcinogenicity](#): O=C([O-])CCCCCCC(=O)C(C)C=C(C)C=C(C)C=O

Hasil Benigni Bossa Rulabase

UNIVERSITAS ISLAM NEGERI

Chemical identifier O=C([O-])CCCCCCC(=O)C(C)C=C(C)C=C(C)C

Available structure attributes

- MARTCyp.Rank1.Aces: 0.870
- MARTCyp.Rank1.Energy: 51.400
- MARTCyp.Rank1.React.: Epoxidation
- MARTCyp.Rank1.SMRG: [C]1=C=C2=C(C)C=C1
- MARTCyp.Rank1.Score: +0.400
- MARTCyp.Rank1.Stos: C:R
- MARTCyp.Rank2.Aces: 0.8125
- MARTCyp.Rank2.Energy: 51.400
- MARTCyp.Rank2.React.: Epoxidation
- MARTCyp.Rank2.SMRG: [C]1=C=C2=C(C)C=C1
- MARTCyp.Rank2.Score: +0.400

Structure diagram

Task: Hazard by Cytochrome P450: Mediated Drug Metabolism

Estimate

SMARTCyp.Rank1.Lotes

SMARTCyp.Rank2.Lotes

SMARTCyp.Rank3.Lotes

SMARTCyp.Rank4.Lotes

[?] verbose explanation

Cytochrome P450 Mediated Drug Metabolism

- Q1 SMARTCyp primary sites of metabolism: Yes Class [SMARTCyp.Rank1.Lotes](#): O=C([O-])CCCCCCC(=O)C1=CC(C)C=C(C)C=C1
- Q2 SMARTCyp secondary sites of metabolism: Yes Class [SMARTCyp.Rank2.Lotes](#)
- Q3 SMARTCyp tertiary sites of metabolism: Yes Class [SMARTCyp.Rank3.Lotes](#)
- Q4 SMARTCyp sites of metabolism with Rank=4: Yes Class [SMARTCyp.Rank4.Lotes](#)

Hasil CYP450

i. Senyawa 10

Toxicity		
Rat Acute Toxicity	1.9187	LD50, mol/kg
Fish Toxicity	0.3469	pLC50, mg/L
Tetrahymena Pyriformis Toxicity	1.3221	pIGC50, ug/L

Hasil Rat Acute Toxicity

The screenshot shows the ChemSpider interface with a chemical structure on the left. The 'Toxic Hazard' section is highlighted in yellow, indicating a high risk. The 'Verbose explanation' lists various Cramer rules (Q1-Q16) that are violated by the compound.

Hasil prediksi Cramer Rules

The screenshot shows the ChemSpider interface with a chemical structure on the left. The 'Toxic Hazard' section is highlighted in yellow, indicating a high risk. The 'Verbose explanation' lists various Kroes TTC rules (QSA1-QSA27) that are violated by the compound.

Hasil Kroes TTC

j. Senyawa 11

Toxicity		
Rat Acute Toxicity	1.7942	LD50, mol/kg
Fish Toxicity	0.5326	pLC50, mg/L
Tetrahymena Pyriformis Toxicity	1.3752	pIGC50, ug/L

Hasil Rat Acute Toxicity

The screenshot shows the 'Toxic Hazard' section with a 'High (Class III)' classification. Below it, the 'Cramer rules' section lists 22 rules (Q1-Q22) that have all been evaluated as 'No' for this compound.

Hasil prediksi Cramer Rules

The screenshot displays the 'Kroes TTC decision tree' section. It indicates that the substance is not expected to be a safety concern and is classified as 'Inapplicable risk (low probability of a life-time cancer risk greater than 1 in 10⁶)'. The decision tree rules (Q5A13-Q5A19) are all marked as 'No'.

Hasil Kroes TTC

Chemical Identifier

Available structure attributes

- Crater rules: High (Case II)
- Error when applying the...: NO
- For a better assessment...: NO
- Woes TTC decision tree: Heigible risk (low proba...)
- Woes TTC decision tree: QSR Able to generate...
- Negative for genotoxic c...: NO
- Negative for reprotox...: YES
- Potential 5... typhenium...: NO
- Potential carcinogen bas...: NO
- QSAR13 applicable? NO
- QSAR8 applicable? NO

Structure diagram

Toxic Hazard

by Carcinogenicity (genotoxic and non-genotoxic) and mutagenicity release by ISS

Structural Alert for genotoxic carcinogenicity

Structural Alert for non-genotoxic carcinogenicity

Potential 5... typhenium TAMM mutagen based on QSAR

Unlikely to be a 5... typhenium TAMM mutagen based on QSAR

Verbose explanation

- QSAR15_gen.Aromatic nitroso group No
- QSAR16_gen.Aromatic ring N-oxide No
- QSAR17_gen.Nitro aromatic No
- QSAR18_gen.Primary aromatic amine, hydroxyl amine and its derived esters (with restrictions) No
- QSAR19a_gen.Aromatic mono- and dialkylenes No
- QSAR19b_gen.Aromatic N-acyl amine No
- QSAR19c_gen.Aromatic diazo No
- QSAR19d_gen.Oxamines and Furaxoxams No
- QSAR19e_gen.Pyrimidines Alkylates No
- QSAR19f_gen.Alderybenzenes No
- QSAR19g_gen_and_sugen.Steroid estrogens No
- Qcarcinogen alert? At least one alert for genotoxic carcinogenicity fired? No Class Negative for genotoxic carcinogenicity
- Qcarcinogen alert? At least one alert for genotoxic carcinogenicity fired? No Class Negative for genotoxic carcinogenicity
- QSAR11 applicable? Unassessable aldehyde No
- QSAR10_gen.alpha,betaunsaturated carbonyl Yes Class Structural alert for mutagenic carcinogenicity
- Qcarcinogen alert? At least one alert for non-genotoxic carcinogenicity fired? No Class Negative for non-genotoxic carcinogenicity
- Qcarcinogen alert? At least one alert for non-genotoxic carcinogenicity fired? No Class Negative for non-genotoxic carcinogenicity

Chemical Identifier

Available structure attributes

- Crater rules: High (Case II)
- Error when applying the...: NO
- For a better assessment...: NO
- Woes TTC decision tree: Heigible risk (low proba...)
- Woes TTC decision tree: QSR Able to generate...
- Negative for genotoxic c...: NO
- Negative for reprotox...: YES
- Potential 5... typhenium...: NO
- Potential carcinogen bas...: NO
- QSAR13 applicable? NO
- QSAR8 applicable? NO

Structure diagram

Toxic Hazard

by Carcinogenicity (genotoxic and non-genotoxic) and mutagenicity release by ISS

For a better assessment a QSAR calculation could be applied.

Negative for genotoxic carcinogenicity

Negative for non-genotoxic carcinogenicity

Error when applying the decision tree

Verbose explanation

- QSAR11_sugen.substituted 4-alkylbenzoic acids No
- QSAR12_sugen.alpha,betaunsaturated dicarboxylic acids No
- QSAR13_sugen.Pentafluorobenzoic acid (PF5BA) No
- QSAR14_sugen.Trichloro (or Fluoro) ethylene and Tetrafluoro (or Difluoro) ethylene No
- QSAR15_sugen.maleic-3-carboxyl No
- QSAR16_sugen.penta-chlorophenyl No
- QSAR17_sugen.alpha-phenylphenyl No
- QSAR18_sugen.glycerol-type flavonoids No
- QSAR19_sugen.medicable acid benzenesulfate No
- QSAR20_sugen.dicarboxamide No
- QSAR21_sugen.dinitrophenyl No
- QSAR22_sugen.Mutagenic oxidative stress No
- QSAR23_sugen.Benzene/methine ethers No
- QSAR24_sugen.1,3-Benzoxazoles No
- QSAR25_sugen.Heterocyclic herbicides No
- QSAR26_sugen.aryl halides No
- Qcarcinogen alert? At least one alert for non-genotoxic carcinogenicity fired? No Class Negative for non-genotoxic carcinogenicity

Hasil Benigni Bossa Rulabase

UNIVERSITAS ISLAM NEGERI

Chemical Identifier

Available structure attributes

- SMARTCyp_Rank1_Acces: 3.526
- SMARTCyp_Rank1_Energy: 32.400
- SMARTCyp_Rank1_React.: 2-phenol
- SMARTCyp_Rank1_SPMK5: [C-1]-[C-2]>[C-1]O[C-1]
- SMARTCyp_Rank1_Score: 44.874
- SMARTCyp_Rank1_Sites: C3O
- SMARTCyp_Rank2_Acces: 0.4979
- SMARTCyp_Rank2_Energy: 51.400
- SMARTCyp_Rank2_React.: Reaction
- SMARTCyp_Rank2_SPMK5: [C-1]-[C-2]>[C-1]O[C-1]
- SMARTCyp_Rank2_Score: 45.217

Structure diagram

Toxic Hazard

by Cytochrome P450 Mediated Drug Metabolism

SMARTCyp_Rank1 sites

SMARTCyp_Rank2 sites

SMARTCyp_Rank3 sites

SMARTCyp_Rank4 sites

Verbose explanation

Cytochrome P450 Mediated Drug Metabolism

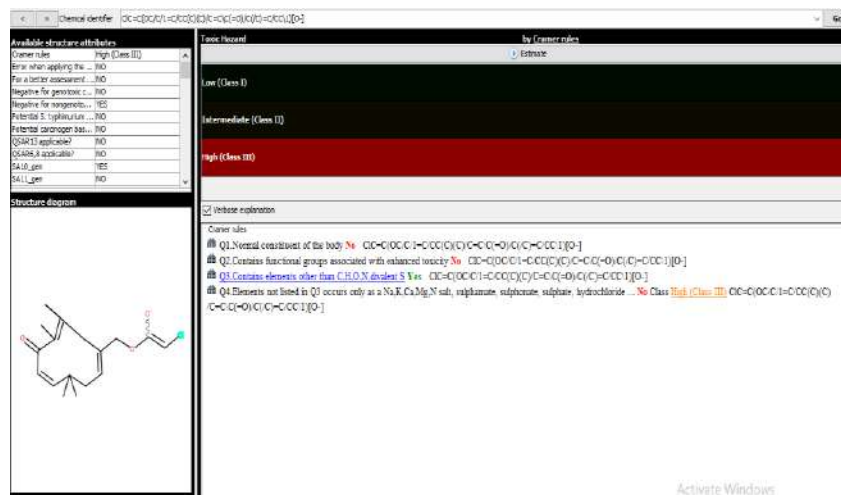
- Q1.SMARTCyp.primary sites of metabolism Yes Class SMARTCyp_Rank1 sites
- Q2.SMARTCyp.secondary sites of metabolism Yes Class SMARTCyp_Rank2 sites
- Q3.SMARTCyp.tertiary sites of metabolism Yes Class SMARTCyp_Rank3 sites
- Q4.SMARTCyp.sites of metabolism with Rank=4 Yes Class SMARTCyp_Rank4 sites

Hasil CYP450

k. Senyawa 12

Toxicity		
Rat Acute Toxicity	2.1731	LD50, mol/kg
Fish Toxicity	0.0350	pLC50, mg/L
Tetrahymena Pyriformis Toxicity	1.3295	pIGC50, ug/L

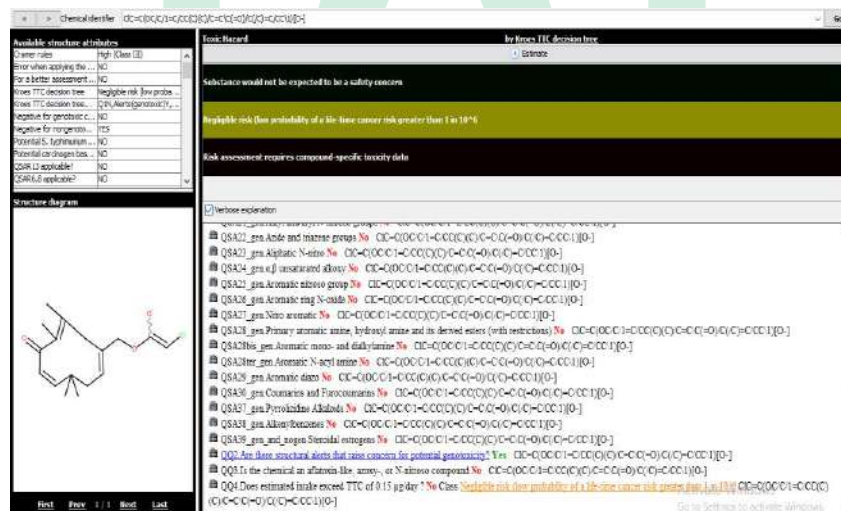
Hasil Rat Acute Toxicity



The screenshot shows the 'Toxic Hazard' section of the ChemScribe interface. The chemical structure is classified as **High (Class III)**. The available structure attributes are listed on the left, and the Cramer rules explanation is shown on the right. The rules are:

- Q1: Not a constituent of the body. **No**
- Q2: Contains functional groups associated with enhanced toxicity. **No**
- Q3: Contains elements other than C, H, O, N, divalent S. **Yes**
- Q4: Elements not listed in Q3 occurs only as a Na, K, Ca, Mg, N salt, sulphamate, sulphinate, sulphate, sulphide, hydrochloride. **No**

Hasil prediksi Cramer Rules



The screenshot shows the 'Kroes TTC decision tree' section of the ChemScribe interface. The chemical structure is classified as **Highly toxic (low probability of a life-time cancer risk greater than 1 in 10⁶)**. The available structure attributes are listed on the left, and the Kroes TTC decision tree explanation is shown on the right. The decision tree rules are:

- QS421: gen. Acids and nitrate groups. **No**
- QS422: gen. Aliphatic N-nitro. **No**
- QS424: gen. α,β unsaturated aldehydes. **No**
- QS421: gen. Aromatic nitro group. **No**
- QS423: gen. Aromatic ring N-oxide. **No**
- QS427: gen. Nitro aromatic. **No**
- QS428: gen. Primary aromatic amine, hydroxyl amine and its derived esters (with restrictions). **No**
- QS429: gen. Aromatic mono- and dialkylamine. **No**
- QS430: gen. Aromatic N-acetyl amine. **No**
- QS431: gen. Aromatic diamine. **No**
- QS432: gen. Coumarins and Flavonoids. **No**
- QS437: gen. Pyrazolines Alkaloids. **No**
- QS438: gen. Alkylbenzenes. **No**
- QS439: gen. androgen Steroidal estrogens. **No**
- QS440: Are there structural alerts that raise concern for potential genotoxicity? **Yes**
- QS441: Is the chemical an aromatic like amine-, or N-nitroso compound? **No**
- QS442: Does estimated intake exceed TTC of 0.15 µg/day? **No**

Hasil Kroes TTC

1. Senyawa 13

Toxicity		
Rat Acute Toxicity	2.1658	LD50, mol/kg
Fish Toxicity	0.1712	pLC50, mg/L
Tetrahymena Pyriformis Toxicity	1.5261	pIGC50, ug/L

Hasil Rat Acute Toxicity

The screenshot displays the 'Toxic Hazard' section of the Chemical Identifier software. The 'Cramer rules' section is highlighted in yellow, indicating a 'Low (Class I)' hazard. The 'Infernal rules' section is also highlighted in yellow, indicating a 'High (Class III)' hazard. The 'Verbose explanation' section lists various structural alerts and their corresponding rules, such as 'Q1 Normal constituent of the body', 'Q2 Contains functional groups associated with enhanced toxicity', and 'Q3 Contains elements other than C,H,O,N,Al,S'. The chemical structure of the compound is shown in the 'Structure diagram' section.

Hasil prediksi Cramer Rules

The screenshot displays the 'Toxic Hazard' section of the Chemical Identifier software, specifically the 'Kroes TTC decision tree' section. The 'Substance would not be expected to be a safety concern' section is highlighted in yellow, indicating a 'No' result. The 'Verbose explanation' section lists various structural alerts and their corresponding rules, such as 'QSA12_gen Acids and thioacids', 'QSA13_gen Aliphatic Nitro', and 'QSA14_gen alpha unsaturated aldehydes'. The chemical structure of the compound is shown in the 'Structure diagram' section.

Hasil Kroes TTC

The image shows two screenshots of the ChemSpider interface. The top screenshot displays a chemical structure with a red bar indicating a 'Structural Alert for genotoxic carcinogenicity'. The bottom screenshot shows the same structure with a purple bar indicating it is 'Negative for genotoxic carcinogenicity'. Both screenshots include a list of QSAR alerts such as 'QSAR1_nagen substituted n-alkylcarboxylic acids' and 'QSAR4_nagen Trichloro (or fluoro) ethylene and Tetrachloro (or fluoro) ethylene'.

Hasil Benigni Bossa Rulabase

UNIVERSITAS ISI AM NEGERI

The image shows a screenshot of the ChemSpider interface for the same chemical structure. It displays several SMARTCyp metabolic alerts in colored bars: 'SMARTCyp Rank 1 alert' (red), 'SMARTCyp Rank 2 alert' (green), 'SMARTCyp Rank 3 alert' (blue), and 'SMARTCyp Rank 4 alert' (purple). The 'Verbose explanation' section lists specific metabolic sites such as 'SMARTCyp primary sites of metabolism' and 'SMARTCyp secondary sites of metabolism'.

Hasil CYP450

5. Prediksi Farmakokinetik

a. Senyawa 1

ID	Value
BBB	5.00775
Buffer_solubility_mg_L	149.703
Caco2	55.3568
CYP_2C19_inhibition	Inhibitor
CYP_2C9_inhibition	Inhibitor
CYP_2D6_inhibition	Non
CYP_2D6_substrate	Non
CYP_3A4_inhibition	Non
CYP_3A4_substrate	Substrate
HIA	100.000000
MDCK	115.218
Pgp_inhibition	Inhibitor
Plasma_Protein_Binding	100.000000
Pure_water_solubility_mg_L	21.8419
Skin_Permeability	-0.641176
SKlogD_value	4.781430
SKlogP_value	4.781430
SKlogS_buffer	-3.163900
SKlogS_pure	-3.999840

b. Senyawa 2

ID	Value
BBB	6.30404
Buffer_solubility_mg_L	76.4731
Caco2	58.1139
CYP_2C19_inhibition	Non
CYP_2C9_inhibition	Non
CYP_2D6_inhibition	Inhibitor
CYP_2D6_substrate	Substrate
CYP_3A4_inhibition	Non
CYP_3A4_substrate	Substrate
HIA	100.00000
MDCK	99.8617
Pgp_inhibition	Inhibitor
Plasma_Protein_Binding	94.920465
Pure_water_solubility_mg_L	138.21
Skin_Permeability	-0.689226
SKlogD_value	3.482400
SKlogP_value	5.046860
SKlogS_buffer	-3.578080
SKlogS_pure	-3.321050

c. Senyawa 3

ID	Value
BBB	10.9767
Buffer_solubility_mg_L	0.739365
Caco2	55.8674
CYP_2C19_inhibition	Non
CYP_2C9_inhibition	Non
CYP_2D6_inhibition	Inhibitor
CYP_2D6_substrate	Substrate
CYP_3A4_inhibition	Inhibitor
CYP_3A4_substrate	Substrate
HIA	98.428916
MDCK	0.070263*
Pgp_inhibition	Inhibitor
Plasma_Protein_Binding	92.468248
Pure_water_solubility_mg_L	0.142295
Skin_Permeability	-0.669922
SKlogD_value	6.738890
SKlogP_value	8.303350
SKlogS_buffer	-5.797380
SKlogS_pure	-6.513050

d. Senyawa 4

ID	Value
BBB	3.88783
Buffer_solubility_mg_L	294.973
Caco2	22.8755*
CYP_2C19_inhibition	Inhibitor
CYP_2C9_inhibition	Inhibitor
CYP_2D6_inhibition	Non
CYP_2D6_substrate	Non
CYP_3A4_inhibition	Non
CYP_3A4_substrate	Substrate
HIA	95.418151
MDCK	124.759
Pgp_inhibition	Inhibitor
Plasma_Protein_Binding	100.000000
Pure_water_solubility_mg_L	225.794
Skin_Permeability	-0.826181
SKlogD_value	3.668690
SKlogP_value	3.668690
SKlogS_buffer	-2.900060
SKlogS_pure	-3.016130

e. Senyawa 5

ID	Value
BBB	0.24482
Buffer_solubility_mg_L	413.293
Caco2	37.2935
CYP_2C19_inhibition	Inhibitor
CYP_2C9_inhibition	Inhibitor
CYP_2D6_inhibition	Non
CYP_2D6_substrate	Non
CYP_3A4_inhibition	Non
CYP_3A4_substrate	Substrate
HIA	98.153802
MDCK	134.3
Pgp_inhibition	Inhibitor
Plasma_Protein_Binding	100.00000
Pure_water_solubility_mg_L	78.3878
Skin_Permeability	-0.813249
SKlogD_value	4.016300
SKlogP_value	4.016300
SKlogS_buffer	-2.825240
SKlogS_pure	-3.547250

f. Senyawa 6

ID	Value
BBB	0.214838
Buffer_solubility_mg_L	17.2163
Caco2	45.5942
CYP_2C19_inhibition	Inhibitor
CYP_2C9_inhibition	Inhibitor
CYP_2D6_inhibition	Non
CYP_2D6_substrate	Non
CYP_3A4_inhibition	Non
CYP_3A4_substrate	Substrate
HIA	98.118043
MDCK	17.1442
Pgp_inhibition	Inhibitor
Plasma_Protein_Binding	100.00000
Pure_water_solubility_mg_L	3.47247
Skin_Permeability	-0.788358
SKlogD_value	4.082760
SKlogP_value	4.082760
SKlogS_buffer	-4.225550
SKlogS_pure	-4.920850

g. Senyawa 7

ID	Value
BBB	0.350527
Buffer_solubility_mg_L	8.88372
Caco2	47.9353
CYP_2C19_inhibition	Inhibitor
CYP_2C9_inhibition	Inhibitor
CYP_2D6_inhibition	Non
CYP_2D6_substrate	Non
CYP_3A4_inhibition	Non
CYP_3A4_substrate	Substrate
HIA	98.037632
MDCK	6.27252
Pgp_inhibition	Inhibitor
Plasma_Protein_Binding	100.000000
Pure_water_solubility_mg_L	1.49137
Skin_Permeability	-0.838501
SKlogD_value	4.536730
SKlogP_value	4.536730
SKlogS_buffer	-4.533450
SKlogS_pure	-5.308460

h. Senyawa 8

ID	Value
BBB	3.11675
Buffer_solubility_mg_L	0.617565
Caco2	53.3268
CYP_2C19_inhibition	Inhibitor
CYP_2C9_inhibition	Inhibitor
CYP_2D6_inhibition	Non
CYP_2D6_substrate	Non
CYP_3A4_inhibition	Inhibitor
CYP_3A4_substrate	Substrate
HIA	97.626368
MDCK	12.5662
Pgp_inhibition	Inhibitor
Plasma_Protein_Binding	100.000000
Pure_water_solubility_mg_L	0.0497545
Skin_Permeability	-0.681473
SKlogD_value	6.352610
SKlogP_value	6.352610
SKlogS_buffer	-5.765050
SKlogS_pure	-6.858900

i. Senyawa 10

ID	Value
BBB	12.1039
Buffer_solubility_mg_L	0.0054985
Caco2	56.4423
CYP_2C19_inhibition	Inhibitor
CYP_2C9_inhibition	Inhibitor
CYP_2D6_inhibition	Non
CYP_2D6_substrate	Non
CYP_3A4_inhibition	Inhibitor
CYP_3A4_substrate	Substrate
HIA	97.410835
MDCK	63.7796*
Pgp_inhibition	Inhibitor
Plasma_Protein_Binding	100.00000
Pure_water_solubility_mg_L	0.0001225
Skin_Permeability	-0.618424*
SKlogD_value	9.530400
SKlogP_value	9.530400
SKlogS_buffer	-7.920350
SKlogS_pure	-9.572170

k. Senyawa 12

ID	Value
BBB	0.112339
Buffer_solubility_mg_L	20.5977
Caco2	25.1265
CYP_2C19_inhibition	Inhibitor
CYP_2C9_inhibition	Inhibitor
CYP_2D6_inhibition	Non
CYP_2D6_substrate	Non
CYP_3A4_inhibition	Non
CYP_3A4_substrate	Weakly
HIA	97.749033
MDCK	33.3854
Pgp_inhibition	Inhibitor
Plasma_Protein_Binding	100.000000
Pure_water_solubility_mg_L	3.12031
Skin_Permeability	-1.14009
SKlogD_value	4.203480
SKlogP_value	4.203480
SKlogS_buffer	-4.177280
SKlogS_pure	-4.996900

j. Senyawa 11

ID	Value
BBB	12.1039
Buffer_solubility_mg_L	0.0054985
Caco2	56.4423
CYP_2C19_inhibition	Inhibitor
CYP_2C9_inhibition	Inhibitor
CYP_2D6_inhibition	Non
CYP_2D6_substrate	Non
CYP_3A4_inhibition	Inhibitor
CYP_3A4_substrate	Substrate
HIA	97.410835
MDCK	63.7796*
Pgp_inhibition	Inhibitor
Plasma_Protein_Binding	100.00000
Pure_water_solubility_mg_L	0.0001225
Skin_Permeability	-0.618424*
SKlogD_value	9.530400
SKlogP_value	9.530400
SKlogS_buffer	-7.920350
SKlogS_pure	-9.572170

l. Senyawa 13

ID	Value
BBB	0.905587
Buffer_solubility_mg_L	48193.7
Caco2	21.4433
CYP_2C19_inhibition	Inhibitor
CYP_2C9_inhibition	Inhibitor
CYP_2D6_inhibition	Non
CYP_2D6_substrate	Non
CYP_3A4_inhibition	Non
CYP_3A4_substrate	Substrate
HIA	96.346375
MDCK	0.380254
Pgp_inhibition	Non
Plasma_Protein_Binding	98.291472
Pure_water_solubility_mg_L	63.6166
Skin_Permeability	-1.56558
SKlogD_value	3.042680
SKlogP_value	3.042680
SKlogS_buffer	-0.839980
SKlogS_pure	-3.719400

BIOGRAFI PENULIS



Nama Lengkap : Andi Hardiyanti Tahir
Tempat Tanggal Lahir : Bone, 19 Maret 1998
Alamat : Jl. Bitowa Baru
Nomor HP : 082347730411
Email : hardhyanti@gmail.com

Penulis adalah anak pertama dari dua bersaudara pasangan Muh. Tahir dan Hasnawati. Pernah menempuh jenjang pendidikan di SD Inpres 10/73 Patangkai, SMP Negeri 1 Lappariaja, dan SMA Islam Athirah Boarding School Bone. Penulis kini tengah menempuh jenjang pendidikan di UIN Alauddin Makassar Jurusan Farmasi dan menyusun tugas akhir. Penulis berharap serangkaian tugas akhir ini dapat bermanfaat dalam bidang farmasi dan bagi masyarakat umum.

